

## فصل ۹۱

## کشش و فشار

## ۱-۱ مقدمه

مقاومت مصالح شاخه‌ای از مکانیک کاربردی است که رفتار اجسام جامد را تحت بارگذاری‌های مختلف بررسی می‌کند. اجسام جامدی که در این درس مطالعه می‌شود عبارتند از میله‌های با بارگذاری محوری، محورهای مکانیکی، تیرها، ستون‌ها و همچنین سازه‌هایی که از مجموعه‌ای از این اجزاء ساده تشکیل می‌شوند. معمولاً هدف از تحلیل تعیین تنش، کرنش و تغییر شکل ایجاد شده بوسیله بارها در قطعات ساختمان و به طور کلی اجزاء یک سازه می‌باشد. اگر بتوانیم این کمیت‌ها را برای تمام مقادیر بار تا بار شکست حساب کنیم در این صورت تصویر کاملی از رفتار مکانیکی جسم یا سازه مورد نظر خواهیم داشت.

تحلیل‌های نظری و نتایج تجربی در مطالعه مقاومت مصالح اهمیت مساوی دارند. در بسیاری از مواقع ما با استدلال منطقی فرمول‌ها و معادلاتی برای تخمین رفتار مکانیکی سازه‌ها بدست می‌آوریم ولی در عین حال باید آگاه باشیم بدون در نظر گرفتن خواص ماده یا مصالح مصرفی نمی‌توان این فرمول‌ها را به طور واقع بینانه‌ای بکار برد. خواص مکانیکی مصالح فقط بعد از انجام آزمایش‌های مناسب در آزمایشگاه بدست خواهند آمد. همچنین بسیاری از مسائل مهم مهندسی را نمی‌توان با استفاده از روش‌های تئوری به‌طور مؤثری حل نمود و اندازه‌گیری‌های تجربی عملاً مورد نیاز می‌گردد. پیشرفت مقاومت مصالح در طول تاریخ مخلوط جالبی از تئوری و تجربه می‌باشد به طوری که در بعضی از مواقع

نام کتاب :	مقاومت مصالح
نام مؤلف :	دکتر حجت‌الله عادلی
نام ناشر :	انتشارات دهخدا تلفن : ۶۴۶۰۱۸۵
نوبت چاپ :	هفتم و بهار ۱۳۷۵
تیراژ :	چهارهزارنسخه
قطع و صفحه :	وزیری ۱۰+۷۶۰ صفحه
چاپ :	مروری
صحافی :	ایران هنر

غوطه‌ور، روی سطح مقطع به طور پیوسته توزیع شده‌اند. شدت نیرو، یعنی نیرو در واحد سطح، به نام تنش نامیده می‌شود و معمولاً با حرف یونانی  $\sigma$  نشان داده می‌شود. با فرض اینکه تنش توزیع یکنواختی روی مقطع داشته باشد (شکل ۱-۱ b) برای نیروهای فوق برابر است با حاصل ضرب شدت  $\sigma$  و مساحت سطح مقطع میله  $A$ . بعلاوه از شرایط تعادل جسم نشان داده شده در شکل ۱-۱ b نتیجه می‌شود که برآیند مزبور باید برابر با  $P$  باشد. در نتیجه داریم

$$\sigma = \frac{P}{A} \quad (1-1)$$

بدین ترتیب معادله تنش یکنواخت در یک میله منشوری بدست می‌آید. این معادله نشان می‌دهد که تنش واحد نیرو بر سطح دارد. در مقاومت مصالح سه سیستم آحاد مورد استفاده می‌باشد. در سیستم انگلیسی نیرو بر حسب پاوند (lb) و سطح بر حسب اینچ مربع ( $\text{in}^2$ ) اندازه گیری می‌شود، از این رو واحد تنش پاوند در اینچ مربع می‌باشد که با  $\text{psi}$  نشان داده می‌شود. در سیستم آحاد بین المللی یا  $\text{SI}^1$  واحد نیرو نیوتن (N) و واحد سطح متر مربع می‌باشد. واحد تنش در این سیستم نیوتن در متر مربع موسوم به پاسکال (Pa) می‌باشد. چون از لحاظ مقاومت مصالح پاسکال واحد کوچکی است غالباً "مگا پاسکال (MPa)" بکار برده می‌شود که معادل نیوتن در میلی متر مربع ( $\text{N/mm}^2$ ) می‌باشد. بالاخره سیستم MKS که در آن واحدهای اصلی متر و کیلو گرم نیرو و ثانیه می‌باشند. در این سیستم واحد متداول تنش کیلو گرم بر سانتیمتر مربع ( $\text{Kg/cm}^2$ ) است.

موقعی که میله فوق کشیده می‌شود تنش ایجاد شده به نام تنش کششی نامیده می‌شود. اگر جهت نیروها را عوض کنیم میله تحت فشار قرار می‌گیرد و تنش ایجاد شده تنش فشاری خوانده می‌شود. در مقاومت مصالح معمولاً "تنش کششی را مثبت و تنش فشاری را منفی فرض می‌کنند. اشکال ۱-۳ و ۱-۲ به خواننده کمک می‌کنند تا برای تنش‌های کششی و فشاری احساس پیدا کند.

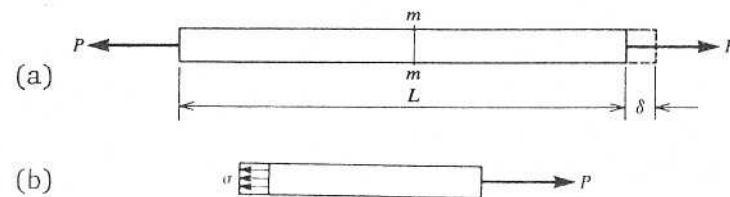
1- Système International.

آزمایش منجر به نتایج جالبی گردیده و در مواقع دیگر تئوری نتایج جدیدی ارائه داده است. اشخاص مشهوری همچون لئوناردو داوینچی (۱۵۱۹ - ۱۴۵۲) و گالیله (۱۶۴۲ - ۱۵۶۴) آزمایش‌هایی برای تعیین مقاومت سیم‌ها، میله‌ها و تیرها انجام دادند هر چند که آنها با استاندارد امروزه هیچ گونه تئوری برای توجیه نتایج آزمایش‌های خود ارائه ندادند.

در مقابل، ریاضی دان معروف لئونارد اولر (۱۷۸۳ - ۱۷۰۷) تئوری ریاضی ستون‌ها را توسعه داد و در سال ۱۷۴۴ بار بحرانی یک ستون را مدت‌ها قبل از اینکه هیچ گونه نتایج تجربی وجود داشته باشد حساب کرد. بدین ترتیب نتایج تئوری اولر سالها بدون استفاده باقی ماند هر چند که این نتایج امروزه اساس تئوری ستون‌ها را تشکیل می‌دهد.

### ۲-۱ تنش و کرنش

مفاهیم تنش و کرنش را می‌توان به طور ساده با مطالعه یک میله منشوری تحت کشش بیان نمود. میله منشوری میله‌ایست که در سراسر طولش و یک محور مستقیم دارای سطح مقطع ثابت باشد. در شکل ۱-۱ فرض می‌شود که میله در دو انتهایش بانبروهای محوری  $P$  بار گذاری شده باشد که در آن ایجاد یک کشش یکنواخت می‌کند. بوسیله یک برش مصنوعی در مقطعی عمود بر محور میله، مثل مقطع  $\text{mm}$ ، می‌توانیم قسمتی از میله را به صورت جسم آزاد جدا کنیم (شکل ۱-۱ b). در انتهای راست نیروی کششی  $P$  وارد شده و در انتهای دیگر نیروهایی وجود دارد که معرف عمل قسمت جدا شده روی قسمت مورد نظر می‌باشد. این نیروها، مشابه توزیع پیوسته فشار هیدروستاتیکی روی یک جسم



شکل ۱-۱ میله منشوری تحت کشش

۵

اگر مختصات نقطه اثر نیروی  $P$  را که در امتداد برآیند نیروهای  $\sigma$  می باشد با  $x_p$  و  $y_p$  نشان دهیم از معادلات تعادل روابط زیر نتیجه می شود :

$$Px_p = \int_A (\sigma dA) x \quad (1-4)$$

$$Py_p = \int_A (\sigma dA) y \quad (1-5)$$

از این روابط مختصات نقطه اثر نیروی  $P$  بدست می آید .

$$x_p = \frac{\int_A \sigma x dA}{P} \quad (1-6)$$

$$y_p = \frac{\int_A \sigma y dA}{P} \quad (1-7)$$

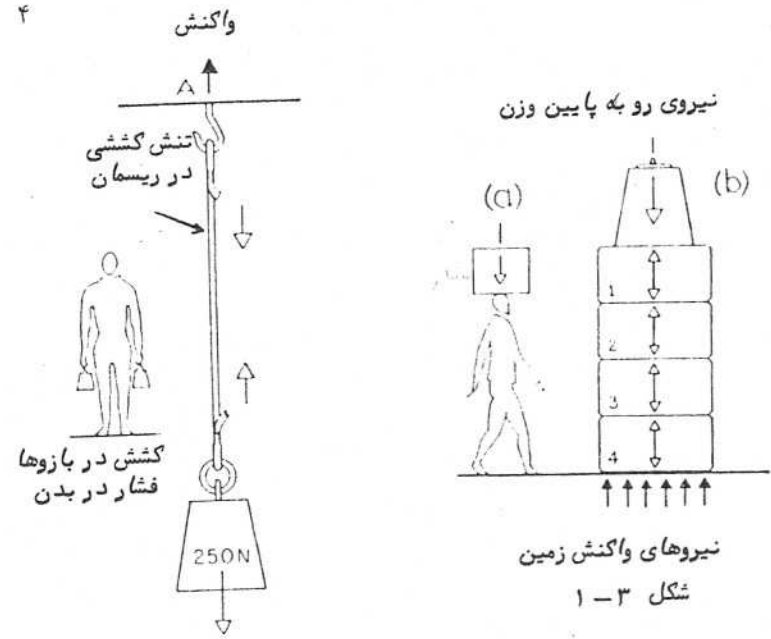
اگر  $\sigma$  در مقطع ثابت باشد رابط 1-1 صادق است و با استفاده از این رابطه معادلات 1-6 و 1-7 به معادلات 1-2 و 1-3 منجر می شوند، به عبارت دیگر  $x_c = x_p$  و  $y_c = y_p$  و نیروی  $P$  از مرکز سطح مقطع عبور می کند .

موقعی که بار  $P$  در مرکز سطح مقطع اثر نکند میله تحت خمش خواهد بود و تحلیل مفصل تری لازم می گردد که بعداً در این کتاب مورد بحث قرار خواهد گرفت . در سراسر این کتاب فرض می شود که نیروهای محوری در مرکز سطح مقطع اثر کنند مگر در مواردی که عکس این مطلب ذکر شده باشد . همچنین بجز در مواردی که صریحاً ذکر خواهد شد به طور کلی از وزن اجسام ( مانند مثال شکل ۱-۱ ) صرف نظر می شود .

اضافه طول ( یا کاهش طول ) یک میله تحت نیروهای محوری را با حرف یونانی  $\delta$  نشان می دهیم ( شکل ۱-۱ ) . اضافه طول ( یا کاهش طول ) در واحد طول به نام کرنش خوانده می شود که از رابطه زیر بدست می آید :

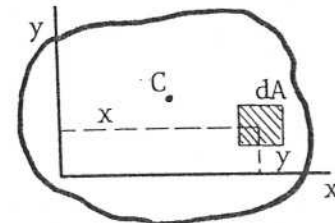
$$\epsilon = \frac{\delta}{L} \quad (1-8)$$

۴



شکل ۱-۲

شرط لازم برای درستی معادله 1-1 این است که تنش روی سطح مقطع به طور یکنواخت توزیع شده باشد . این شرط موقعی برقرار خواهد شد که نیروی محوری  $P$  در مرکز سطح مقطع میله وارد شود . این نکته را می توان با استفاده از معادلات تعادل تحقیق نمود . در شکل ۱-۴ یک شکل اختیاری برای مقطع میله منشوری فرض شده است . مختصات مرکز سطح  $C$  از روابط زیر بدست می آید :



شکل ۱-۴

$$x_c = \frac{\int_A x dA}{A} \quad (1-2)$$

$$y_c = \frac{\int_A y dA}{A} \quad (1-3)$$

خطی است. بعد از A بین تنش و کرنش دیگر رابطه خطی وجود ندارد، از این جهت نقطه A حد تناسب نامیده می شود. تنش حد تناسب برای فولادهای سازوای با کرنش کم معمولاً بین  $2100 \text{ Kg/cm}^2$  تا  $2500 \text{ Kg/cm}^2$  می باشد ولی برای فولاد های با مقاومت زیاد می تواند خیلی بیشتر باشد. با اضافه نمودن بار، کرنش نسبت به تنش سریع تر اضافه می شود تا اینکه در نقطه B بدون افزایش قابل ملاحظه نیروی کششی ازدیاد طول قابل ملاحظه شروع می شود. این پدیده به " تسلیم شدن ماده " معروف است و تنش نقطه B به نام تنش تسلیم خوانده می شود. در ناحیه BC ماده حد تناسب خمیری در می آید و میله ممکن است به حالت خمیری به مقدار ۱۰ تا ۱۵ برابر حد تناسب افزایش طول پیدا کند. در نقطه C ماده شروع به سخت شدن و در مقابل ازدیاد بار مقاومت می کند. این پدیده موسوم به " سخت سوبندگی کرنش " می باشد. بدین ترتیب همراه با افزایش طول بیشتر، تنش نیز افزایش می یابد تا اینکه در نقطه D به یک حد نهایی می رسد. تنش نقطه D به نام تنش نهایی نامیده می شود. بعد از این نقطه افزایش طول میله با کاهش بار همراه می باشد که بالاخره در نقطه E به گسیختن میله منجر می شود. ازدیاد طول میله با انقباض جانی آن همراه است که منجر به کم شدن مساحت سطح مقطع میله می گردد. این پدیده تا نقطه C اثر محسوس در روی منحنی تنش - کرنش ندارد ولی بعد از نقطه C کاهش مساحت سطح مقطع اثر قابل توجهی در مقدار تنش محاسبه شده خواهد داشت. میله در وسط طولش باریک شده در محاسبه تنش - مساحت سطح مقطع واقعی در قسمت باریک شده در محاسبه  $\sigma$  بکار رود منحنی تنش - کرنش واقعی بدست می آید ( منحنی OABCE' ) با وجود اینکه بار کلی که میله تحمل می کند پس از تنش نهایی کاهش می یابد ( منحنی DE )، کاهش مزبور در اثر کم شدن سطح مقطع می باشد نه به علت از بین رفتن مقاومت خود ماده. ماده در واقع افزایش تنش را تحمل می کند تا اینکه نمونه پاره شود. برای اکثر کار بردهای عملی می توان منحنی معمول تنش - کرنش OABCDE را بر اساس سطح مقطع اولیه نمونه بکار برد.



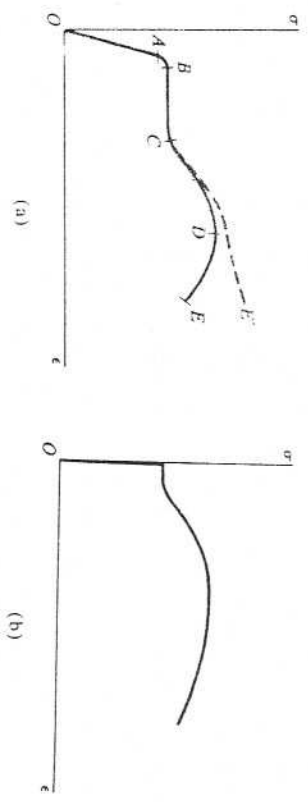
شکل ۶-۱ باریک شدن میله در اثر کشش

۱-۲ در این رابطه طول کل میله می باشد. کرنش وقتی از رابطه ۸-۱ با دقت به دست می آید که مقدار آن در تمام طول میله یکسواخت باشد. توجه کنید که کرنش یک کمیت بدون بعد است. موقعی که میله تحت کشش است کرنش کششی و موقعی که میله تحت فشار است کرنش فشاری می باشد. در حالت اخیر مقاطع مجاور هم به یکدیگر نزدیک می شوند. در مقاومت مصالح "کرنش کششی" را مثبت و کرنش فشاری را منفی فرض می کنند.

۱-۲-۳ آزمایش کشش

رابطه بین تنش و کرنش در یک ماده مورد نظر با آزمایش کشش تعیین می شود. نموداری از ماده مزبور معمولاً به شکل یک میله گرد ( میله یا مقطع دایره ای ) در داخل ماشین کشش قرار داده می شود و تحت کشش قرار می گیرد. نیرو و ازدیاد طول میله با اضافه کردن تدریجی بار اندازه گیری می شود. با تقسیم نیرو بر مساحت سطح مقطع تنش و با تقسیم ازدیاد طول میله بر طول میله کرنش پیدا می شود. بدین طریق منحنی کامل تنش - کرنش برای ماده مورد نظر بدست می آید.

منحنی تنش - کرنش برای فولاد سازوای در شکل ۵-۱ مشاهده می گردد ( منحنی OABCDE ) از O تا A تنش و کرنش مستقیماً متناسب می باشد و منحنی



شکل ۵-۱

برای اغلب مصالح شکننده تنش‌های مشخصه در فشار خیلی بیشتر از مقادیر نظیر در کشش می‌باشند.

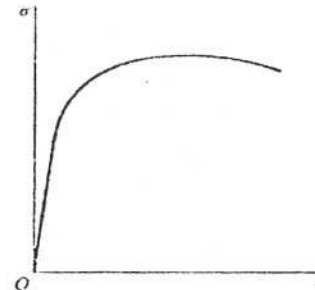
منحنی‌های تنش - کرنش در شکل‌های ۵-۱، ۷-۱، ۸-۱ رفتار مصالح مختلف را در حالت بارگذاری کششی نشان می‌دهند. موقعی که نمونه‌ای از ماده مورد نظر بار برداری می‌شود، یعنی اینکه بار به تدریج کم شده و به صفر رسانده می‌شود، تمام یا قسمتی از اضافه‌طولی که در موقع بارگذاری ایجاد شده است از بین می‌رود. این خاصیت مواد که در اثر آن ماده به شکل اولیه باز می‌گردد به نام خاصیت ارتجاعی خوانده می‌شود. اگر مقدار بارگذاری کم باشد پس از بار برداری میله به طور کامل به حالت اولیه برمی‌گردد، اما اگر مقدار بارگذاری زیاد باشد بطوری که از حد ارتجاعی تجاوز کند میله مقداری تغییر شکل دائمی پیدا خواهد کرد. برای فولاد و بسیاری از فلزات دیگر حد ارتجاعی و حد تناسب تقریباً "منطبق می‌باشند. اما در مواد لاستیک - مانند خاصیت ارتجاعی مقدار زیادی پس از حد تناسب ادامه پیدا می‌کند.

در طرح یک سازه لازم است مطمئن شویم که سازه برای وظایف در نظر گرفته شده تحت شرایط بهره برداری بطور صحیحی انجام وظیفه می‌کند. معمولاً "سازه طوری طرح می‌شود که حداکثر تنش زیر حد تناسب (یا حد ارتجاعی) باقی بماند زیرا فقط در این صورت است که هیچ گونه تغییر شکل دائمی در سازه پیدا نخواهد شد. به منظور در نظر گرفتن بارگذاری‌های بیش از اندازه تصادفی یا بی دقتی‌های ممکن در اجرای ساختمان و همچنین برای متغیرهای نامعلوم احتمالی در تحلیل سازه غالباً "ضریب اطمینانی در نظر گرفته می‌شود. بدین ترتیب که تنش حد تناسب بر عددی بزرگتر از واحد به نام ضریب اطمینان تقسیم می‌شود تا تنش مجاز بدست آید و سعی می‌شود که در هیچ نقطه از سازه تنش از تنش مجاز تجاوز نکند. برای مثال در طرح سازه‌های فولادی برای فولادی که تنش تسلیم آن  $2300 \text{ Kg/cm}^2$  می‌باشد تنش مجاز  $1400 \text{ Kg/cm}^2$  بکار برده می‌شود. بنابراین ضریب اطمینان مربوطه در مقابل تسلیم 1.64 می‌باشد. برای مواد شکل پذیر معمولاً "ضریب اطمینان در مقابل تسلیم حساب می‌شود. ولی برای مواد شکننده مانند بتن تنش مجاز در مقابل تنش نهایی حساب می‌شود. به طور کلی در موقع طرح بر اساس تنش‌های مجاز یکی از دو معادله زیر را می‌توان برای تعیین تنش مجاز بکار برد:

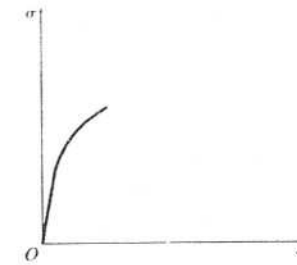
منحنی ۵-۱ برای نشان دادن خصوصیات کلی منحنی تنش - کرنش فولاد رسم شده است ولی اندازه‌هایش با واقعیت منطبق نمی‌باشد زیرا همانطور که قبلاً تذکر داده شد کرنش از B تا C ممکن است ۱۵ برابر کرنش از O تا A باشد. همچنین کرنش از C تا E حتی بیشتر از کرنش از B تا C می‌باشد. منحنی تنش - کرنش با مقیاس صحیح در شکل ۵-۱ b رسم شده است. در این شکل کرنش از O تا A در مقابل کرنش از A تا E آنقدر کوچک است که قابل دیدن نیست و قسمت خطی منحنی به صورت یک خط عمودی به نظر می‌رسد.

وجود نقطه تسلیم مشخص و کرنش خمیری زیاد به دنبال آن تا حدودی منحصر به فولاد است که امروزه رایج‌ترین فلز سازه‌ای می‌باشد. در آلیاژهای آلومینیوم انتقال از قسمت خطی به قسمت غیر خطی به صورت تدریجی تری صورت می‌گیرد (شکل ۷-۱). فولاد و بسیاری از آلیاژهای آلومینیوم قبل از گسیختگی تغییر شکل زیادی می‌دهند و از این رو به مواد شکل پذیر موسوم می‌باشند. از طرف دیگر موادی که شکننده هستند در کرنش‌های نسبتاً "کوچک گسیخته می‌شوند (شکل ۸-۱). از مواد شکننده می‌توان سفال، چدن، بتن، شیشه و بعضی از آلیاژهای فلزی را نام برد.

برای حالت فشار نیز می‌توان منحنی‌هایی شبیه منحنی‌های فوق برای مصالح مختلف بدست آورد و حد تناسب، حد تسلیم و تنش نهایی را برای آنها تعریف کرد. در مورد فولاد مشاهده می‌شود که حد تناسب و تنش تسلیم در کشش و فشار تقریباً "یکسان می‌باشد.



شکل ۷-۱ منحنی نمونه تنش - کرنش برای آلیاژهای آلومینیوم سازه‌ای



شکل ۸-۱ منحنی نمونه تنش - کرنش برای یک ماده شکننده

قالب فشرده می‌گردند. آجرسیس در کوره آجر پزی تا درجه حرارت  $1000^{\circ}\text{C}$  حرارت داده می‌شود. از آنجایی که انواع مختلف خاک رس یافت می‌شوند انواع زیادی آجر با مقاومت‌های گوناگون وجود دارند.

مقاومت فشاری آجر خیلی بیشتر از مقاومت کششی آن می‌باشد. مقاومت کششی آجر به قدری پایین است که نمی‌توان آن را برای تحمل نیروهای کششی بکار برد. مقاومت فشاری آجر کاری را نمی‌توان با آزمایش مقاومت فشاری یک آجر تنها با دقت بدست آورد زیرا نوع ملاط و کیفیت اجرای کار در روی مقاومت آجر کاری تاثير می‌گذارد. تنش مجاز فشاری آجر کاری‌های معمولی بین  $5\text{Kg/cm}^2$  تا  $35\text{Kg/cm}^2$  می‌باشد.

#### ۲-۴-۱ سنگ

استفاده از سنگ در کارهای ساختمانی قدیمی‌تر از آجر می‌باشد. با وجود اینکه امروزه استفاده از سنگ برای حمل بار در ساختن بناها رایج نمی‌باشد در نواحی که سنگ زیاد و ارزان است خانه‌های کوچک را هنوز می‌توان با دیوارهای سنگی ساخت. پایه‌های پل را می‌توان از سنگ ساخت. پایه‌های بسیاری از پل‌های راه آهن قرن نوزدهم در اروپا از سنگ می‌باشند. سنگ مانند آجر شکننده است و دارای مقاومت فشاری زیاد ولی مقاومت کششی ضعیف می‌باشد. مقاومت فشاری سنگ‌ها بستگی به نوع آنها دارد. برای مثال تنش مجاز فشاری سنگ گرانیت در حدود  $50\text{Kg/cm}^2$  و تنش مجاز فشاری سنگ آهک مرغوب در حدود  $15-20\text{Kg/cm}^2$  می‌باشد.

#### ۳-۴-۱ چوب

چوب مانند سنگ از زمان‌های باستان به عنوان یک ماده طبیعی برای تحمل بار بکار رفته است. پل‌های اولیه در عرض رودهای کوچک یک لوحه سنگی و یا یک کنده چوب بودند.

چون انواع مختلف چوب وجود دارند ظرفیت باربری آنها متغیر است. بر خلاف آجر و سنگ که دارای بافت دانه‌ای و در نتیجه شکننده می‌باشند، چوب دارای بافت لیفی و رشته‌ای و مقاومت کششی و فشاری خوب می‌باشد. برای هر نوع چوب مقاومت آن برحسب اینکه بارورده در امتداد رشته‌های چوب و یا عمود بر آن باشد فرق می‌کند. چوب‌های نرم از قبیل چوب سفید، صنوبر و کاج غالباً "بعنوان تیرچه برای پوشاندن سقف خانه‌های بکار

$$\sigma_w = \frac{\sigma_y}{n_1} \quad (1-9) \quad (\text{برای مواد شکل پذیر})$$

$$\sigma_w = \frac{\sigma_u}{n_2} \quad (1-10) \quad (\text{برای مواد شکننده})$$

در این روابط  $\sigma_y$  و  $\sigma_u$  به ترتیب معرف تنش تسلیم و تنش نهایی و  $n_1$  و  $n_2$  ضرائب اطمینان می‌باشند. تعیین ضریب اطمینان مناسب مسئله پیچیده ایست زیرا بستگی به نوع ماده مورد نظر و همچنین شرایط بهره برداری دارد. ضرائب اطمینان معمولاً به وسیله آیین نامه‌های ساختمانی تعیین می‌گردد.

روش مورد بحث در بالا برای تحلیل سازه‌ها موسوم به "روش تنش‌های مجاز" می‌باشد. روش دیگری برای تحلیل سازه‌ها وجود دارد که موسوم به "روش بار نهایی" است. در این روش تعیین می‌کنند سازه مورد نظر تحت چه باری فرو می‌ریزد. این بار موسوم به بار نهایی می‌باشد. بار مجاز از تقسیم نمودن بار نهایی بر ضریبی بزرگتر از واحد موسوم به ضریب بار بدست می‌آید. در طرح سازه‌های فلزی هر دو روش تنش‌های مجاز و بار نهایی متداول می‌باشند. تعیین بار نهایی برای سازه‌های ساده در فصل سوم مورد بحث قرار خواهد گرفت.

#### ۴-۱ انواع مصالح سازه‌ای

مصالح سازه‌ای اصلی عبارتند از آجر، سنگ، چوب، بتن، فولاد و بتن مسلح. در سال‌های اخیر آلیاژهای آلومینیوم برای بعضی از انواع سازه‌ها بکار رفته‌اند. بعضی از پلاستیک‌ها نیز به طور سازه‌ای مورد استفاده قرار گرفته‌اند.

#### ۱-۴-۱ آجر

آجر در طول هزاران سال در ساختن ساختمان‌ها بکار رفته است. مصری‌های باستان آجر را از مخلوط کردن گل و خرده گاه می‌ساختند. گاه باعث تقویت آجر می‌شود و مانع خرد شدن آن در هنگام خشک شدن در آفتاب می‌گردد. امروزه اکثر آجرها از خاک رس ساخته می‌شوند که با فشار دست یا ماشین در داخل

می‌روند. برای این چوب‌ها تنش‌های مجاز فشاری و کششی در امتداد رشته‌های چوب به ترتیب در حدود  $60\text{Kg/cm}^2$  و  $80\text{Kg/cm}^2$  می‌باشد. چوب‌های سخت مانند بلوط قوی تر می‌باشند ولی به علت گرانی کمتر بکار می‌روند. در سال‌های اخیر سازه‌های قوسی و قاب‌های پرتال از چوب‌های ورق ساخته شده‌اند.

#### ۴-۴-۱ بتن

بتن از مخلوطی از سیمان، خرده‌سنگ‌های ریز و درشت و آب ساخته می‌شود که تشکیل ماده سخت سنگ مانندی می‌دهند. خواص مکانیکی بتن بستگی به کیفیت و مقدار این اجزاء در مخلوط دارد. سیمان مورد استفاده معمولاً "سیمان پرتلند" می‌باشد. خرده سنگ‌های ریز و درشت معمولاً "شن و ماسه و سنگ ریزه" می‌باشند که نباید به نمک آلوده باشند. در مخلوط بتن لازم است که خرده سنگ‌ها اندازه‌های مختلف داشته باشند تا در هنگام مخلوط شدن ذرات ریز فضاهای خالی بین سنگ‌های درشت‌تر را پر کنند و بتن متراکمی با مقدار اقتصادی سیمان بدست آید. یک نوع متداول بتن مخلوط ۴ : ۲ : ۱ می‌باشد. این بدان معنی است که یک حجم سیمان با دو حجم ماسه و چهار حجم سنگ ریزه مخلوط می‌شود.

مقاومت بتن بستگی به عوامل زیادی دارد. یکی از مهم‌ترین عوامل نسبت آب به سیمان می‌باشد. اگر تمام عوامل یکسان باشد هر چه سیمان بیشتری بکار رود بتن مقاوم‌تری بدست می‌آید. بعضی از مواقع بتن از گرانبی یا ماسه سنگ خرد شده ساخته می‌شود. با استفاده از سنگ پا یا تفاله کوره ذوب آهن می‌توان بتن سبک وزن ساخت. مقاومت کششی بتن مانند سنگ ضعیف می‌باشد. مقاومت فشاری بتن‌های متداول بین  $200\text{Kg/cm}^2$  تا  $500\text{Kg/cm}^2$  است. مقاومت کششی بتن در حدود ۱۵ - ۱۰٪ مقاومت فشاری آن است.

#### ۴-۴-۵ فولاد

ماده اصلی برای تولید انواع مختلف آهن و فولاد سنگ معدن آهن می‌باشد. برای جدا کردن آهن از سنگ معدن باید آن را حرارت داد. فلزات آهنی بطور کلی به سه دسته تقسیم می‌شوند: چدن، آهن خمیری و فولاد. با وجود اینکه این مواد تقریباً "تماماً" از آهن می‌باشند وجود مقادیر کوچکی از عناصر دیگر تأثیر مهمی در روی خواص آنها دارد. یکی از عناصر مهم در آهن و فولاد کربن می‌باشد. وقتی در صد کربن کم است فلز

نرم و شکل پذیر است و وقتی در صد کربن زیاد است فلز سخت و شکننده می‌باشد. با وجود اینکه صدها سال است که فولاد ساخته شده است تا نیمه دوم قرن نوزدهم تهیه آن گران بود و فقط به مقادیر کم برای ساختن شمشیر و فتر بکار می‌رفت. در روش‌های جدید تولید فولاد اولین مرحله گرم کردن سنگ معدن در کوره بلند فولاد سازی می‌باشد که از آن آهن لخته بدست می‌آید. آهن لخته در صد زیادی کربن دارد که آن را شکننده می‌سازد و نیز دارای ناخالصی‌های دیگر مانند سیلیسیم، منگنز، فسفر و گوگرد می‌باشد. چدن از ذوب مجدد آهن لخته بدست می‌آید و بر حسب عملیات تصفیه و موادی که به آن اضافه می‌شود انواع مختلف چدن با شکنندگی‌های مختلف وجود دارد. آهن خمیری نیز از تصفیه آهن لخته بدست می‌آید ولی عملیات تولید آن دشوار است و تولید انبوه آن مانند فولاد به سهولت امکان ندارد. درجه حرارتی که آهن خمیری در آن تولید می‌شود آنقدر زیاد نیست که فلز را به حالت مذاب نگه دارد. آهن خمیری که از داخل کوره در می‌آید با چکش کاری کردن یا نورد دادن به صورت صفحه، میله و غیره درآورده می‌شود. بر خلاف چدن که شکننده می‌باشد آهن خمیری بسیار چکش‌خوار است. قرن‌هاست که آهن خمیری برای وسائل تزئینی از قبیل دروازه حیاط و همچنین حلقه‌های زنجیر بکار رفته است.

برای تولید فولاد آهن لخته را با حرارت دادن تصفیه می‌کنند تا ناخالصی‌های آن از قبیل کربن و فسفر و غیره جدا شود. به فلز مایعی که بدین ترتیب به حالت خالص در می‌آید مقادیر دقیق مواد لازم (از جمله کربن) اضافه می‌شود تا فولاد با خواص مطلوب بدست آید. فولاد به حالت مایع در قالب ریخته می‌شود تا به صورت شمش در آید. با حرارت دادن مجدد شمش و نورد دادن آن می‌توان فولاد را به صورت صفحه، میله، و شکل‌های دیگر در آورد. فولاد مایع را همچنین می‌توان مستقیماً "در قالب‌های به شکل معین ریخت تا شکل‌های مطلوب حاصل شوند.

فولاد سازه‌ای که برای تهیه تیر و ستون در ساختمان‌ها و میله‌های بتن مسلح بکار می‌رود مقدار کمی (در حدود ۰/۲ درصد) کربن دارد و در نتیجه نرم و شکل‌پذیر می‌باشد. انواع مختلف فولاد سازه‌ای وجود دارد. متداول‌ترین آنها فولاد نرم است که تنش تسلیم آن در حدود  $2500-3000\text{Kg/cm}^2$  و تنش نهایی آن در حدود  $4500-5000\text{Kg/cm}^2$  می‌باشد. با اضافه نمودن بعضی از مواد مانند مس در موقع تولید فولاد می‌توان مقاومت آن را اضافه نمود. تنش نهایی فولادهای با مقاومت زیاد

#### ۱-۴-۸ پلاستیک‌ها و مصالح مصنوعی

پلاستیک‌ها و مصالح مصنوعی که در آنها از مواد آلی بعنوان چسبنده استفاده می‌شود به تدریج در ساختمان‌ها کاربرد وسیعی پیدا می‌کنند ولی به علت مخارج نسبتاً زیاد آنها هنوز به عنوان مصالح سازه‌ای مصرف زیادی ندارند. بیشتر پلاستیک‌های سازه‌ای به وسیله شیشه مسلح می‌شوند. رشته‌های شیشه با مقاومت خیلی زیاد برای تقویت صغ پاکسی بکار می‌روند. این نوع پلاستیک‌ها برای ساختن قطعات هواپیما کار برد دارند. رشته‌های شیشه به صغ‌های اپاکسی، پولی استر، پولی وینیل و مواد پلاستیک دیگر مقاومت کششی می‌دهند. این نوع مواد بعنوان غشاء در سقف‌هایی که با فشار هوا کار می‌کنند از قبیل سقف‌های منکی بر هوا یا باد شده (به مرجع ۳۷ رجوع شود) بکار می‌روند. به نظر می‌رسد در سالهای آینده با پیشرفت‌هایی که در زمینه پلاستیک‌ها خواهد شد این مواد به تدریج با مصالح سازه‌ای سنتی قابل رقابت تر خواهند بود.

#### ۱-۵ خاصیت ارتجاعی خطی و قانون هوک

در منحنی تنش- کرنش بیشتر مصالح سازه‌ای یک قسمت اولیه خطی وجود دارد که در آن ماده به صورت ارتجاعی عمل می‌کند (ناحیه O تا A در منحنی تنش- کرنش فولاد در شکل ۱-۵۸). موقعی که ماده به صورت ارتجاعی عمل می‌کند و رابطه بین تنش و کرنش نیز خطی می‌باشد به آن ماده ارتجاعی خطی می‌گویند. این خاصیت از خواص مکانیکی خیلی مهم بسیاری از مصالح جامد شامل اکثر فلزها، چوب، بتن، سفال و پلاستیک‌ها می‌باشد.

رابطه خطی بین تنش و کرنش برای یک میله تحت کشش به صورت معادله ساده زیر بیان می‌شود:

$$\sigma = E \varepsilon \quad (1-11)$$

E در این رابطه ضریب تناسب و موسوم به ضریب ارتجاعی ماده می‌باشد. ضریب ارتجاعی شیب منحنی تنش- کرنش در ناحیه ارتجاعی خطی و از خصوصیات مصالح است. ضریب

می‌باشد. تنش نهایی بعضی از آلیاژهای فولاد به  $6000-7000 \text{ Kg/cm}^2$  می‌رسد. تنش‌های مجاز برای اینگونه فولادها بیشتر از مقادیر نظیر  $20000 \text{ Kg/cm}^2$  برای فولاد نرم معمولی است و در نتیجه می‌توان مقاطع کوچکتری از آنها را بکار برد.

#### ۱-۴-۶ آلیاژهای آلومینیوم

رایج ترین منبع آلومینیوم سنگ معدنی موسوم به بوکسیت می‌باشد که برای اولین بار در سال ۱۸۲۱ در فرانسه پیدا شد. آلومینیوم فلز بیش از اندازه نرمی می‌باشد ولی با اضافه نمودن مواد دیگر به آن از قبیل مس، منگنز، سیلیسیم، نیکل و روی می‌توان بر مقاومت آن افزود. امروزه تولید آلیاژهای آلومینیوم که مقاومت کششی در حدود مقاومت کششی فولاد داشته باشند امکان پذیر است. از آنجایی که وزن مخصوص آلومینیوم در حدود  $\frac{1}{3}$  وزن مخصوص فولاد ( $2.75 \text{ T/m}^3$  در مقابل  $7.7 \text{ T/m}^3$ ) می‌باشد در مقایسه با فولاد نرم یا آلیاژهای آلومینیوم می‌توان سازه‌های سبک‌تری ساخت. اما آلومینیوم دو عیب دارد. اولاً "مخارج تولید آن زیاد می‌باشد. ثانیاً "ضریب ارتجاعی آن (به بخش ۱-۵ رجوع کنید) خیلی کمتر از ضریب ارتجاعی فولاد است و این به معنی تغییر شکل بیشتر تحت یک بار معین می‌باشد. چون آلیاژهای آلومینیوم نسبت به فولاد تغییر شکل بیشتری می‌دهند بهترین کار برد آنها در سازه‌هاییست که تغییر شکل‌های زیاد لزوماً به معنای بکار بردن مصالح بیشتر نمی‌باشد. برای پوشاندن بعضی از سقف‌های با دهانه زیاد (مثلاً گنبدها) استفاده از آلومینیوم بسیار مناسب می‌باشد.

#### ۱-۴-۷ بتن مسلح

همان طوریکه قبلاً ذکر شد بتن دارای مقاومت فشاری زیاد ولی مقاومت کششی کم می‌باشد. با ترکیب کردن مقاومت فشاری بتن با مقاومت کششی فولاد می‌توان از هر دو مصالح به نحو اقتصادی استفاده نمود. بتن مسلح نسبت به فولاد دارای دو مزیت می‌باشد. یکی اینکه می‌توان آن را در قالب‌های با شکل‌های مختلف ریخت و بدین ترتیب می‌توان سازه‌هایی با شکل‌های پیچیده بنا نمود. دیگر اینکه مقاومت بتن مسلح در مقابل آتش از مقاومت فولاد بیشتر است. در هنگام آتش سوزی اسکلت فولادی در مدت کمی ذوب می‌شود و فرو می‌ریزد در حالی که پوشش بتنی در ساختمان‌های بتن مسلح در مقابل آتش مقاوم می‌باشد.



ارتجاعی برای مصالح مختلف در جدول ۱-۱ خلاصه شده است. توجه کنید واحد  $E$  همان واحد تنش است. برای غالب فلزات ضریب ارتجاعی در کشش و فشار یکسان میباشند. ضریب ارتجاعی بعضی براق به ضریب پانگ (به نام دانسنند انگلیسی، ۱۸۲۹-۱۷۷۳) نیز خوانده می شود. معادله 1-11 معمولا" به نام قانون هوک (یک دانسنند دیگر انگلیسی، ۱۷۰۳-۱۶۳۵) نامیده می شود. هوک برای اولین بار رابطه خطی بین بار و ازدیاد (یا کاهش) طول را به طور تجربی بدست آورد.

موقعی که میلهای از معادلات 1-1 و 1-8 بدست می آید. هرگاه معادلات مزبور را با محوری به ترتیب از معادلات 1-1 و 1-8 بدست می آید. هرگاه معادلات مزبور را با قانون هوک ترکیب کنیم معادله زیر برای تغییر طول یک میله تحت کشش یا فشار بدست می آید:

$$\delta = \frac{PL}{AE} \quad (1-12)$$

این معادله نشان می دهد که تغییر طول (ازدیاد طول یا کاهش طول) میلهای از ماده ارتجاعی خطی مستقیما" با بار و طول آن و معکوسا" با ضریب ارتجاعی و مساحت سطح مقطع آن متناسب می باشد. کمیت  $AE$  صلبیت محوری میله نامیده می شود. هر چه صلبیت محوری میله بیشتر باشد میله تحت بار معینی تغییر شکل کمتری خواهد داد.

۱-۶ ضریب پواسون

موقعی که میلهای تحت کشش می باشد اضافه طول محوری آن همراه با انقباض جانبی می باشد. به عبارت دیگر با اضافه شدن طول میله عرض آن کاهش می یابد. تا زمانی که میله به صورت ارتجاعی عمل میکند نسبت کرنش در جهت عرض به کرنش در جهت طول میله ثابت و به ضریب پواسون (۷) موسوم می باشد.

$$\nu = \frac{\text{کرنش جانبی}}{\text{کرنش طولی}} \quad (1-13)$$

جدول ۱-۱ خواص مکانیکی نمونه مصالح

(به جز موارد ذکر شده خواص نوشته شده برای حالت کشش می باشند)

مصالح	وزن مخصوص $t / m^3$	ضریب ارتجاعی $E$ $Kg/cm^2$	ضریب ارتجاعی برشی $G = \frac{E}{2(1+\nu)}$ $Kg/cm^2$	تنش تسلیم $\sigma_y$ $Kg/cm^2$	تنش نهایی $\sigma_u$ $Kg/cm^2$
الومینیوم	۲/۷۵	$0.7 \times 10^6$	۲۸۰۰۰۰	۱۴۰۰	۲۱۰۰
آلیاژهای					
الومینیوم	۲/۷۵-۸/۳	$0.7 \times 10^6$	۲۸۰۰۰۰	۱۰۵۰-۳۵۰۰	۱۴۰۰-۴۲۰۰
برنج	۸/۳	$0.98 \times 10^6$	۳۸۵۰۰۰	۱۰۵۰-۴۲۰۰	۲۸۰۰-۵۲۵۰
برنز	۸/۳	$0.98 \times 10^6$	۳۸۵۰۰۰	۷۰۰-۳۸۵۰	۲۱۰۰-۴۲۰۰
بتن (فشار)	۲/۳۵	$0.28 \times 10^6$		۷۰۰-۳۱۵۰	۱۴۰-۷۰۰
مس	۸/۸۵	$1.05 \times 10^6$	۴۲۰۰۰۰	۷۰۰-۳۱۵۰	۲۱۰۰-۴۲۰۰
چدن	۷/۷۵	$1.05 \times 10^6$	۴۲۰۰۰۰	۴۲۰-۲۸۰۰	۱۱۲۰-۴۲۰۰
منیزیم	۱/۷۷	$0.42 \times 10^6$	۱۶۸۰۰۰	۸۴۰-۱۲۶۰	۱۴۰۰-۲۱۰۰
فولاد نرم	۷/۷	$2 - 2.1 \times 10^6$	۷۷۰۰۰۰-۸۴۰۰۰۰	۲۱۰۰-۴۲۰۰	۳۵۰۰-۷۰۰۰
فولاد با مقاومت					
زیاد	۷/۷	$2 - 2.1 \times 10^6$	۷۷۰۰۰۰-۸۴۰۰۰۰	۳۵۰۰-۱۱۲۰۰	۷۰۰۰-۱۹۶۰۰
چوب سازه‌ای (فشار)	۰/۲۸-۰/۸۳	$0.07 - 0.14 \times 10^6$			۲۸۰-۷۰۰

خواص مکانیکی  
مصالح

با حجم نهایی منهای حجم اولیه آنست. بنابراین

$$\frac{\Delta V}{V} = \epsilon(1 - 2\nu) \quad (1-14)$$

در این عبارت معرف نسبت تغییر حجم  $(\Delta V)$  به حجم اولیه  $(V)$  میباشد. چون کاهش حجم یک میله تحت کشش نا معقول به نظر می رسد از معادله 1-14 می توان نتیجه گرفت که  $\nu$  باید همواره کمتر از 0.5 باشد. لاستیک و پارافین جامد عملاً تحت کشش تغییر حجمی نمی دهند از این رو در این مصالح  $\nu$  نزدیک حد 0.5 می باشد. از طرف دیگر برای چوب پنبه  $\nu$  عملاً صفر می باشد. ضریب پواسون بتن در حدود 0.1 و ضریب پواسون فلزات در حدود 0.25-0.35 است.

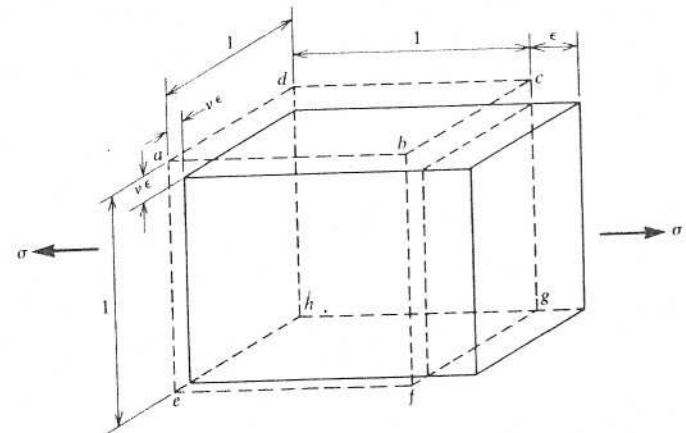
بحث بالا در مورد انقباض جانبی میله تحت کشش را می توان برای حالت فشار نیز بکار برد با این تفاوت که فشار طولی با انبساط جانبی همراه می باشد. برای کارهای عملی مقدار عددی  $\nu$  در کشش و فشار را می توان یکسان فرض نمود.

۷-۱ تغییر طول میله های با بار گذاری محوری

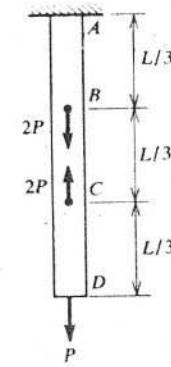
در حالات زیادی تغییر طول میله ها را می توان از رابطه 1-12 به دست آورد. مثلاً وقتی که بارها نه تنها در انتها بلکه در یک یا چند نقطه در طول میله نیز وارد می شوند ( شکل ۱۰-۱ ) و یا اینکه سطح مقطع میله به طور ناگهانی تغییر کند می توان از رابطه مزبور برای محاسبه تغییر طول میله ها استفاده نمود. برای محاسبه تغییر طول میله شکل ۱۰-۱ ابتدا نیروی محوری را در هر یک از قسمت های میله ( قسمت های AB، BC و CD ) تعیین می کنیم. سپس تغییر طول ( اضافه طول یا کاهش طول ) هر قسمت را حساب می کنیم. بالاخره با جمع جبری تغییر طول های قسمت های مختلف تغییر طول کل میله بدست می آید. همین روش را می توان در مورد میله شکل ۱۱-۱ بکار برد. بدین ترتیب به طور کلی تغییر طول کل میله هایی که از چند قسمت با سطح مقطع و بار گذاری های مختلف تشکیل شده اند از معادله زیر بدست می آید:

پواسون ریاضی دان فرانسوی ( ۱۸۴۰ - ۱۷۸۱ ) با استفاده از تئوری مولکولی مواد سعی نمود مقدار ضریب مزبور را بدست آورد. برای مواد متجانس ( موادی که خواص ارتجاعی آنها در همه جهات یکسان می باشد ) پواسون ضریب مزبور را  $\nu = 0.25$  پیدا کرد. آزمایش های واقعی در روی فلزات نشان می دهد که  $\nu$  در واقع بین 0.25 تا 0.35 می باشد.

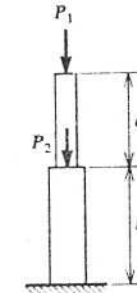
تغییر حجم یک میله تحت کشش را با دانستن ضریب پواسون و ضریب ارتجاعی ماده میله می توان بدست آورد. تغییرات حجم در شکل ۹-۱ نشان داده شده است. این شکل جزء کوچکی از ماده را که از میله تحت کشش بریده شده است نشان می دهد. شکل اولیه جزء مزبور مکعب abcdefgh می باشد که فرض می شود طول اضلاع آن برابر واحد باشد. جهت نیروی محوری در شکل به وسیله تنش های  $\sigma$  نشان داده شده است. اضافه طول مکعب مزبور در جهت بار گذاری  $\epsilon = \sigma / E$  و کاهش طول اضلاع مکعب در دو جهت جانبی  $\nu\epsilon$  می باشد. بنابراین مساحت سطح مقطع مکعب در جهت عمود بر بار به اندازه  $(1 - \nu\epsilon)^2 / 1$  کاهش و حجم آن به نسبت  $(1 + \epsilon)(1 - \nu\epsilon)^2 / 1$  افزایش یافته است. اگر حاصل ضرب این عبارت بسط داده شود و از جملات توان دوم و سوم  $\epsilon$  که مقادیر بسیار کوچکی می باشند صرف نظر شود نسبت مزبور به صورت  $(1 + \epsilon - 2\nu\epsilon) / 1$  ساده می شود. تغییر حجم مکعب برابر



شکل ۹-۱ تغییر حجم مکعبی به اضلاع واحد تحت کشش



شکل ۱۰-۱



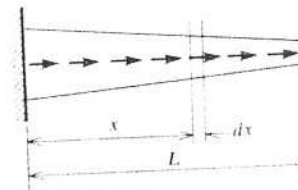
شکل ۱۱-۱

$$\delta = \sum_{i=1}^n \frac{P_i L_i}{E_i A_i} \quad (1-15)$$

در این رابطه  $P_i$ ،  $L_i$ ،  $E_i$  و  $A_i$  به ترتیب نیروی محوری، طول، ضریب ارتجاعی و مساحت سطح مقطع قسمت  $i$  و  $n$  تعداد کل قسمت‌ها می‌باشد.

موقعی که نیروی محوری یا مساحت سطح مقطع در طول محور میله به طور پیوسته تغییر می‌کند معادله 1-15 قابل استفاده نمی‌باشد. برای پیدا کردن تغییر طول در این حالت جزء دیفرانسیلی از میله به طول  $dx$  به فاصله  $x$  از انتهای چپ میله را در نظر می‌گیریم (شکل ۱۲-۱). این جزء کوچک را از میله جدا می‌کنیم. نیروی محوری  $P_x$  در طول جزء کوچک و سطح مقطع  $A_x$  آن را باید بر حسب تابعی از  $x$  تعیین کنیم. در این صورت معادله اضافه طول جزء مزبور به صورت زیر در می‌آید:

$$d\delta = \frac{P_x dx}{EA_x} \quad (1-16)$$



شکل ۱۲-۱ میله با سطح مقطع و نیروی محوری متغیر

و اضافه طول کل میله از انتگرال زیر حاصل می‌شود:

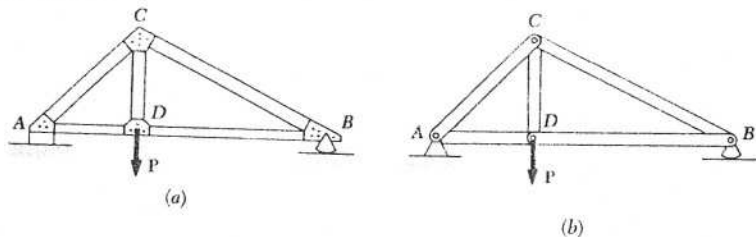
$$\delta = \int_0^L d\delta = \int_0^L \frac{P_x dx}{EA_x} \quad (1-17)$$

در موافقی که نتوان جواب انتگرال فوق را به صورت بسته بدست آورد باید از روش‌های عددی انتگرال گیری استفاده نمود. در صورتی رابطه 1-17 جواب دقیق می‌دهد که زاویه بین اضلاع میله با مقطع باریک شونده کوچک باشد. به عنوان مثال اگر زاویه بین اضلاع  $20^\circ$  باشد حداکثر خطای محاسبه در تنش عمودی  $\sigma = P/A$  حدود 3 درصد می‌باشد. برای زوایای کوچکتر خطا کمتر است. اگر زاویه بین اضلاع بیشتر باشد روش‌های تحلیل دقیق تری لازم می‌گردد (مرجع 26).

### ۸-۱ خرابی‌های ایزواستاتیک

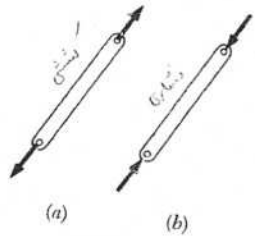
#### ۱-۸-۱ تعریف خرابی

خرابی یکی از انواع اصلی سازه‌های مهندسی است که بخصوص در ساختمان‌ها و پلها کاربرد زیادی دارد. خرابی شامل اعضاء مستقیم می‌باشد که در محل اتصالات به یکدیگر وصل می‌شوند. یک خرابی نمونه در شکل ۱۳-۱ مشاهده می‌شود. اعضاء خرابی در انتهایشان به یکدیگر متصل می‌شوند و هیچ عضوی در روی اتصال پیوسته نمی‌باشد.

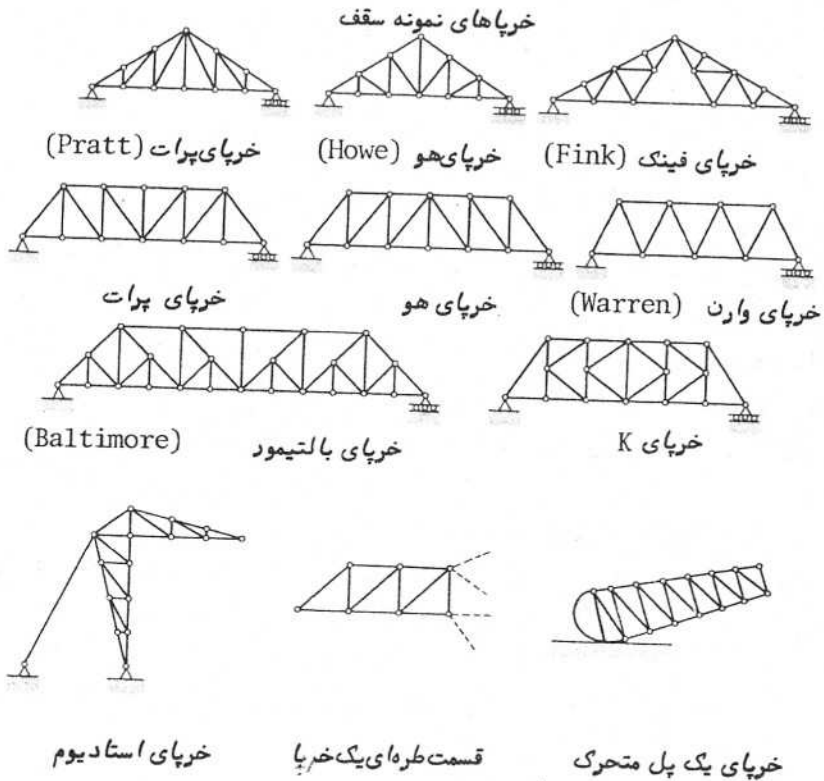


شکل ۱۳-۱

در تحلیل‌های دقیق تر خرپاها لنگرهای ایجاد شده در اثر گیر داری اتصالات خرپا به حساب آورده می‌شوند ولی این موضوع خارج از بحث مقاومت مصالح مقدماتی می‌باشد (مرجع 17 را به بینید). شکل ۱۶ - ۱ چند نوع متداول خرپاها را نشان می‌دهد.



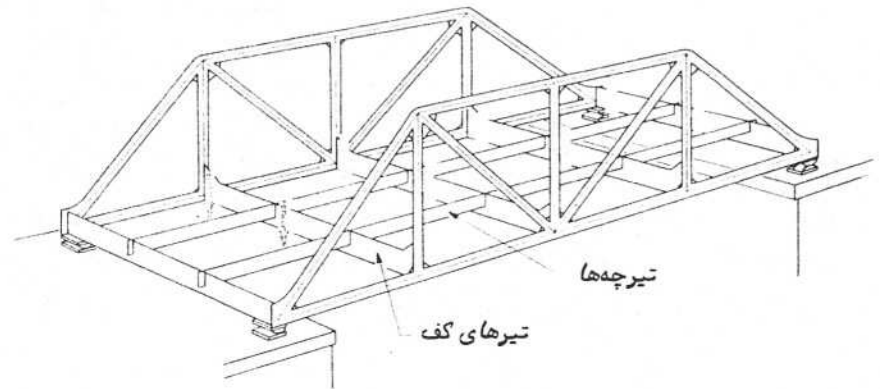
شکل ۱۵ - ۱



شکل ۱۶ - ۱ انواع مختلف خرپاها

برای مثال در شکل ۱۳a - ۱ AB پیوسته نمی‌باشد بلکه از دو عضو AD و DB تشکیل شده است که در نقطه D به یکدیگر متصل شده‌اند. خرپاها برای بارهای وارد در صفحه آنها طرح می‌شوند از این رو می‌توان آنها را به صورت سازه‌های دو بعدی محاسبه نمود.

به طور کلی اعضاء خرپا باریک می‌باشند و بار جانبی کمی را می‌توانند تحمل کنند از این رو تمام بارها باید در محل اتصالات وارد شوند نه مستقیماً بر روی اعضاء. موقعی که بار گسترده‌ای باید بوسیله خرپایی حمل شود (مانند خرپای یک پل در شکل ۱۴-۱) سیستم کف از تیر و تیرچه تشکیل می‌باشد که بارها را به محل اتصالات منتقل می‌کنند. همچنین فرض می‌شود وزن اعضاء خرپا در محل اتصالات وارد می‌گردد بدین ترتیب که نیمی از وزن هر عضو در هر انتها وارد می‌شود. با وجود اینکه اعضاء در عمل با پرچ یا جوش به یکدیگر متصل می‌باشند معمولاً "اتصال اعضاء مفصلی فرض می‌شود (شکل ۱۳b - ۱). در نتیجه در هر انتهای هر عضو فقط یک نیرو وجود دارد بدون اینکه لنگری بر آن اثر کند. بدین ترتیب هر عضو به صورت دو نیرویی می‌باشد و نیروها باید در امتداد اعضاء وارد شوند (شکل ۱۵ - ۱).

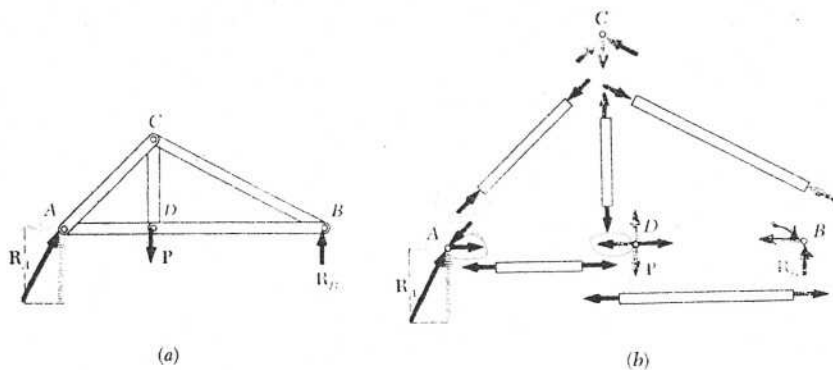


شکل ۱۴ - ۱

می‌باشند ( برای خرپای K مثلث بلندی را با یکی از مثلث‌های میانی شروع کنید ) .  
 با مراجعه مجدد به خرپای مثلثی پایه شکل ۱-۱۷ b مشاهده می‌شود که این  
 خرپا سه عضو و سه مفصل دارد . خرپای شکل ۱-۱۷ c دو عضو و یک مفصل بیشتر دارد  
 و جمعاً " پنج عضو و چهار مفصل دارد . بدین ترتیب مشاهده می‌شود که با افزودن هر دو  
 عضو جدید بر تعداد مفصل‌ها یکی اضافه می‌شود . بنابراین در خرپایی که تعداد مفصل‌ها  
 $n$  می‌باشد تعداد اعضا  $m = 3 + 2(n - 3) = 2n - 3$  می‌باشد .

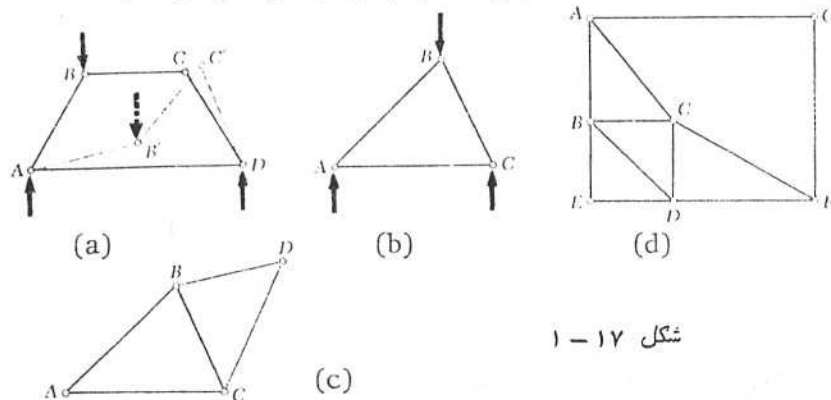
۱-۸-۳ تحلیل خرپاهای ایزواستاتیک با روش مفاصل

منظور از تحلیل یک خرپا ( و به طور کلی یک سازه ) بدست آوردن نیروها ( یا  
 تنش‌ها ) داخلی و تغییر شکل‌های آن تحت یک بار گذاری معین می‌باشد . هر گاه بتوان  
 تمام نیروهای داخلی یک سازه را فقط با استفاده از معادلات تعادل و بدون در نظر گرفتن  
 تغییر شکل‌های آن بدست آورد آن سازه را ایزواستاتیک می‌نامند و در غیر این صورت  
 سازه موسوم به هیپر استاتیک می‌باشد . خرپاهای ساده که در بخش قبل نحوه ساختن آنها  
 شرح داده شد ایزواستاتیک می‌باشند . نمودار جسم آزاد خرپای شکل ۱-۱۳ در شکل  
 ۱-۱۸ a رسم شده است . در شکل ۱-۱۸ b نمودار جسم آزاد برای مفصل‌ها و اعضا  
 خرپا رسم شده است . در هر مفصل دو معادله تعادل می‌توان نوشت . اگر تعداد مفصل‌های



شکل ۱-۱۸

خرپای شکل ۱-۱۷ a را که از چهار عضو متصل در نقاط  $D, C, B, A$  و بصورت  
 مفصلی تشکیل شده است در نظر بگیرید . اگر باری در نقطه B وارد شود خرپا به مقدار  
 زیادی تغییر شکل داده و شکل اولیه خود را کاملاً از دست می‌دهد . از طرف دیگر خرپای  
 شکل ۱-۱۷ b که از سه عضو متصل بهم در نقاط B, A و C تشکیل شده است تحت  
 بار وارد در B تغییر شکل مختصری می‌دهد . تنها تغییر شکل ممکن برای این خرپا  
 تغییرات کوچک در طول اعضا می‌باشد . خرپای شکل ۱-۱۷ b پایدار است ولی  
 خرپای شکل ۱-۱۷ a نا پایدار می‌باشد و در اثر بار گذاری فرو خواهد ریخت .

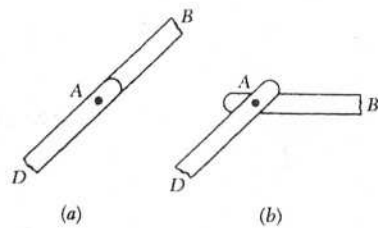


شکل ۱-۱۷

همچنانکه در شکل ۱-۱۷ c مشاهده می‌شود خرپای پایدار بزرگتری را می‌توان  
 با اضافه نمودن دو عضو BD و CD به خرپای مثلثی پایه شکل ۱-۱۷ b بدست آورد .  
 این عمل را می‌توان تکرار نمود . خرپایی که بدین صورت بدست می‌آید خرپای ساده  
 نامیده می‌شود . اگر هر بار دو عضو جدید به دو مفصل مختلف متصل کرده و خود آنها را  
 بهم وصل کنیم بطوریکه سه مفصل در یک امتداد نباشند خرپای حاصله یک خرپای پایدار  
 خواهد بود .

باید توجه نمود خرپای ساده لازم نیست فقط از مثلث ساخته شود . برای مثال  
 خرپای شکل ۱-۱۷ d یک خرپای ساده می‌باشد . از طرف دیگر خرپاهای  
 پایدار همیشه به صورت خرپای ساده نمی‌باشند . برای مثال  
 خرپاهای فینک و بالتیمور در شکل ۱-۱۶ خرپاهای ساده نمی‌باشند زیرا نمی‌توان آنها  
 را از یک مثلث با روش بالا ساخت . همه خرپاهای دیگر در شکل ۱-۱۶ خرپای ساده

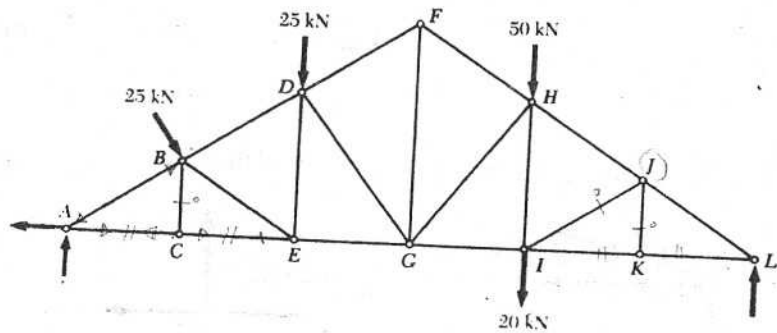
که در یک امتداد نیستند صفر می‌باشد. در موقع حل خرپاها با توجه به مفصل‌های تحت بارگذاری ویژه می‌توان اعضاء بدون نیرو (بانیروی داخلی برابر صفر) را در ابتدای کار تعیین نمود. واضح است که اعضاء بدون نیرو اعضاء بی‌فایده‌ای نیستند. این اعضاء فقط تحت بارگذاری (یا بارگذاری‌های) خاص بدون نیرو می‌باشند و تحت بعضی از بارگذاری‌های دیگر در آنها ممکن است نیرو ایجاد شود. بعلاوه این اعضا معمولاً برای تحمل وزن خرپا که غالباً از آن در محاسبات صرف نظر می‌شود لازم می‌باشند.



شکل ۱-۲۱

مثال ۱-۱

در خرپای شکل ۱-۲۲ اعضاء بدون نیرو را پیدا کنید.



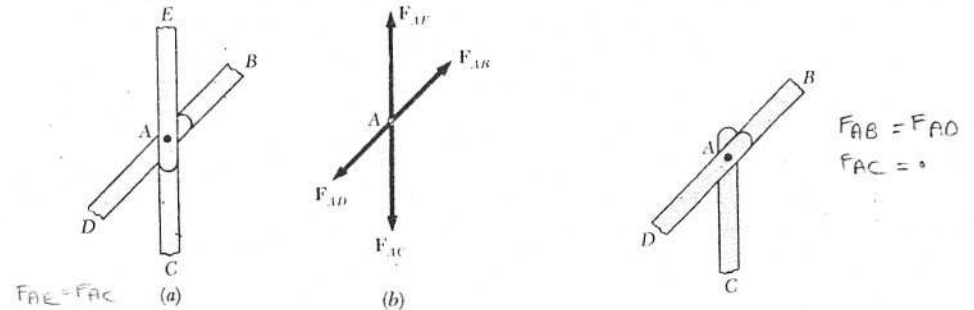
شکل ۱-۲۲

خرپا  $n$  باشد تعداد معادلات موجود  $2n$  خواهد بود که می‌توان آنها را برای  $2n$  مجهول حل نمود. در مورد خرپاهای ساده رابطه  $m=2n-3$  موجود است. بنابراین  $2n = m+3$  تعداد مجهولاتی است که می‌توان از نمودارهای جسم آزاد مفصل‌ها بدست آورد. بنابراین با توجه به اینکه تعداد واکنش‌های مجهول خرپا سه می‌باشد با نوشتن  $2n$  معادله تعادل می‌توان تمام نیروهای داخلی اعضاء ( $m$  عدد) و واکنش‌های مجهول را بدست آورد. قبل از اینکه به ذکر مثالی پردازیم لازم است که مفصل‌های تحت بارگذاری ویژه را بررسی کنیم.

۱ اتصال شکل ۱-۱۹a را در نظر بگیرید که در آن چهار عضو که دو بدو در یک امتداد می‌باشند در نقطه A به یکدیگر متصل شده‌اند. نمودار جسم آزاد اتصال مزبور در شکل ۱-۱۹b رسم شده است. هرگاه تعادل نیروها را در امتداد عمود بر DAB در نظر بگیریم نتیجه می‌شود:  $F_{AE} = F_{AC}$ . همین‌طور اگر تعادل نیروها را در امتداد عمود بر CAE در نظر بگیریم نتیجه می‌شود:  $F_{AB} = F_{AD}$ . بنابراین در چنین اتصالاتی عضوهایی که در یک امتداد قرار دارند دارای نیروی یکسان می‌باشند.

۲ حال اتصال شکل ۱-۲۰ را در نظر بگیرید. هرگاه در اتصال A نیرویی وارد نشود اتصال مزبور حالت خاصی از اتصال شکل ۱-۱۹a می‌باشد. بنابراین نیروی عضو AC برابر صفر و نیروهای عضوهایی AD و AB مساوی می‌باشند.

۳ در شکل ۱-۲۱a نیروهای داخلی عضوهایی AB و AD که در یک امتداد هستند باید با یکدیگر برابر باشند و در شکل ۱-۲۱b نیروهای داخلی عضوهایی AB و AD



شکل ۱-۱۹

شکل ۱-۲۰

هرگاه جهت نیروی یک عضو به مفصل نزدیک شود آن نیرو فشاری و هرگاه از مفصل دور شود آن نیرو کششی می‌باشد. با نوشتن معادلات تعادل اتصال  $F$  نیروهای  $F_{FB}$  و  $F_{FG}$  بدست می‌آیند.

کششی  $\rightarrow \sum F_x = 0 : F_{FG} - 6.93 = 0 : F_{FG} = 6.93 \text{ kN}$

کششی  $+ \uparrow \sum F_y = 0 : F_{FB} - 4 = 0 : F_{FB} = 4 \text{ kN}$

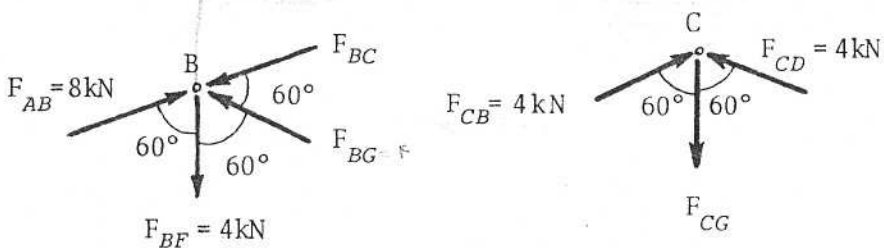
با نوشتن معادلات تعادل اتصال  $B$  نیروهای  $F_{BG}$  و  $F_{BC}$  به دست می‌آیند. از تعادل نیروها در امتداد عمود بر نیروهای  $F_{AB}$  و  $F_{BC}$  حاصل می‌شود.

فشاری  $F_{BG} \cos 30 - 4 \cos 30 = 0 : F_{BG} = 4 \text{ kN}$

فشاری  $\rightarrow \sum F_x = 0 : 8 \cos 30 - F_{BC} \cos 30 - F_{BG} \cos 30 = 0 : F_{BC} = 4 \text{ kN}$

بالاخره با نوشتن معادلات تعادل اتصال  $C$  نیروی  $F_{CG}$  بدست می‌آید.

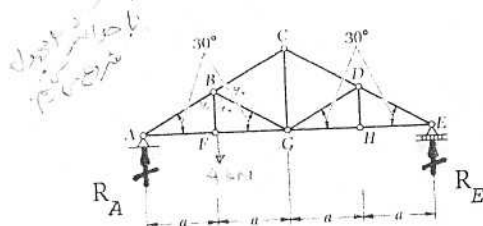
کششی  $- \uparrow \sum F_y = 0 : F_{CG} - 4 \cos 60 - 4 \cos 60 = 0 : F_{CG} = 4 \text{ kN}$



حل: پیدا کردن اتصالاتی از خرپا که تحت شرایط بار گذاری ویژه هستند تحلیل خرپاها را آسان می‌کند. از بررسی مفصل  $C$  نتیجه می‌شود که عضو  $BC$  بدون نیرو می‌باشد. از بررسی مفصل  $K$  مشاهده می‌شود که عضو  $JK$  بدون نیرو است. بالاخره با در نظر گرفتن تعادل مفصل  $J$  نتیجه می‌شود که عضو  $IJ$  نیز بدون نیرو می‌باشد.

مثال ۱-۲

نیروهای داخلی خرپای شکل ۲۳-۱ را با استفاده از روش مفاصل تعیین کنید.



شکل ۱-۲۳

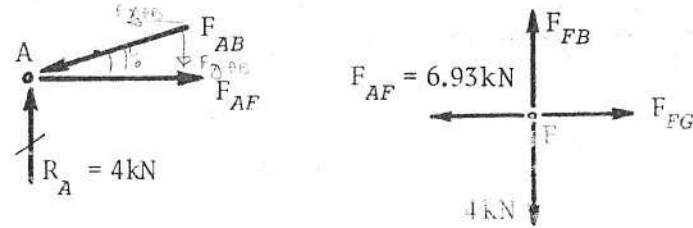
حل: بعلت تقارن کافی است فقط نصف خرپا را در نظر بگیریم. از تعادل خرپا در امتداد قائم واکنش‌های  $R_A$  و  $R_E$  بدست می‌آیند.

$R_A = R_E = 4 \text{ kN}$

با نوشتن معادلات تعادل اتصال  $A$  نیروهای  $F_{AF}$  و  $F_{AB}$  بدست می‌آیند.

فشاری  $+ \uparrow \sum F_y = 0 : 4 - F_{AB} \cos 60 = 0 : F_{AB} = 8 \text{ kN}$

کششی  $\rightarrow \sum F_x = 0 : F_{AF} - F_{AB} \cos 30 = 0 : F_{AF} = 6.93 \text{ kN}$



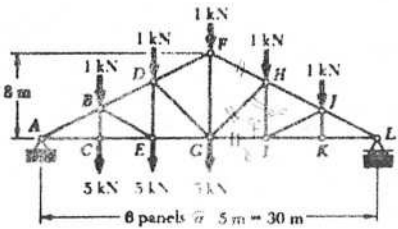
نمودار جسم آزاد مفصل A

نمودار جسم آزاد مفصل F

سعی شود که هر مقطع بیش از سه عضو را قطع نکند چه در غیر این صورت معمولاً نمی‌توان نیروهای داخلی اعضاء بریده شده را فقط با یک مقطع بدست آورد ( زیرا در صفحه فقط سه معادله تعادل موجود می‌باشد که بوسیله آنها می‌توان سه مجهول را پیدا کرد ) .

مثال ۱-۳

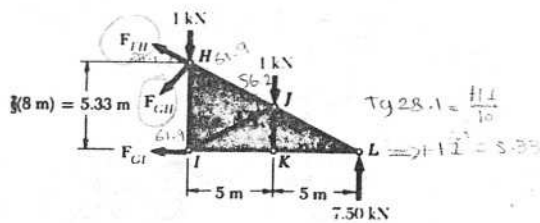
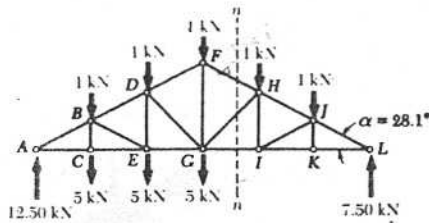
نیروهای عضوهای FH ، GH ، و GI خرابی شکل ۲۵-۱ را بدست آورید .



شکل ۱-۲۵

حل : مقطع n-n مطابق شکل زیر از خرپا عبور داده می‌شود . قسمت سمت راست خرپا ( قسمت HLI ) به عنوان جسم آزاد در نظر گرفته می‌شود . ولی واکنش تکیه گاه L (  $R_L$  ) را باید با در نظر گرفتن تعادل لنگری تمام خرپا حول نقطه A بدست آورد .

$$\sum M_A = 0 : R_L = 7.50 \text{ kN}$$



بعلت تقارن خرپا و بار گذاری می‌توانیم نیروهای داخلی سایر اعضاء خرپا را بدون محاسبه تعیین کنیم .

کششی  $F_{GH} = 6.93 \text{ kN}$  فشاری  $F_{GD} = 4 \text{ kN}$

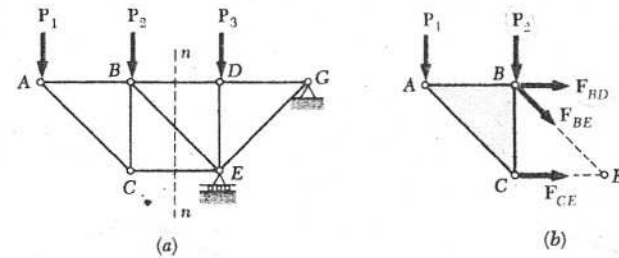
فشاری  $F_{DE} = 8 \text{ kN}$  کششی  $F_{DH} = 4 \text{ kN}$   
کششی  $F_{EH} = 6.93 \text{ kN}$

در محاسبه خرپاها هر گاه کمیت بدست آمده برای یک نیرو منفی باشد جهت فرض شده برای آن نیرو باید عوض شود .

۴-۱-۱ تحلیل خرپاهای ایزواستاتیک با روش مقاطع

معمولاً روش مفاصل وقتی مفید است که نیروهای داخلی تمام اعضاء خرپا مطلوب باشد . ولی اگر فقط نیروهای داخلی یک یا چند عضو خرپا مطلوب باشد با روش مقاطع می‌توان سریع تر به جواب رسید .

فرض کنیم بخواهیم نیروی داخلی عضو BD خرابی شکل ۲۴-۱ را تعیین کنیم . در روش مقاطع با مقطعی مانند n-n که عضو BD را قطع می‌کند خرپا را به دو قسمت تقسیم می‌کنیم و نمودار جسم آزاد قسمت ABC خرابی را مطابق شکل ۲۴ b-۱ رسم می‌کنیم . در روی نمودار جسم آزاد مزبور سه مجهول  $F_{BD}$  ،  $F_{BE}$  و  $F_{CE}$  مشاهده می‌شود . چون فقط نیروی داخلی عضو BD مطلوب است با نوشتن معادله تعادل لنگری حول نقطه E نیروی  $F_{BD}$  مستقیماً بدست می‌آید . توجه کنید در روش مقاطع باید



شکل ۱-۲۴

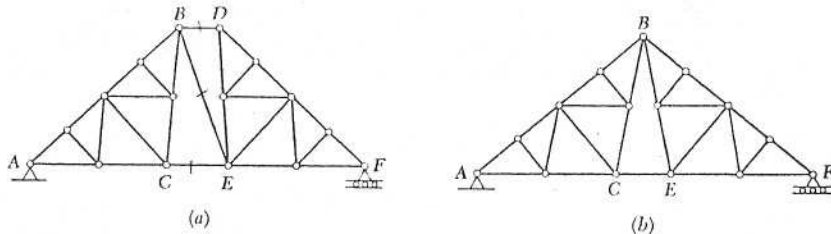


۵-۸-۱ خرپاهای مرکب و پایداری خرپاهای

دو خرپای ساده ABC و DEF (شکل ۲۶-۱) را در نظر بگیرید. اگر دو خرپای مزبور بوسیله سه میله BD، BE و CE به یکدیگر متصل شوند خرپای پایدار شکل ۲۶-۱ بدست می آید. خرپاهای ABC و DEF را همچنین می توان با وصل کردن مفصل های B و D به یکدیگر و متصل کردن مفصل های C و E با میله CE با یکدیگر ترکیب نمود (شکل ۲۶-۱ b). خرپایی که بدین ترتیب بدست می آید به خرپای فینک موسوم است. خرپاهای شکل های ۲۶-۱ a و ۲۶-۱ b خرپاهای ساده نمی باشند زیرا نمی توان آنها را از یک خرپای مثلثی با اضافه نمودن متوالی اعضا به صورت دو بدو مطابق آنچه که در بخش ۲-۸-۱ شرح داده شد بدست آورد. اما خرپاهای مزبور خرپاهای پایداری هستند. خرپاهایی که از بهم پیوستن چند خرپای ساده ساخته می شوند به خرپاهای مرکب موسوم می باشند.

بین تعداد عضوهای یک خرپای مرکب و تعداد مفصل های آن همان رابطه  $m = 2n - 3$  برقرار است. خرپاهای مرکبی که بوسیله یک تکیه گاه مفصلی و یک تکیه گاه غلطکی (یا بوسیله یک سیستم معادل تکیه گاهها) تحمل می شوند خرپاهای ایزو استاتیک می باشند و نیروهای داخلی آنها را می توان مستقیماً از معادلات تعادل به دست آورد.

حال فرض کنید خرپاهای ABC و DEF بوسیله چهار میله BD، BE، CE و CD (شکل ۲۷-۱) به یکدیگر متصل شده باشند. تعداد اعضاء m در این صورت از  $2n - 3$  بزرگتر است. تعداد مجهولات خرپای مزبور از  $2n$  معادله تعادل مستقل موجود بیشتر می باشد و در نتیجه خرپا به طور استاتیکی نامعین و هیبر استاتیک است. اکنون فرض کنید دو خرپای ساده ABC و DEF مطابق شکل ۲۸-۱ فقط در



شکل ۲۶-۱

از تعادل لنگری قسمت HLI خرپا حول نقطه H کمیت  $F_{GI}$  بدست می آید.

$$\sum M_H = 0 \quad (7.5)(10) - (1)(5) - F_{GI}(5.33) = 0 \quad F_{GI} = 13.13 \text{ kN کششی}$$

۲. نیروی  $F_{FH}$  با نوشتن معادله تعادل لنگری حول نقطه G بدست می آید. نیروی  $F_{FH}$  را در امتداد خط اثرش به نقطه F منتقل و در آنجا به دو مؤلفه در امتداد افق و قائم تجزیه می کنیم. در این صورت لنگر  $F_{FH}$  حول نقطه G برابر  $(F_{FH} \cos \alpha)(8)$  می باشد.

$$\sum M_G = 0 \quad (7.5)(15) - (1)(10) - (1)(5) + (F_{FH} \cos \alpha)(8) = 0$$

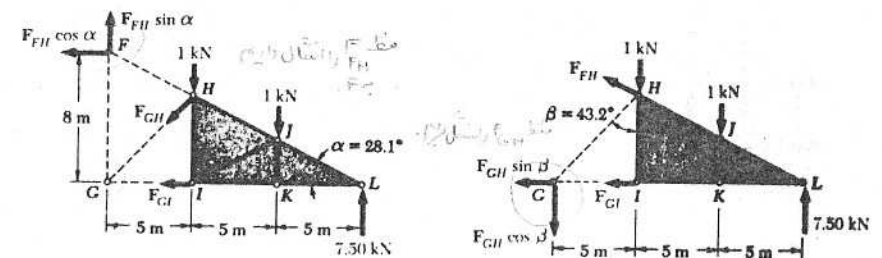
$$F_{FH} = -13.82 \text{ kN فشاری}$$

۳. برای تعیین نیروی  $F_{GH}$  ابتدا آن را در امتداد اثرش به نقطه G منتقل و در آنجا به دو مؤلفه افقی و قائم تجزیه می کنیم. از نوشتن معادله تعادل لنگری حول نقطه L نیروی  $F_{GH}$  بدست می آید.

$$\sum M_L = 0$$

$$(1)(10) + (1)(5) + (F_{GH} \cos \beta)(15) = 0 \quad F_{GH} = ?$$

$$F_{GH} = -1.37 \text{ kN فشاری}$$



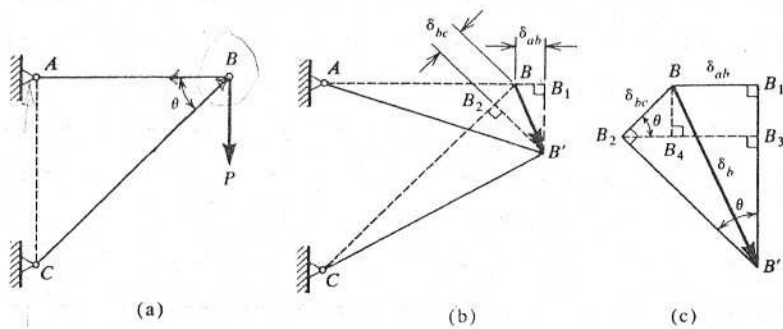
تمام نیروهای لنگری می باشند  $F_{GH}$  را می توانیم از معادله تعادل لنگری حول نقطه L بدست آوریم.

۱-۹ تغییر شکل خرپاهای ایزواستاتیک

برای تعیین کردن تغییر مکان مفصل‌های خرپاهای ساده ابتدا باید نیروهای داخلی اعضاء آن را تعیین نمود. سپس با استفاده از رابطه  $1-12$  از دیاد یا کاهش طول هر یک از اعضاء را می‌توان محاسبه نمود. با داشتن تغییر طول اعضاء تغییر مکان مفصل‌های خرپا با استفاده از هندسه بدست می‌آید. برای نشان دادن روش ترسیمی تعیین تغییر شکل خرپاها به ذکر مثالی می‌پردازیم.

مثال ۱-۴

تغییر مکان اتصال B خرپای شکل a ۱-۲۹ را بدست آورید.



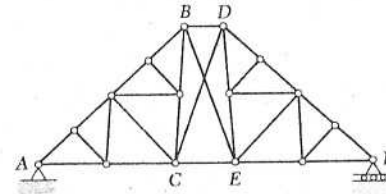
شکل ۱-۲۹

حل: نیروهای  $F_{BC}$  و  $F_{AB}$  در دو عضو خرپا از معادلات تعادل مفصل B بدست می‌آیند.

$$F_{AB} = P \cot \theta \quad F_{BC} = \frac{P}{\sin \theta}$$

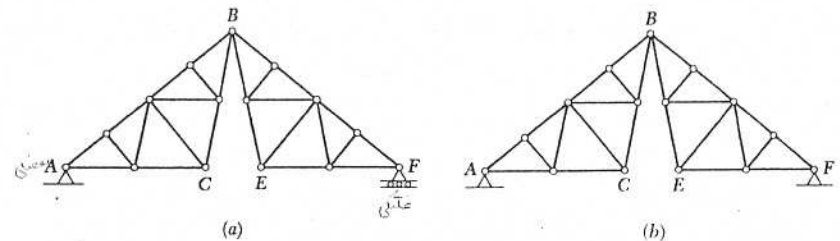
نیروی کششی و نیروی فشاری  $F_{BC}$  تغییر طول میله‌ها عبارتند از

$$\left. \begin{aligned} m+3 < 2n \\ m+3 = 2n \\ m+3 > 2n \end{aligned} \right\} \begin{aligned} \text{پارامتری (استاتیک)} \\ \text{ایزواستاتیک} \\ \text{هایپر استاتیک} \end{aligned}$$



شکل ۱-۲۷

مفصل B به یکدیگر متصل باشند. در این حالت تعداد اعضاء  $m$  کوچکتر از  $2n - 3$  می‌باشد. اگر خرپا در نقطه A بوسیله تکیه گاه مفصلی و در نقطه B بوسیله تکیه گاه غلطکی نگهداری شود تعداد کل مجهولات  $m + 3$  می‌باشد. این عدد کوچکتر از تعداد  $2n$  معادلات تعادل می‌باشد که باید قانع گردند. در نتیجه خرپا نا پایدار است و تحت وزن خودش فرو خواهد ریخت. اما اگر هر دو تکیه گاه مفصلی باشند (شکل b ۱-۲۸) خرپا پایدار می‌شود و دیگر فرو نخواهد ریخت. توجه می‌کنیم که در این حالت تعداد کل مجهولات  $m + 4$  می‌باشد که برابر با تعداد معادلات است. در حالی که شرط مساوی بودن تعداد مجهولات با تعداد معادلات تعادل موجود (یا بیشتر بودن تعداد مجهولات از تعداد معادلات موجود) شرط لازم برای پایداری خرپاهاست شرط کافی برای پایداری آنها نمی‌باشد. با متصل کردن دو خرپای ساده به یکدیگر به وسیله سه میله غیر موازی و غیر متقارب یک خرپای پایدار حاصل می‌شود. اما اگر سه میله مزبور موازی و یا متقارب باشند خرپا نا پایدار خواهد بود.

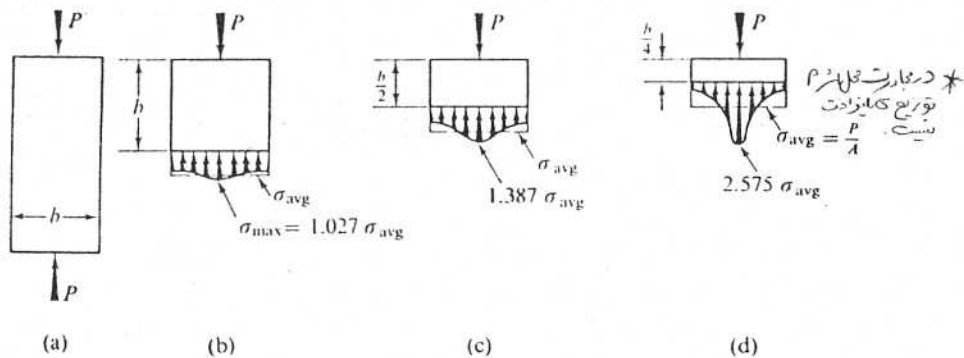


شکل ۱-۲۸

نمودارهای تغییر مکان از نوع نمودار شکل C ۲۹-۱ وسیله مهمی برای تعیین تغییر شکل خرابها می باشد. این نمودارها به نام ویلیوت<sup>۱</sup> مهندس فرانسوی خوانده می شوند.

۱-۱۰ تمرکز تنش

معادله 1-1 که در مقاومت مصالح برای تعیین تنش در میله های با بار گذاری محوری بکار می رود در مجاورت محل اثر بار وارده جواب دقیق نمی دهد. توزیع تنش در مجاورت محل اثر بار را می توان به کمک تئوری ارتجاعی بدست آورد (مرجع 26). در شکل a ۳۰-۱ بلوک کوتاهی تحت اثر بارهای محوری متمرکز P می باشد. توزیع تنش در عرض بلوک در مجاورت دو انتهای بلوک در شکل های b ۳۰-۱ و c ۳۰-۱ و d ۳۰-۱ رسم شده است. چنانکه مشاهده می شود در مجاورت محل اثر بار متمرکز توزیع تنش در عرض بلوک یکنواخت نمی باشد ولی هر چه از انتهای بلوک دور شویم توزیع تنش به توزیع یکنواخت نزدیکتر می گردد. در شکل ۳۰-۱ کمیت  $\sigma_{avg}$  تنش متوسط یا  $P/A$  می باشد.



شکل ۳۰-۱

1- Williot.

$$\delta_{ab} = \frac{PL_{ab} \cot \theta}{EA_{ab}} \quad (\text{ازدیاد طول})$$

$$\delta_{bc} = \frac{PL_{bc}}{EA_{bc} \sin \theta} \quad (\text{کاهش طول})$$

\* تغییر مکان مفصل B

برای پیدا کردن تغییر مکان اتصال B ابتدا فرض می کنیم میله AB به اندازه  $\delta_{ab}$  اضافه طول پیدا کند به طوری که انتهایش به نقطه  $B_1$  منتقل شود (شکل b ۲۹-۱). سپس قوسی به مرکز A و شعاع  $AB_1$  رسم می کنیم. چون تغییر مکان نقطه B خیلی کوچک است قوس مزبور را می توان با خطی که در  $B_1$  بر امتداد AB عمود باشد جایگزین نمود. همین طور فرض می شود که عضو BC به اندازه  $\delta_{bc}$  کاهش طول پیدا کند به طوری که انتهایش به نقطه  $B_2$  منتقل شود. سپس قوسی به مرکز C و شعاع  $CB_2$  رسم می کنیم. این قوس نیز با خطی که در  $B_2$  بر امتداد  $\overrightarrow{CB_2}$  عمود باشد جایگزین می گردد. دو خط عمود یکدیگر را در نقطه  $B'$  قطع می کنند که محل نهایی اتصال B خراب است. بدین ترتیب بردار  $\overrightarrow{BB'}$  معرف تغییر مکان  $\delta_b$  اتصال B خراب می باشد.

نمودار تغییر مکان شکل b ۲۹-۱ با مقیاس بزرگتری در شکل c ۲۹-۱ رسم شده است. از این شکل نتیجه می شود که مؤلفه افقی  $\delta_b$  برابر  $\delta_{ab}$  می باشد و مؤلفه قائم آن از دو قسمت  $B_1B_3$  و  $B_3B'$  تشکیل شده است. فاصله  $B_1B_3$  که همان فاصله  $BB_4$  است برابر با  $\delta_{bc} \sin \theta$  می باشد. طول  $B_3B'$  را می توان از مثلث  $B_2B_3B'$  که ضلع  $B_2B_3$  آن برابر  $\delta_{bc} \cos \theta + \delta_{ab}$  می باشد به دست آورد بدین ترتیب مؤلفه قائم تغییر مکان  $\delta_b$  مساوی می شود با

$$B_1B' = \delta_{bc} \sin \theta + (\delta_{bc} \cos \theta + \delta_{ab}) \cot \theta = \frac{\delta_{bc}}{\sin \theta} + \delta_{ab} \cot \theta$$

با داشتن مؤلفه های افقی و قائم تغییر مکان اتصال B تغییر مکان  $\delta_b$  این اتصال به سهولت بدست می آید.

$$\delta_b = \sqrt{(BB_1)^2 + (B_1B')^2}$$

تخمین: \* در زیر بارهای متمرکز، مقدار تنش متمرکز زیاد است. تنش بیشتر تنش متوسط است.

۳۸

بنابراین در نزدیکی بار P (شکل ۳۰d-۱) تنش حداکثر در مقطع خیلی بیشتر از تنش متوسط می باشد. این پدیده به "تمرکز تنش" موسوم است. به طور کلی در زیر بارهای متمرکز همواره تنش متمرکز می گردد. اما اگر از دو انتهای بلوک دور شویم توزیع تنش تقریباً یکنواخت بوده و مقدار آن را با تقریب خوب می توان از معادله 1-1 بدست آورد.

۱-۱۱ مسائل حل شده

مسئله ۱-۱

سیم درازی به طور قائم تحت وزن خودش آویزان است. بیشترین طولی که سیم بدون پاره شدن می تواند داشته باشد چقدر است اگر:  
الف - جنس سیم فولاد با تنش نهائی  $21000 \text{ Kg/cm}^2$  باشد.  
ب - جنس سیم الومینیوم با تنش نهائی  $3500 \text{ Kg/cm}^2$  باشد.  
وزن واحد حجم فولاد  $7.86 \text{ g/cm}^3$  و وزن واحد حجم الومینیوم  $2.72 \text{ g/cm}^3$  می باشد.

حل: هرگاه سیمی به طول L، وزن مخصوص  $\gamma$ ، سطح مقطع A و وزن W تحت وزن خودش آویزان باشد بیشترین تنش در آن در انتهای فوقانی آن خواهد بود که برابر است با

$$\sigma_{\max} = \frac{W}{A} = \frac{\gamma AL}{A} = \gamma L$$

اگر تنش نهایی فلز سیم  $\sigma_u$  باشد ماکزیمم طول سیم بدون اینکه پاره شود از رابطه زیر بدست می آید:

$$L_{\max} = \frac{\sigma_u}{\gamma}$$

۳۹

برای سیم فولادی:  $L_{\max} = \frac{21000 \times 1000}{7.86 \times 100} = 26717 \text{ m}$

برای سیم الومینیومی:  $L_{\max} = \frac{3500 \times 1000}{2.72 \times 100} = 12868 \text{ m}$

مسئله ۱-۲

در میله توپری با مقطع دایره و به قطر  $d=3.8 \text{ cm}$  سوراخ کوچکی مطابق شکل ۳۱-۱ در مرکز آن وجود دارد. قطر سوراخ  $\frac{d}{4}$  می باشد. با فرض اینکه تنش مجاز کششی روی سطح مقطع خالص میله در جایی که سوراخ وجود دارد  $\sigma_w = 700 \text{ Kg/cm}^2$  باشد حداکثر بار کششی مجاز P را که میله می تواند تحمل کند تعیین کنید.

حل: مساحت سطح یک قطعه دایره به شعاع R که زاویه مقابل آن  $\theta$  باشد از رابطه زیر بدست می آید:

$$A_s = \frac{1}{2} R^2 (\theta - \sin\theta)$$

با توجه به شکل می توانیم زاویه  $\theta$  را به صورت زیر محاسبه کنیم:

$$\cos \frac{\theta}{2} = \frac{\frac{d}{8}}{\frac{d}{2}} = 0.25 \quad ; \quad \theta = 2.636 \text{ rad}$$

$$A = 2A_s = \frac{d^2}{4} (\theta - \sin\theta) = \frac{3.8^2}{4} (2.636 - 0.484) = 7.77 \text{ cm}^2$$

$$P_w = A\sigma_w = 7.77(700) = 5439 \text{ Kg}$$

$$\int_0^L \frac{dF r}{AE} \quad \left\{ \begin{array}{l} dF = dm r \omega^2 \\ dm = \gamma dy \\ d\omega = \gamma A dr \end{array} \right. \quad \begin{array}{l} F = m r \omega^2 \\ m = \frac{W}{g} \\ \omega = \gamma A L \end{array}$$

۴۱

نیروی گریز از مرکز وارد بر جرم  $dm$  میله که در فاصله  $r$  از محور دوران قرار دارد برابر است با

$$dF = dm r \omega^2$$

از دیاد طول میله در اثر این نیروی جزئی مساوی است با

$$d\delta_2 = \frac{dF r}{AE}$$

در نتیجه تغییر مکان  $\delta_2$  از انتگرال زیر بدست می آید: (وزن مخصوص میله  $\gamma =$ )

$$\delta_2 = \int_0^L \frac{rdF}{AE} = \frac{\omega^2}{AE} \int_0^L r^2 dm = \frac{\omega^2}{AE} \int_0^L r^2 \gamma A dr$$

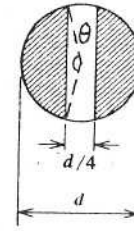
$$= \frac{\omega^2 \gamma A L^3}{3g AE}$$

$\delta_2$  را بر حسب وزن میله  $W_1 = \gamma AL$  می نویسیم.

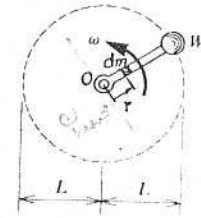
$$\delta_2 = \frac{\omega^2 L^2 W_1}{3g AE}$$

$$\delta = \frac{\omega^2 L^2}{3g AE} (W_1 + 3W)$$

۴۰



شکل ۱-۳۱



شکل ۱-۳۲

مسئله ۱-۳ ✓

میله‌ای به طول  $L$  با سرعت زاویه‌ای  $\omega$  در یک صفحه افقی حول یک محور قائم دوران می‌کند. میله دارای سطح مقطع  $A$  و وزن  $W_1$  می‌باشد. وزنه‌ای به وزن  $W$  به انتهای میله متصل شده است. از دیاد طول کل میله را در اثر نیروهای گریز از مرکز پیدا کنید. ضریب ارتجاعی میله را  $E$  فرض کنید (شکل ۱-۳۲).

حل: فرض می‌کنیم  $\delta_1$  از دیاد طول میله در اثر نیروی گریز از مرکز وارد بر وزنه و  $\delta_2$  از دیاد طول میله در اثر نیروی گریز از مرکز وارد بر خود میله باشد. در این صورت از دیاد طول کل میله در اثر نیروهای گریز از مرکز برابر خواهد بود با

$$\delta = \delta_1 + \delta_2$$

نیروی گریز از مرکز وارد بر وزنه  $W$  از رابطه زیر بدست می‌آید ( $g$  شتاب ثقل می‌باشد):

$$F = \frac{W}{g} L \omega^2$$

$$\delta_1 = \frac{FL}{AE} = \frac{W \omega^2 L^2}{g AE}$$

بنابراین  $m L \omega^2 = F$

۴۳

در این رابطه  $A$  سطح مقطع ستون در فاصله  $x$  از انتهای فوقانی ستون می باشد. از حل معادله دیفرانسیل فوق  $A$  بدست می آید.

$$\frac{dA}{A} = \frac{\gamma}{\sigma_w} dx$$

$$\ln A = \frac{\gamma}{\sigma_w} x + C \quad (1)$$

ثابت انتگرال گیری  $C$  از شرط حدی در انتهای فوقانی ستون محاسبه می شود. در بالای ستون سطح لازم برابر است با

$$A_t = \frac{P}{\sigma_w} \quad (\text{در } x = 0)$$

بنابراین  $C = \ln \frac{P}{\sigma_w}$  بدست می آید که آن را در معادله (1) قرار می دهیم.

$$\ln A = \frac{\gamma}{\sigma_w} x + \ln \frac{P}{\sigma_w} \quad \ln \frac{\sigma_w}{P} A = \frac{\gamma}{\sigma_w} x$$

$$\frac{\sigma_w}{P} A = e^{\frac{\gamma}{\sigma_w} x} \quad ; \quad A = \frac{P}{\sigma_w} e^{\frac{\gamma}{\sigma_w} x} \quad (2)$$

$$\pi r^2 = \frac{P}{\sigma_w} e^{\frac{\gamma x}{\sigma_w}} \quad ; \quad r = \left( \frac{P}{\pi \sigma_w} e^{\frac{\gamma x}{\sigma_w}} \right)^{\frac{1}{2}} \quad \text{شعاع}$$

$$G = \frac{W}{A}$$

معمولاً  $G$

در این رابطه  $A$  : سطح مقطع

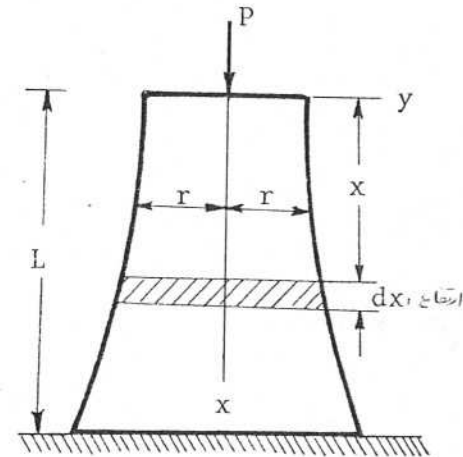
۴۲

مسئله ۱-۴

معادله ای برای شعاع  $r$  ستونی با مقطع دایره بدست آورید به طوریکه حجم آن حداقل باشد. ستون تحت اثر بار  $P$  در بالا و همچنین وزن خود می باشد. ستون از ماده ای با وزن واحد حجم  $\gamma$  و تنش مجاز فشاری  $\sigma_w$  تشکیل شده است. مساحت سطح مقطع ستون در بالا و پایین و حجم ستون را نیز حساب کنید (شکل ۱-۳۳).

حل: قسمتی از ستون به ارتفاع  $dx$  را که به فاصله  $x$  از انتهای فوقانی ستون قرار دارد در نظر می گیریم. حجم ستون موقعی حداقل خواهد بود که از مصالح حداکثر استفاده بشود به عبارت دیگر تنش در همه مقاطع باید یکسان و برابر تنش مجاز  $\sigma_w$  باشد. در این صورت اختلاف  $dA$  بین مساحت سطح مقطع پایین و بالای ستون به ارتفاع  $dx$  باید چنان باشد که اختلاف نیروی فشاری از بالا تا پایین جزء ستون را که خود برابر با وزن جزء است جبران کند.

$$\sigma_w dA = \gamma A dx$$



شکل ۱-۳۳

۴۵

$$\uparrow \Sigma F_y = 0 \quad F_{CB} \sin\theta = P \quad : \quad F_{CB} = \frac{P}{\sin\theta}$$

$$\rightarrow \Sigma F_x = 0 \quad F_{CB} \cos\theta - F_{AB} = 0 \quad : \quad F_{AB} = P \cot\theta$$

سطح مقطع لازم هر یک از میله‌ها با تقسیم نمودن نیرو در میله بر تنش مجاز  $\sigma_w$  بدست می‌آید.

$$A_{AB} = \frac{F_{AB}}{\sigma_w} = \frac{P \cot\theta}{\sigma_w} \quad : \quad \text{سطح مقطع لازم برای میله AB}$$

$$A_{CB} = \frac{F_{CB}}{\sigma_w} = \frac{P}{\sigma_w \sin\theta} \quad : \quad \text{سطح مقطع لازم برای میله CB}$$

$$V = L A_{AB} + \frac{L}{\cos\theta} A_{CB} = \frac{PL}{\sigma_w} \left( \cot\theta + \frac{1}{\sin\theta \cos\theta} \right) \quad : \quad \text{حجم خرپا}$$

وزن خرپا وقتی حداقل می‌باشد که حجم آن حداقل باشد.

$$\frac{dV}{d\theta} = 0 \quad : \quad -\frac{1}{\sin^2\theta} - \frac{\cos^2\theta - \sin^2\theta}{\sin^2\theta \cos^2\theta} = 0$$

$$-\cos^2\theta - \cos^2\theta + \sin^2\theta = 0 \quad : \quad \cos^2\theta = \frac{1}{3}, \quad \theta = 55^\circ$$

درین صورت  $\theta = 55^\circ$  و  $\cos^2\theta = \frac{1}{3}$  و  $\sin^2\theta = \frac{2}{3}$  و  $\sin\theta = \sqrt{\frac{2}{3}}$  و  $\cos\theta = \frac{1}{\sqrt{3}}$

۴۴

حال از معادله (2) می‌توانیم مساحت سطح مقطع ستون در پایین ستون را حساب کنیم. کافی است در این معادله به جای  $x$  مقدار  $L$  طول ستون را قرار دهیم.

$$A_b = \frac{P}{\sigma_w} e^{\frac{\gamma L}{\sigma_w}}$$

حجم ستون به صورت زیر حساب می‌شود:

$$V = \int_0^L \pi r^2 dx = \frac{P}{\sigma_w} \int_0^L e^{\frac{\gamma}{\sigma_w} x} dx = \frac{P}{\sigma_w} \frac{\sigma_w}{\gamma} e^{\frac{\gamma}{\sigma_w} x} \Big|_0^L$$

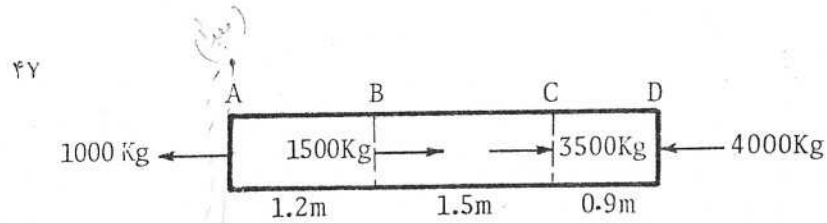
$$V = \frac{P}{\gamma} (e^{\frac{\gamma L}{\sigma_w}} - 1)$$

مسئله ۱-۵ ✓

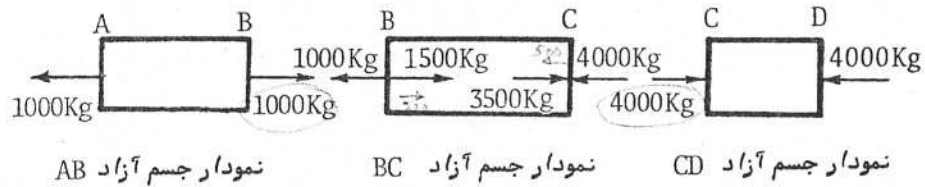
نکته: اگر  $\gamma$  را در دست آوریم در  $V$  حاصل می‌شود

خرپای شکل ۱-۳۴ از دو عضو AB و BC تشکیل شده است که طول عضو AB برابر  $L$  و ثابت می‌باشد. این خرپا بار قائم  $P$  را در اتصال B باید حمل کند. تکیه‌گاه C را می‌توان در امتداد قائم حرکت و زاویه  $\theta$  را تغییر داد. با فرض اینکه تنش‌های مجاز فشاری و کششی مصالح مصرفی در خرپا یکسان باشند زاویه  $\theta$  را چنان تعیین کنید که وزن خرپای مزبور حداقل باشد.

حل: از نوشتن معادلات تعادل مفصل B نیروی  $F_{AB}$  در عضو AB و نیروی  $F_{CB}$  در عضو CB بدست می‌آیند.



شکل ۳۵-۱



نمودار جسم آزاد AB

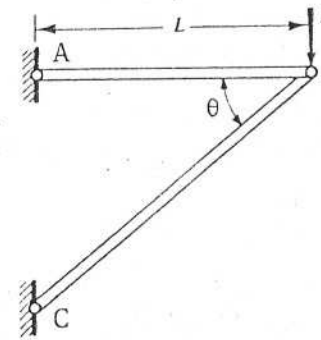
نمودار جسم آزاد BC

نمودار جسم آزاد CD

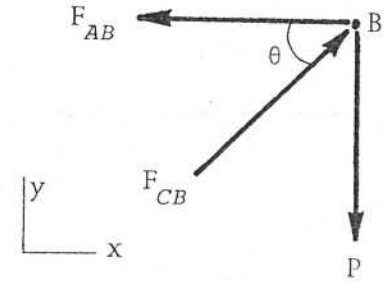
قسمت	$P_i$ Kg	$L_i$ m	$P_i L_i$ Kg m
AB	۱۰۰۰	۱/۲	۱۲۰۰
BC	-۵۰۰	۱/۵	-۷۵۰
CD	-۴۰۰۰	۰/۹	-۳۶۰۰
مجموع			-۳۱۵۰

$$\delta = \frac{1}{EA} \sum_{i=1}^3 P_i L_i = \frac{(-3150)(100)}{(700000)(1.6)} = -0.28 \text{ cm} \quad (\text{کاهش طول})$$

۴۶



شکل ۳۴-۱



نمودار جسم آزاد مفصل B

مسئله ۱-۶ ✓

یک میله الومینیومی با سطح مقطع  $1.6 \text{ cm}^2$  بارهای محوری نشان داده شده در شکل ۳۵-۱ را حمل می‌کند. اگر ضریب ارتجاعی الومینیوم  $E = 700000 \text{ Kg/cm}^2$  باشد تغییر شکل کل میله را تعیین کنید.

حل: تغییر شکل میله از رابطه زیر بدست می‌آید:

$$\delta = \sum_{i=1}^3 \frac{P_i L_i}{A_i E_i} = \frac{1}{AE} \sum_{i=1}^3 P_i L_i$$

برای تعیین نیروهای محوری در قسمت‌های AB، BC و CD نمودارهای جسم آزاد را برای این ۳ قسمت رسم می‌کنیم.



۴۹  $P_x$  در تمام طول میله ثابت و برابر  $P$  می باشد (از وزن میله صرف نظر می شود).

$$A_x = (\overline{AD}) t = (2\overline{AB} + \overline{BC}) t = (2\overline{AB} + b_2) t$$

$$\frac{\overline{AB}}{b_1 - b_2} = \frac{L - x}{L} \quad ; \quad \overline{AB} = \frac{b_1 - b_2}{2L} (L - x)$$

$$A_x = \left[ \frac{b_1 - b_2}{L} (L - x) + b_2 \right] t = t \left[ b_1 - \frac{b_1 - b_2}{L} x \right]$$

$$\delta = \frac{P}{Et} \int_0^L \frac{dx}{b_1 - \frac{b_1 - b_2}{L} x} = \frac{P}{Et} \left( -\frac{L}{b_1 - b_2} \right) \left[ \ln \left( b_1 - \frac{b_1 - b_2}{L} x \right) \right]_0^L$$

$$\delta = \frac{PL}{Et(b_1 - b_2)} \ln \frac{b_1}{b_2}$$

مسئله ۸-۱ ✓

در مسئله قبل رابطهای برای اضافه حجم  $\Delta V$  میله پیدا کنید.

حل: با توجه به مسئله قبل کرنش جزء کوچکی از میله به طول  $dx$  که فاصله  $x$  از انتهای فوقانی (شکل ۳۶-۱) قرار دارد برابر است با

$$\epsilon_x = \frac{d\delta}{dx} = \frac{P}{EA_x}$$

مسئله ۷-۱ ✓

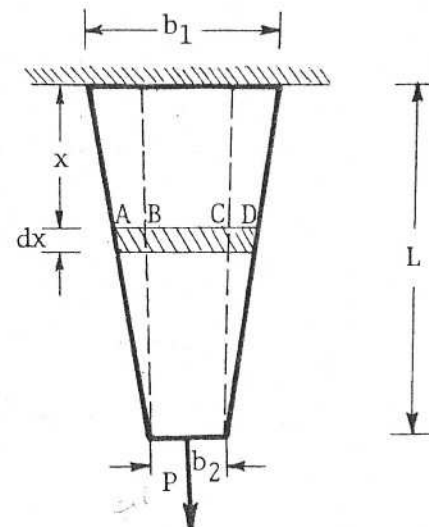
یک میله غیر منشوری با مقطع مستطیل و ضخامت ثابت  $t$  که عرض آن به طور خطی از مقدار  $b_1$  در تکیه گاه تا مقدار  $b_2$  در انتهای آزاد آن تغییر می کند بار  $P$  را تحمل می نماید. رابطهای برای ازدیاد طول میله تحت بار  $P$  بدست آورید (شکل ۳۶-۱).

حل: ازدیاد طول قسمتی از میله به طول  $dx$  که به فاصله  $x$  از انتهای فوقانی قرار دارد از رابطه زیر بدست می آید:

$$d\delta = \frac{P_x dx}{EA_x}$$

در این رابطه  $A_x$  سطح مقطع میله در فاصله  $x$  از تکیه گاه و  $P_x$  نیروی محوری در قسمت مورد نظر می باشد. بنابراین ازدیاد طول کل میله از رابطه زیر بدست می آید:

$$\delta = \int_0^L \frac{P_x dx}{EA_x}$$



شکل ۳۶-۱

۵۱

$$\text{کاهش ضخامت کل} = 2 \int_0^{0.8r} \frac{W dx}{\pi E (r^2 - x^2)} = \frac{2W}{\pi E} \left[ \frac{1}{2r} \ln \frac{r+x}{r-x} \right]_0^{0.8r}$$

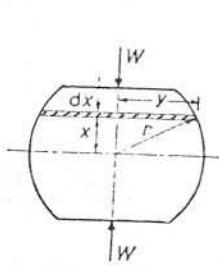
$$= \frac{W}{\pi r E} [ \ln 9 - \ln 1 ] = \frac{2.197W}{\pi r E}$$

مسئله ۱-۱۰

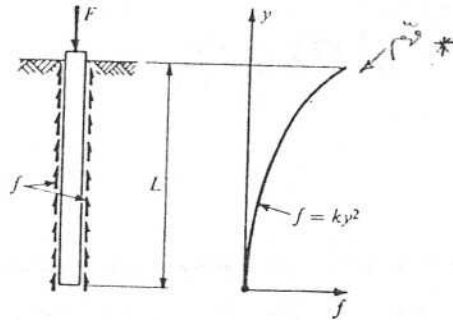
یک شمع چوبی با مقطع یکنواخت و به طول  $L$  در خاک رس کوبیده شده است و بار  $F$  را در بالای شمع حمل می‌کند. تمام این بار بوسیله نیروی اصطکاکی  $f$  (در واحد طول) در طول شمع مقاومت می‌شود که تغییرات آن مطابق شکل ۱-۳۸ به صورت یک سهمی می‌باشد. تعیین کنید:

الف - کاهش طول کل شمع را بر حسب  $F$ ،  $L$ ،  $A$  (سطح مقطع شمع) و  $E$  (ضریب ارتجاعی چوب).

ب - اگر  $F = 43600 \text{ Kg}$ ،  $L = 12 \text{ m}$ ،  $A = 645 \text{ cm}^2$  و  $E = 105000 \text{ Kg/cm}^2$  باشد مقدار عددی کوتاه شدن شمع مزبور را.



شکل ۱-۳۷



شکل ۱-۳۸

$$\epsilon = \frac{\Delta l}{l} = \frac{\Delta V}{V}$$

۵۰

اضافه حجم جزء مزبور با استفاده از رابطه ۱-۱۴ محاسبه می‌شود.

$$d(\Delta V) = \epsilon_x (1-2\nu) dV = \frac{P}{EA_x} (1-2\nu) A_x dx = \frac{P(1-2\nu)}{E} dx$$

بنابراین اضافه طول کل میله از انتگرال زیر بدست می‌آید:

$$\Delta V = \int_0^L \frac{P(1-2\nu)}{E} dx = \frac{P(1-2\nu)}{E} \int_0^L dx = \frac{PL}{E} (1-2\nu)$$

مسئله ۱-۹

یک گوی فولادی به شعاع  $r$  مطابق شکل ۱-۳۷ تراش داده شده است بطوریکه بالا و پایین آن مسطح گردیده است و ضخامت آن در امتداد قائم  $1.6r$  می‌باشد. کاهش ضخامت جسم مزبور را موقعی که یک بار محوری  $W$  در بالای آن وارد می‌شود حساب کنید.

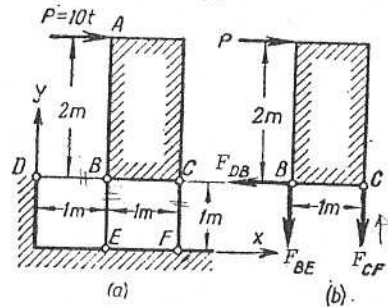
حل: جزئی از جسم مزبور را که در شکل با هاشور نشان داده شده است در نظر می‌گیریم.

$$\text{مساحت مقطع جزء} = \pi y^2 = \pi (r^2 - x^2)$$

$$\text{تنش در جزء مزبور} = \frac{W}{\pi (r^2 - x^2)}$$

$$\text{کاهش ضخامت جزء مزبور} = \frac{W dx}{\pi E (r^2 - x^2)} = d\epsilon$$

$$\text{بر حسب رابطه } d\epsilon = \frac{P dx}{AE}$$



شکل ۳۹-۱

نمودار جسم آزاد سازه

① بین ابتدا افکار بر نیرو را بدست می آوریم:

حل: از تعادل سازه در امتداد افق نیروی داخلی میله BD بدست می آید.

$$F_{BD} = P = 10t$$

از تعادل لنگری نیروها حول نقطه B نیروی داخلی میله CF بدست می آید.

$$\sum M_B = 0 \quad 2(10) + 1(F_{CF}) = 0 \quad : \quad F_{CF} = -20t \uparrow$$

بنابراین جهت نیروی  $F_{CF}$  در روی شکل باید عوض شود. از تعادل نیروها در امتداد

فائم نیروی داخلی میله BE بدست می آید.

$$F_{BE} = 20t \downarrow$$

② تنش

$$\sigma_{BD} = \frac{10000}{20} = 500 \text{ Kg/cm}^2$$

$$\sigma_{CF} = \frac{-20000}{20} = -1000 \text{ Kg/cm}^2$$

$$\sigma_{BE} = \frac{20000}{20} = 1000 \text{ Kg/cm}^2$$

حل: ابتدا ضریب k را در معادله  $f = ky^2$  با نوشتن معادله تعادل در امتداد قائم بدست می آوریم.

$$F = \int_0^L f dy = \int_0^L ky^2 dy = \frac{kL^3}{3} \quad : \quad k = \frac{3F}{L^3}$$

اگر  $P_y$  بار وارد بر شمع در فاصله y از انتهای پایین آن باشد آن را از انتگرال زیر می توانیم حساب کنیم:

$$P_y = \int_0^y dP = \int_0^y f dy = \int_0^y ky^2 dy = \frac{ky^3}{3} = \frac{y^3}{L^3} F$$

بالاتر کاهش طول کل، میله از انتگرال زیر بدست می آید:

$$\delta = \int_0^L \frac{P_y dy}{AE} = \int_0^L \frac{F}{AEL^3} y^3 dy = \frac{FL}{4AE}$$

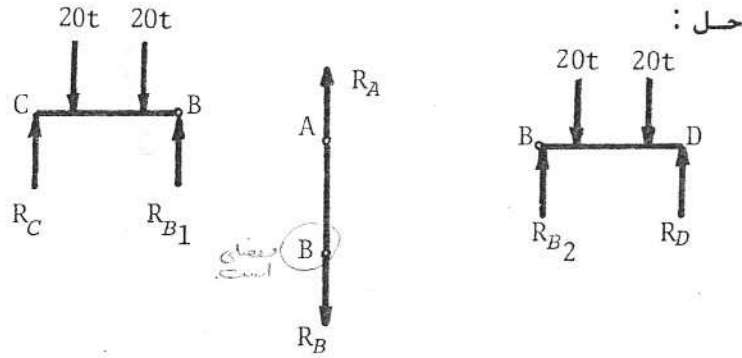
مقدار عددی  $\delta$  برابر است با

$$\delta = \frac{(43600)(1200)}{4(645)(105000)} = 0.19 \text{ cm} = 1.9 \text{ mm}$$

مسئله ۱۱-۱ ✓

سازه صلبی مطابق شکل ۳۹-۱ بوسیله سه میله فولادی با سطح مقطع یکسان  $A = 20 \text{ cm}^2$  به فونداسیون متصل شده است. تنشها را در میلهها و همچنین تغییر مکان افقی و قائم و کل نقطه B را در اثر بار افقی  $P = 10t$  تعیین کنید. ضریب ارتجاعی فولاد  $E = 2 \times 10^6 \text{ Kg/cm}^2$  می باشد.

۵۵



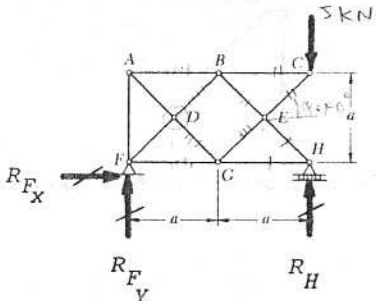
نمودار جسم آزاد CB      نمودار جسم آزاد AB      نمودار جسم آزاد BD

از نمودار جسم آزاد CB نتیجه می شود:  $R_C = R_{B1} = 20t$   
 از نمودار جسم آزاد BD نتیجه می شود:  $R_D = R_{B2} = 20t$   
 بنابراین نیروی کششی عضو AB برابر است با  $R_B = R_{B1} + R_{B2} = 40t$   
 مساحت سطح مقطع ضعیف عضو AB مساوی است با  $A' = 4A - 8(2 \times 1) = 4(19.2) - 16 = 60.8 \text{ cm}^2$   
 در نتیجه تنش در مقطع بحرانی عضو کششی برابر است با

$$\sigma = \frac{R_B}{A'} = \frac{40000}{60.8} = 658 \text{ Kg/cm}^2$$

مسئله ۱۳-۱ ✓

نیروهای داخلی خر پای شکل ۴۱-۱ را با روش مفاصل بدست آورید.



شکل (۴۱-۱)

۵۴

تغییر مکان افقی نقطه B برابر با ازدیاد طول میله BD می باشد.

$$\delta_{Bh} = \Delta L_{BD} = \frac{F_{BD} L}{AE} = \frac{(10000)(100)}{(20)(2 \times 10^6)} = 0.025 \text{ cm} = 0.25 \text{ mm}$$

تغییر مکان قائم نقطه B برابر با ازدیاد طول میله BE می باشد.

$$\delta_{Bv} = \Delta L_{BE} = \frac{F_{BE} L}{AE} = \frac{(20000)(100)}{(20)(2 \times 10^6)} = 0.05 \text{ cm} = 0.5 \text{ mm}$$

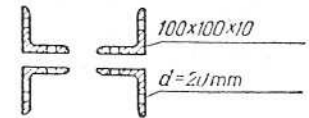
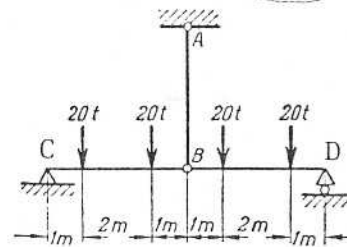
تغییر مکان کل نقطه B از جمع هندسی مؤلفه های افقی و قائم آن بدست می آید.

$$\delta_B = \sqrt{\delta_{Bh}^2 + \delta_{Bv}^2} = \sqrt{0.25^2 + 0.5^2} = 0.56 \text{ mm}$$

مسئله ۱۲-۱ ✓

$$\sigma = \frac{R_B}{A} \quad (\text{در واقع تنش در عضو AB است})$$

مقطع عضو کششی AB (شکل ۴۰-۱) شامل چهار نبشی استاندارد  $100\text{mm} \times 100\text{mm} \times 10\text{mm}$  به مساحت مقطع  $A = 19.2 \text{ cm}^2$  می باشد که بوسیله ۸ سوراخ پرچ به قطر ۲۰ میلی ضعیف شده است. تنش را در مقطع بحرانی عضو کششی پیدا کنید.



شکل ۴۰-۱

۵۷ از معادلات تعادل مفصل B نیروهای  $F_{BD}$  و  $F_{BA}$  بدست می‌آیند.

$$\Sigma F_y = 0 : F_{BD} \cos 45^\circ - F_{EB} \cos 45^\circ = 0 \quad F_{BD} = 7.07 \text{ kN} \quad \text{کششی}$$

$$\Sigma F_x = 0 : F_{BA} + F_{BD} \cos 45^\circ + 7.07 \cos 45^\circ - 5 = 0 \quad F_{BA} = -5 \text{ kN} \quad \text{فشاری}$$

به علت تقارن خرپا و بار گذاری :  
کششی

$$F_{DG} = F_{BD} = 7.07 \text{ kN}$$

$$F_{GF} = F_{BA} = 5 \text{ kN} \quad \text{فشاری}$$

با در نظر گرفتن تعادل مفصل A نیروهای  $F_{AF}$  و  $F_{AD}$  بدست می‌آیند.

$$\Sigma F_x = 0 : F_{AD} \cos 45^\circ - 5 = 0 \quad F_{AD} = 7.07 \text{ kN} \quad \text{کششی}$$

$$\Sigma F_y = 0 : F_{AF} - F_{AD} \cos 45^\circ = 0 \quad F_{AF} = 5 \text{ kN} \quad \text{فشاری}$$

✓ مسئله ۱۴ - ۱

نیروهای داخلی خرپای شکل ۴۲ - ۱ را حساب کنید. واکنش‌های آن را نیز تعیین کنید.

حل : ابتدا با نوشتن معادلات تعادل تمام خرپا واکنش‌ها را پیدا می‌کنیم.

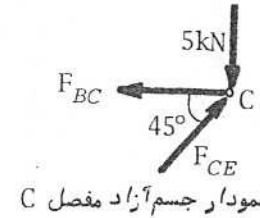
۵۶

حل : ابتدا با نوشتن معادلات تعادل کل خرپا واکنش‌ها را بدست می‌آوریم.

$$\Sigma F_x = 0 : R_{Fx} = 0$$

$$\Sigma M_H = 0 : R_{Fy} = 0$$

$$\Sigma F_y = 0 : R_H = 5 \text{ kN}$$



نمودار جسم آزاد مفصل C

از نوشتن معادلات تعادل در نمودار جسم آزاد مفصل C نیروهای  $F_{BC}$  و  $F_{CE}$  به دست می‌آیند.

$$\Sigma F_y = 0 : F_{CE} \cos 45^\circ - 5 = 0$$

$$F_{CE} = 5\sqrt{2} \text{ kN} = 7.07 \text{ kN} \quad \text{فشاری}$$

$$\Sigma F_x = 0 : F_{BC} - F_{CE} \cos 45^\circ = 0 \quad F_{BC} = 5 \text{ kN} \quad \text{کششی}$$

به علت تقارن خرپا و بار گذاری حول یک محور افقی :

$$F_{EH} = F_{CE} = 7.07 \text{ kN} \quad \text{فشاری}$$

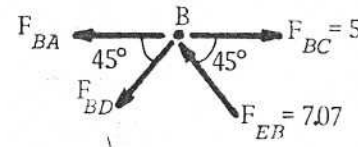
$$F_{HG} = F_{BC} = 5 \text{ kN} \quad \text{کششی}$$

از نمودار جسم آزاد مفصل E نیروهای  $F_{EB}$  و  $F_{EG}$  بدست می‌آیند. بعلت شرایط ویژه بار گذاری در اتصال E می‌توانیم بنویسیم

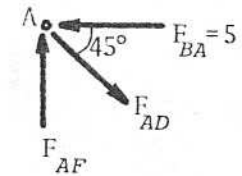
$$F_{EB} = F_{EH} = 7.07 \text{ kN} \quad \text{فشاری}$$

$$F_{EG} = F_{CE} = 7.07 \text{ kN} \quad \text{فشاری}$$

نمودار جسم آزاد مفصل E



نمودار جسم آزاد مفصل B



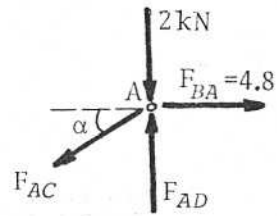
نمودار جسم آزاد مفصل A

۵۹

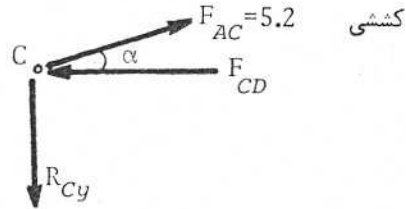
بالاخره با نوشتن معادله تعادل مفصل C در امتداد افق نیروی  $F_{CD}$  بدست می آید.

$$\Sigma F_x = 0 : F_{CD} - F_{AC} \cos \alpha = 0$$

$$F_{CD} = 4.8 \text{ kN} \quad \text{فشاری}$$



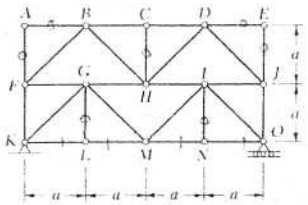
A نمودار جسم آزاد مفصل



C نمودار جسم آزاد مفصل

مسئله ۱۵ - ۱ ✓

عضوهای بدون نیروی خر پای شکل ۱-۴۳ را بدست آورید. برای مفصل باید روابط تعادل



شکل ۱-۴۳

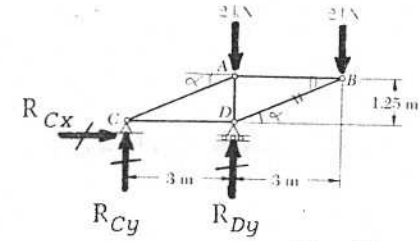
$F_{AB} = 0$  : از تعادل مفصل A در امتداد قائم نتیجه می شود  
 $F_{AF} = 0$   
 $F_{CH} = 0$  : از تعادل مفصل C در امتداد قائم نتیجه می شود

۵۸

$$\Sigma F_x = 0 : R_{Cx} = 0$$

$$\Sigma M_D = 0 : 3R_{Cy} + 3(2) = 0$$

$$R_{Cy} = -2 \text{ kN}$$



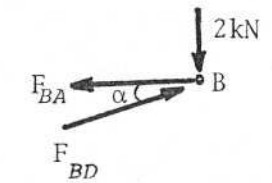
شکل ۱-۴۲

بنابراین جهت  $R_{Cy}$  در روی شکل باید عوض شود.

$$\Sigma F_y = 0 : 2 + 2 + 2 - R_{Dy} = 0 : R_{Dy} = 6 \text{ kN}$$

$$\cos \alpha = \frac{3}{\sqrt{3^2 + 1.25^2}} = \frac{12}{13} ; \sin \alpha = \frac{5}{13}$$

از نمودار جسم آزاد مفصل B نیروهای  $F_{BA}$  و  $F_{BD}$  بدست می آیند.



$$\Sigma F_y = 0 : F_{BD} \sin \alpha - 2 = 0$$

$$F_{BD} = 5.2 \text{ kN} \quad \text{فشاری}$$

$$\Sigma F_x = 0 : F_{BA} - F_{BD} \cos \alpha = 0$$

$$F_{BA} = 4.8 \text{ kN} \quad \text{کششی}$$

نمودار جسم آزاد مفصل B  
 با نوشتن معادلات تعادل مفصل A نیروهای  $F_{AD}$  و  $F_{AC}$  بدست می آیند.

$$\Sigma F_x = 0 : F_{AC} \cos \alpha - 4.8 = 0 \quad F_{AC} = 5.2 \text{ kN} \quad \text{کششی}$$

$$\Sigma F_y = 0 : F_{AD} - 2 - F_{AC} \sin \alpha = 0 \quad F_{AD} = 4 \text{ kN} \quad \text{فشاری}$$

۶۱

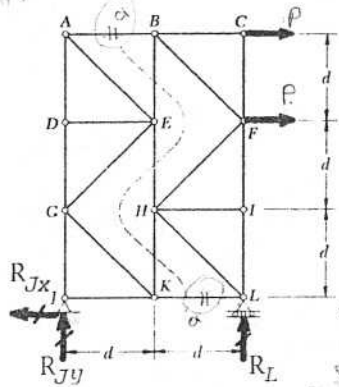
از تعادل مفصل D در امتداد عمود بر AI نتیجه می شود :  $F_{DH} = 0$

از تعادل مفصل H در امتداد قائم نتیجه می شود :  $F_{AH} = 0$

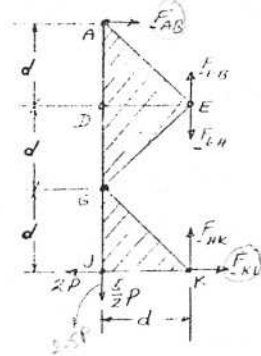
از تعادل مفصل G در امتداد قائم نتیجه می شود :  $F_{AG} = 0$

مسئله ۱۷ - ۱ ✓

نیروهای اعضاء AB و KL خرپای شکل ۴۵ - ۱ را بدست آورید.



شکل ۴۵ - ۱



نمودار جسم آزاد

حل : ابتدا با نوشتن معادلات تعادل تمام خرپا واکنش های  $R_{Jx}$  و  $R_{Jy}$  را بدست می آوریم.

$$\sum F_x = 0 : R_{Jx} = 2P$$

$$\sum M_L = 0 : 2d R_{Jy} + 2dP + 3dP = 0 : R_{Jy} = -2.5P$$

۶۰

از تعادل مفصل E در امتداد افق نتیجه می شود :  $F_{DE} = 0$

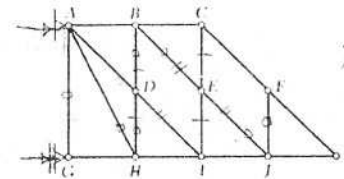
از تعادل مفصل E در امتداد قائم نتیجه می شود :  $F_{EJ} = 0$

از تعادل مفصل L در امتداد قائم نتیجه می شود :  $F_{GL} = 0$

از تعادل مفصل N در امتداد قائم نتیجه می شود :  $F_{IN} = 0$

مسئله ۱۶ - ۱ ✓

عضوهای بدون نیروی خرپای شکل ۴۴ - ۱ را بدست آورید.



شکل ۴۴ - ۱

حل : از تعادل مفصل F در امتداد عمود بر CK نتیجه می شود :  $F_{FJ} = 0$

از تعادل مفصل J در امتداد قائم نتیجه می شود :  $F_{EJ} = 0$

از تعادل مفصل E در امتداد افق نتیجه می شود :  $F_{EB} = 0$

از تعادل مفصل B در امتداد قائم نتیجه می شود :  $F_{BD} = 0$

۶۳

حل: با مقطع a-a خرابا را به دو نیم تقسیم می‌کنیم و نمودار جسم آزاد قسمت فوقانی را در نظر می‌گیریم.  
با نوشتن معادله تعادل لنگری حول نقطه E نیروی داخلی عضو GJ به دست می‌آید.

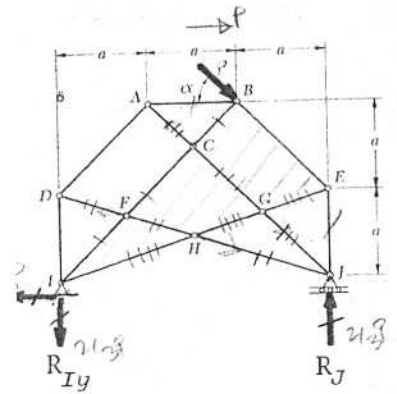
$$\Sigma M_E = 0 : +(15)(4) + 15(2) + F_{GJ}(4) = 0$$

$$F_{GJ} = -22.5 \text{ kN}$$

فشاری

مسئله ۱۹-۱

هر گاه در خرابای شکل ۴۷-۱  $\alpha$  برابر صفر باشد نیروی داخلی اعضاء AB و EJ آن را تعیین کنید.



- AC = CG = GJ
- DF = FH = HJ
- BC = CF = FI
- EG = GH = GI

شکل ۴۷-۱

حل: ابتدا با نوشتن معادلات تعادل تمام خرابا واکنش‌های  $R_{Ix}$  و  $R_{Iy}$  را به دست می‌آوریم.

$$\Sigma F_x = 0 : R_{Ix} = P$$

$$\Sigma M_J = 0 : R_{Iy}(3a) - P(2a) = 0 : R_{Iy} = \frac{2}{3} P$$

۶۲

بنابراین جهت واکنش  $R_{Jy}$  در روی شکل باید عوض شود.  
حال با مقطع a-a خرابا را به دو نیم تقسیم می‌کنیم و نمودار جسم آزاد را برای قسمت سمت چپ رسم می‌کنیم. با نوشتن معادله تعادل لنگری حول نقطه K نیروی  $F_{AB}$  بدست می‌آید.

$$\Sigma M_K = 0 : +2.5P(d) - F_{AB}(3d) = 0$$

$$F_{AB} = \frac{5}{6} P$$

کششی

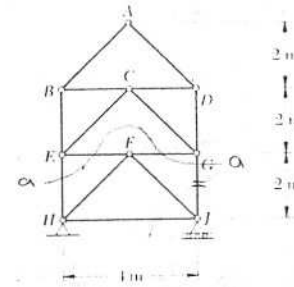
با نوشتن معادله تعادل در امتداد افق نیروی  $F_{KL}$  بدست می‌آید.

$$\Sigma F_x = 0 : \frac{5}{6}P + F_{KL} - 2P = 0 : F_{KL} = \frac{7}{6} P$$

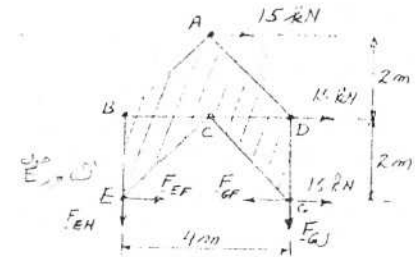
کششی

مسئله ۱۸-۱

نیروی داخلی عضو GJ خرابای شکل ۴۶-۱ را پیدا کنید.



شکل ۴۶-۱

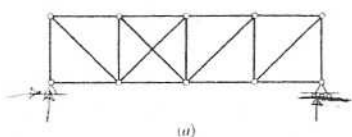


نمودار جسم آزاد

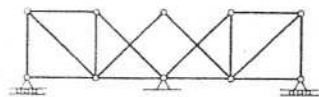


۶۵

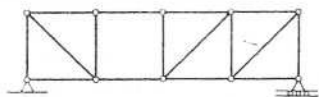
طبقه بندی کنید.



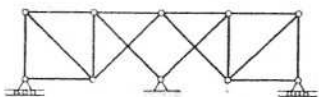
(a)



(c)



(b)



(d)

شکل ۴۸-۱

حل: تعداد مفصلها را  $n$ ، تعداد اعضا را  $m$  و تعداد واکنشها را  $r$  (مؤلفه‌های واکنشها را) می‌نامیم.

$$(m+r) = 2n$$

شکل (a):  $n=10$ ،  $m=18$ ،  $r=3$

چون  $m+r > 2n$  می‌باشد خرپا هیپراستاتیک است و درجه هیپراستاتیکی آن برابر است با  $m+r-2n = 18+3-20 = 1$

شکل (b):  $n=10$ ،  $m=16$ ،  $r=3$

$$m+r < 2n$$

بنابراین خرپا ناپایدار است.

شکل (c):  $n=10$ ،  $m=16$ ،  $r=4$

$$m+r = 2n = 20$$

خرپا ایزواستاتیک و پایدار است.

شکل (d):  $n=10$ ،  $m=16$ ،  $r=4$

$$m+r = 2n = 20$$

۶۴

حال قسمت IBE را جدا و نمودار جسم آزاد آن را رسم می‌کنیم. چون در هر یک از مفصل‌های C، F، G، H و اعضا دو بدو در یک امتداد هستند می‌توانیم بنویسیم

$$F_{AC} + F_{GJ} = 0$$

$$F_{AC} = F_{GJ}$$



در مفصل (ص ۲۶):

$$F_{DF} + F_{HJ} = 0$$

$$F_{DF} = F_{HJ}$$

با توجه به اینکه لنگرهای دو نیروی  $F_{AC}$  و  $F_{GJ}$  و همچنین دو نیروی  $F_{DF}$  و  $F_{HJ}$  یکدیگر را خنثی می‌کنند معادله تعادل لنگری قطعه IBE را حول نقطه K می‌نویسیم.

$$\sum M_K = 0 : +P(2a) + F_{EJ}(3a) = 0$$

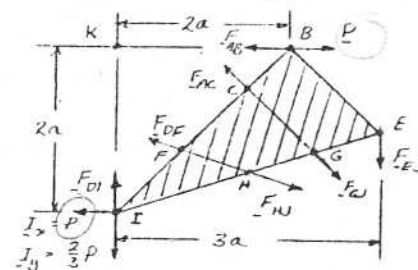
K را مرکز لنگر می‌گیریم تا باطل شود

$$F_{EJ} = -\frac{2}{3}P$$

فشاری

معادله تعادل قطعه IBE در امتداد افق نیروی  $F_{AB}$  را می‌دهد.

$$\sum F_x = 0 : P - P - F_{AB} = 0 : F_{AB} = 0$$

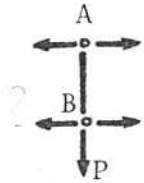


مسئله ۲۰-۱ ✓

خرپاهای شکل ۴۸-۱ را به ناپایدار، ایزواستاتیک (و پایدار)، و هیپراستاتیک

۶۷

توجه کنید خرپای مزبور یک خرپای ساده نمی‌باشد و بین مفصل‌های A و B مفصلی وجود ندارد. با وجود اینکه رابطه  $m + r = 2n$  برقرار است خرپای مزبور پایدار نمی‌باشد زیرا اگر نمودار جسم آزاد عضو AB را رسم کنیم مشاهده می‌کنیم که عضو مزبور در امتداد قائم در حال تعادل نیست.



نمودار جسم آزاد AB

شکل (c) :  $n = 8$     $m = 13$     $r = 4$

$m + r > 2n$

خرپا هیبر استاتیک می‌باشد و درجه هیبر استاتیکی آن برابر است با

$m + r - 2n = 13 + 4 - 16 = 1$

شکل (d) :  $n = 8$     $m = 12$     $r = 4$

$m + r = 2n = 16$

خرپای مزبور یک خرپای ساده نیست ولی با روش مفاصل می‌توان تمام نیروهای داخلی عضوهای آن را بدست آورد. بنابراین خرپا پایدار و ایزو استاتیک می‌باشد.

مسئله ۲۲ - ۱

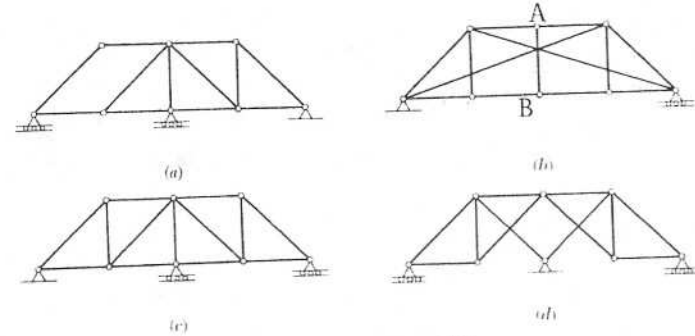
کدامیک از خرپاهای شکل ۵ - ۱ پایدار و کدامیک نا پایدار می‌باشند ؟  
کدامیک از خرپاهای پایدار ایزو استاتیک و کدامیک هیبر استاتیک می‌باشند ؟

۶۶

خرپا ایزو استاتیک و پایدار است. توجه کنید این خرپا یک خرپای ساده نمی‌باشد ولی با وجود این می‌توان تمام نیروهای داخلی آن را پیدا کرد و در نتیجه ایزو استاتیک می‌باشد.

مسئله ۲۱ - ۱

خرپاهای شکل ۴۹ - ۱ را به پایدار و نا پایدار طبقه‌بندی کنید. همچنین خرپاهای پایدار را به ایزو استاتیک و هیبر استاتیک طبقه‌بندی نمایید.



شکل ۴۹ - ۱

حل : تعداد مفصل‌های خرپا را  $n$ ، تعداد اعضاء آن را  $m$  و تعداد واکنش‌های مجهول را  $r$  می‌نامید.

شکل (a) :  $n = 8$     $m = 12$     $r = 4$

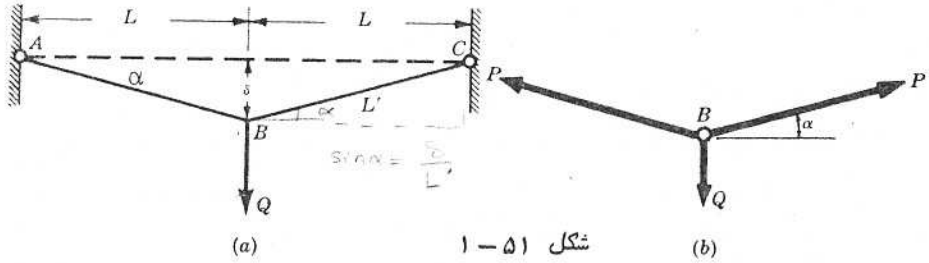
$m + r = 2n = 16$

خرپا معین و پایدار می‌باشد.

شکل (b) :  $n = 8$     $m = 13$     $r = 3$

$m + r = 2n = 16$

۶۹



شکل ۱-۵۱

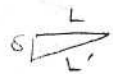
هر یک از میله‌ها تابع قانون هوک می‌باشند و ازدیاد طول هر یک از آنها از رابطه  
 $\Delta = \frac{PL}{AE}$  بدست می‌آید. بنابراین

$$\Delta = L' - L = \frac{PL}{AE} \Rightarrow P = \frac{\Delta AE}{L} \quad (1)$$

نمودار جسم آزاد مفصل B در شکل ۱-۵۱b رسم شده است. از معادله تعادل در امتداد قائم نتیجه می‌شود

$$2P \sin \alpha - Q = 0$$

$$Q = 2P \sin \alpha = 2P \left( \frac{\delta}{L'} \right) \quad (2)$$

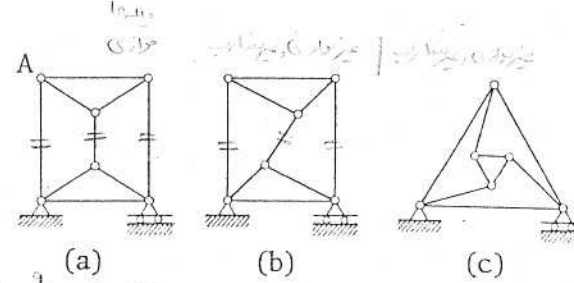


به جای P از معادله ۱ در معادله ۲ قرار می‌دهیم و به جای  $L'$  مقدار مساوی آن  
 $\sqrt{L^2 + \delta^2}$  را قرار می‌دهیم.

$$Q = 2 \frac{(L' - L) AE}{L} \frac{\delta}{L'} = \frac{2 \delta AE}{L} \left( 1 - \frac{L}{L'} \right)$$

$$Q = \frac{2 \delta AE}{L} \left( 1 - \frac{L}{\sqrt{L^2 + \delta^2}} \right)$$

۶۸



شکل ۱-۵۰

$$m + 1 = 12 = 2 \times 6$$

حل :

(a) : دو خر پای ساده فوقانی و تحتانی به وسیله سه میله موازی به یکدیگر متصل شده‌اند بنابراین خر پا نا پایدار است. تحت اثر یک نیروی افقی مثلا در مفصل A خر-پا از تعادل خارج خواهد شد و فرو خواهد ریخت.

(b) : دو خر پای ساده فوقانی و تحتانی به وسیله سه میله غیر موازی و غیرمقاربت به یکدیگر متصل شده‌اند. بنابراین خر پای حاصل یک خر پای مرکب پایدار و ایزواستاتیک می‌باشد.

(c) : دو خر پای ساده ( مثلث خارجی و مثلث داخلی ) به وسیله سه میله غیر موازی و غیرمقاربت به یکدیگر متصل شده‌اند و تشکیل یک خر پای مرکب پایدار ایزواستاتیک می‌دهند.

مسئله ۱-۲۳

دو سیم یا میله نازک AB و BC که در نقاط A ، B و C دارای اتصالات مفصلی می‌باشند تحت تأثیر بار Q در نقطه B قرار دارند. قبل از اینکه بار Q وارد شود هر یک از دو سیم ( یا میله ) به طول  $L$  و افقی می‌باشند و از وزن آنها صرف نظر می‌شود. بار Q چقدر باید باشد تا تغییر مکان نقطه B برابر  $\delta$  باشد ؟ سطح مقطع هر یک از سیم‌ها A و ضریب ارتجاعی آنها E می‌باشد.

حل : این یک مثال فوق العاده جالب از سازه‌ای است که اعضاء آن تابع قانون هوک می‌باشند ولی با وجود این به دلایل هندسی بار با تغییر مکان متناسب نمی‌باشد.

۷۱

می باشد.  $E_s = 2 \times 10^6 \text{ Kg/cm}^2$  سطح مقطع لازم برای هر یک از میله ها و تغییر مکان های افقی و قائم نقطه C را تعیین کنید. طول های AC و BC به ترتیب 2.5 m و 4 m می باشند.

حل: از معادله تعادل مفصل C در امتداد عمود بر AC نیروی  $F_{BC}$  به دست می آید.

$$F_{BC} \cos 15 - 5 \cos 45 = 0$$

$$F_{BC} = 3.66 \text{ t}$$

از معادله تعادل مفصل C در امتداد قائم نیروی  $F_{AC}$  بدست می آید.

$$\sum F_y = 0 : F_{AC} \cos 45 + F_{BC} \cos 30 - 5 = 0$$

$$F_{AC} = 2.59 \text{ t}$$

$$A_{AC} = \frac{F_{AC}}{\sigma_w} = \frac{2590}{1500} = 1.73 \text{ cm}^2 \quad \text{سطح مقطع لازم برای میله AC}$$

$$A_{BC} = \frac{F_{BC}}{\sigma_w} = \frac{3660}{1500} = 2.44 \text{ cm}^2 \quad \text{سطح مقطع لازم برای میله BC}$$

$$\Delta l_1 = \frac{F_{AC} l_1}{A_{AC} E_a} = \frac{\sigma_w l_1}{E_a} = \frac{(1500)(2500)}{700000} = 5.4 \text{ mm} \quad \text{افزایش طول میله AC}$$

$$\Delta l_2 = \frac{F_{BC} l_2}{A_{BC} E_s} = \frac{\sigma_w l_2}{E_s} = \frac{(1500)(4000)}{2 \times 10^6} = 3 \text{ mm} \quad \text{افزایش طول میله BC}$$

با توجه به شکل ۱-۵۲b رابطه زیر بین تغییر مکان مفصل C، زاویه  $\beta$

۷۰

عبارت رادیکال را بسط می دهیم.

$$\sqrt{L^2 + \delta^2} = L \left( 1 + \frac{\delta^2}{L^2} \right)^{\frac{1}{2}} = L \left( 1 + \frac{1}{2} \frac{\delta^2}{L^2} + \dots \right)$$

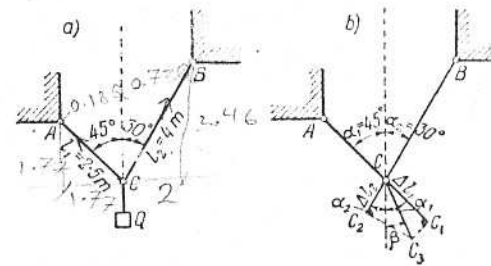
$$1 - \frac{L}{\sqrt{L^2 + \delta^2}} = 1 - \left( 1 - \frac{1}{2} \frac{\delta^2}{L^2} \right) = \frac{1}{2} \frac{\delta^2}{L^2}$$

$$Q = \frac{2\delta AE}{L} \frac{\delta^2}{2L^2} = \frac{AE\delta^3}{L^3}$$

بدین ترتیب مشاهده می شود با وجود اینکه هر یک از میله ها از قانون هوک تبعیت می کنند نیروی Q با تغییر مکان  $\delta$  متناسب نمی باشد. در نتیجه در این مسئله نمی توان از اصل اجتماع اثر قوا استفاده نمود ( دربارۀ این اصل در فصل دوم بحث خواهد شد ).

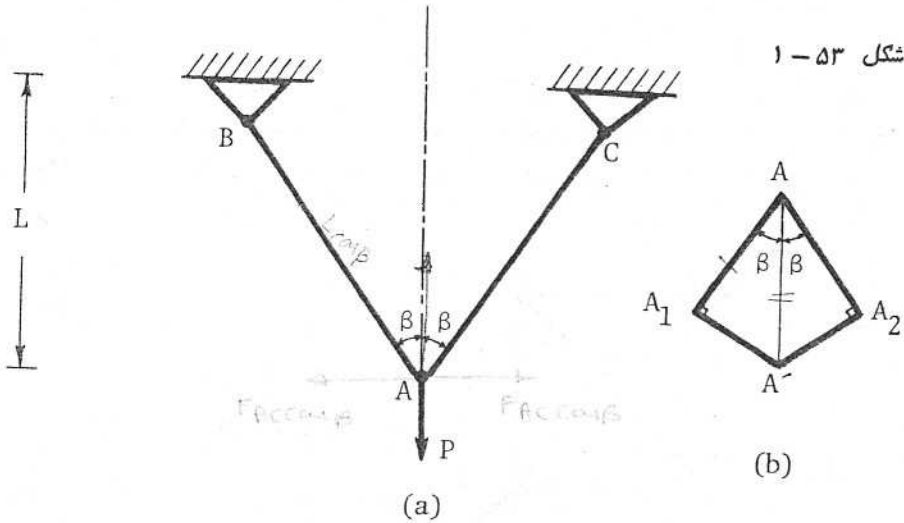
مسئله ۲۴-۱ ✓

میله های AC و BC در شکل ۱-۵۲a به ترتیب از آلومینیوم و فولاد با تنش مجاز یکسان  $\sigma_w = 1500 \text{ Kg/cm}^2$  ساخته شده اند و تحت اثر بار Q قرار دارند. ضریب ارتجاعی آلومینیوم  $E_a = 0.7 \times 10^6 \text{ Kg/cm}^2$  و ضریب ارتجاعی فولاد



شکل ۱-۵۲

۷۳



از A بر سطح AB و AC نیروهای داخلی می کشد  
از A بر سطح AB و AC نیروهای داخلی می کشد

حل: به علت تقارن نیروهای داخلی میله‌های AB و AC برابر است. مقدار این نیرو از معادله تعادل در امتداد قائم بدست می‌آید.

$$F_{AB} = F_{AC} = \frac{P}{2\cos\beta}$$

$$2F_{AC}\cos\beta = P$$

اضافه طول هر یک از میله‌ها برابر است با

$$\overline{AA_1} = \overline{AA_2} = \frac{\frac{P}{2\cos\beta} \cdot \frac{L}{\cos\beta}}{EA} = \frac{PL}{2EA\cos^2\beta}$$

تغییر مکان قائم مفصل A از نمودار ویلیو (شکل b ۵۳-۱) بدست می‌آید.

$$\overline{AA'} = \frac{\overline{AA_1}}{\cos\beta} = \frac{PL}{2EA\cos^3\beta}$$

۷۲

و مقادیر معلوم  $\alpha_1, \alpha_2, \Delta l_1$  و  $\Delta l_2$  وجود دارد:

$$\Delta = \frac{\Delta l_1}{\cos(\alpha_1 - \beta)} = \frac{\Delta l_2}{\cos(\alpha_2 + \beta)} \implies \beta \Delta = \dots$$

از این رابطه ابتدا  $\beta$  و سپس  $\Delta$  بدست می‌آید.

$$\frac{\cos(\alpha_2 + \beta)}{\cos(\alpha_1 - \beta)} = \frac{\cos\alpha_2 \cos\beta - \sin\alpha_2 \sin\beta}{\cos\alpha_1 \cos\beta + \sin\alpha_1 \sin\beta} = \frac{\frac{\sqrt{3}}{2} \cos\beta - \frac{1}{2} \sin\beta}{\frac{\sqrt{2}}{2} (\cos\beta + \sin\beta)}$$

$$= \frac{1.73 \cos\beta - \sin\beta}{1.41 (\cos\beta + \sin\beta)} = \frac{\Delta l_2}{\Delta l_1} = \frac{3}{5.4} = 0.56$$

$$\tan\beta = 0.53 \quad : \quad \beta = 27.71^\circ$$

$$\Delta = \frac{\Delta l_1}{\cos(\alpha_1 - \beta)} = \frac{5.4}{\cos 17.29^\circ} = 5.66 \text{ mm}$$

$$\Delta_h = \Delta \sin\beta = 2.6 \text{ mm} \quad \text{تغییر مکان افقی مفصل C}$$

$$\Delta_v = \Delta \cos\beta = 5 \text{ mm} \quad \text{تغییر مکان قائم مفصل C}$$

مسئله ۲۵-۱

در خرپای شکل a ۵۳-۱ تغییر مکان قائم مفصل A را بدست آورید. صلبیت محوری هر یک از میله‌ها EA می‌باشد.

۷۵

از تعادل مفصل B در امتداد BD نیروی  $F_{BD}$  بدست می آید.

$$F_{BD} = (F_{BC} + F_{AB}) \cos 45^\circ = 20 \text{ kN}$$

افزایش طول AC شامل دو مؤلفه می باشد. مؤلفه اول ناشی از اضافه طول عضوهای کششی  $AB$ ،  $AD$ ،  $BC$  و  $CD$  می باشد که با توجه به نتیجه مسئله ۲۵ - ۱ برابر است با

$$\delta_1 = 2 \frac{PL}{2EA \cos^3 \beta}$$

در این رابطه:  $L = \frac{L}{\sqrt{2}}$ ،  $\beta = 45^\circ$

$$P = 20 \text{ kN}, E = 2 \times 10^{11} \text{ N/m}^2, A = 5 \text{ cm}^2, L = \frac{L}{\sqrt{2}}$$

$$\delta_1 = \frac{20000 \left(\frac{L}{\sqrt{2}}\right)}{(2 \times 10^{11}) (10^{-4}) (5) \cos^3 45^\circ} = 0.0004L$$

مؤلفه دوم ناشی از کاهش طول عضو فشاری BD می باشد. اگر از تغییر مکان های مرتبه دوم در مقابل تغییر مکان های مرتبه اول صرف نظر کنیم کاهش طول قطر BD برابر با اضافه طول قطر AC خواهد بود. بنابراین مؤلفه دوم برابر است با

$$\delta_2 = \frac{F_{BD} (\sqrt{2} L)}{AE} = \frac{(20000) (\sqrt{2} L)}{(5) (2 \times 10^{11}) (10^{-4})} = 0.0003L$$

افزایش طول AC مجموع  $\delta_1$  و  $\delta_2$  می باشد.

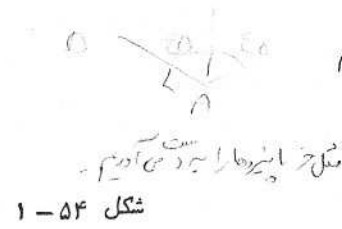
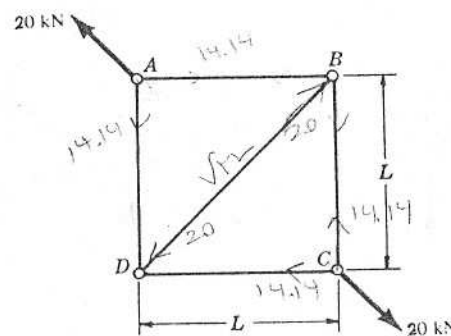
$$\delta = \delta_1 + \delta_2 = 0.0004L + 0.0003L = 0.0007L$$

مسئله ۲۷ - ۱

مسئله ۲۶ - ۱

۷۴

سازه پنج میله ای شکل ۵۴ - ۱ بوسیله دو نیروی ۲۰ kN در امتداد یکی از قطرهایش بار گذاری شده است. میله ها از فولاد با ضریب ارتجاعی  $E = 2 \times 10^{11} \text{ N/m}^2$  ساخته شده اند و سطح مقطع آنها  $A = 5 \text{ cm}^2$  می باشد. افزایش طول AC را حساب کنید.

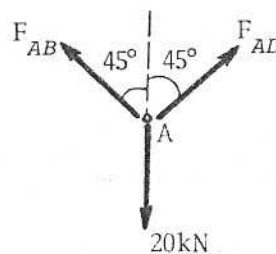


حل: ابتدا نیروهای داخلی اعضاء سازه را پیدا می کنیم. معادله تعادل مفصل A در امتداد AC نیروهای  $F_{AD}$  و  $F_{AB}$  را می دهد.

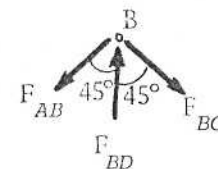
$$F_{AB} = F_{AD} = \frac{20}{2 \cos 45^\circ} = 14.142 \text{ kN}$$

$$F_{BC} = F_{CD} = 14.142 \text{ kN}$$

به علت تقارن:



نمودار جسم آزاد مفصل A



نمودار جسم آزاد مفصل B

۷۷

تغییر مکان افقی نقطه اثر بار P مجموع تغییر مکان افقی نقطه D و اضافه طول میله 1 می باشد.

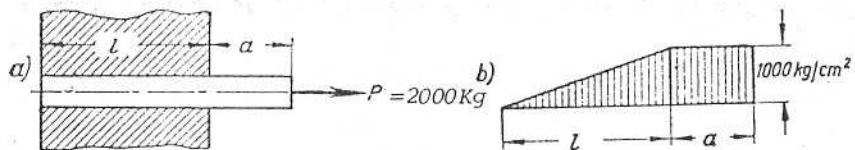
$$\delta_x = 2\Delta l_2 + \Delta l_1 = \frac{4Pa}{3E_2A_2} + \frac{Pa}{3E_1A_1} = \frac{Pa}{3} \left( \frac{4}{E_2A_2} + \frac{1}{E_1A_1} \right)$$

تغییر مکان قائم نقطه اثر بار P برابر است با

$$\delta_y = \delta_x \tan \alpha = \delta_x \left( \frac{a}{3a} \right) = \frac{Pa}{9} \left( \frac{4}{E_2A_2} + \frac{1}{E_1A_1} \right)$$

مسئله ۲۸-۱

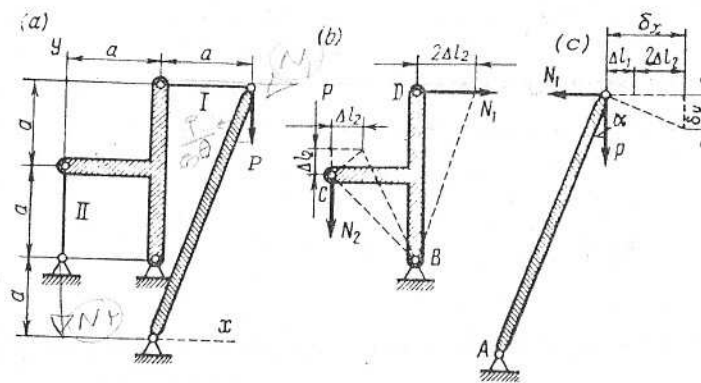
میله‌ای مطابق شکل ۱-۵۶ در داخل بتن قرار دارد و بوسیله نیروی P کشیده می شود. سطح مقطع میله  $A = 2 \text{ cm}^2$  و طولهای 1 و a در روی شکل به ترتیب 40cm و 15cm می باشند. بین میله و بتن نیروهای چسبندگی وجود دارد که فرض می شود در طول 1 به طور یکنواخت گسترده باشد. منحنی توزیع تنش را در طول میله رسم کنید. اضافه طول میله را نیز حساب کنید.  $E = 2 \times 10^6 \text{ Kg/cm}^2$



شکل ۱-۵۶

۷۶

در سازه شکل ۱-۵۵ میله‌های 1 و 2 به ترتیب دارای صلبیت محوری  $E_1A_1$  و  $E_2A_2$  می باشند. تغییر مکان‌های افقی و قائم نقطه اثر بار P را تعیین کنید.



شکل ۱-۵۵

حل: با نوشتن معادلات تعادل لنگری:  $\sum M_A = 0$  و  $\sum M_B = 0$  نیروهای داخلی میله‌ها بدست می آیند.

$$N_1 = \frac{P}{3} ; N_2 = \frac{2}{3}P$$

بر اساس رابطه 1-12 ازدیاد طول دو میله عبارتند از

$$\Delta l_1 = \frac{Pa}{3E_1A_1} ; \Delta l_2 = \frac{2Pa}{3E_2A_2}$$

با توجه به شکل ۱-۵۵a تغییر مکان افقی نقطه C برابر  $\Delta l_2$  و تغییر مکان نقطه D در امتداد عمود بر BC مساوی  $\delta_C = \sqrt{2}\Delta l_2$  می باشد. نقطه D فقط در امتداد افق می تواند تغییر مکان دهد. این تغییر مکان با توجه به اینکه قطعه CBD مانند یک جسم صلب دوران می کند از رابطه زیر بدست می آید:

$$\frac{\delta_D}{2a} = \frac{\delta_C}{\sqrt{2}a} = \frac{\sqrt{2}\Delta l_2}{\sqrt{2}a} ; \delta_D = 2\Delta l_2$$

۷۹

منحنی توزیع تنش در طول میله در شکل ۵۶b - ۱ رسم شده است. اضافه طول قسمتی از میله که خارج از بتن است (به طول  $a$ ) برابر است با

$$\Delta l_a = \frac{Pa}{EA} = \frac{(2000)(15)}{(2 \times 10^6)(2)} = 7.5 \times 10^{-3} \text{ cm}$$

برای محاسبه اضافه طول قسمتی از میله که در داخل بتن قرار دارد (به طول  $l$ ) در فاصله  $x$  از انتهای چپ میله جزء کوچکی از میله به طول  $dx$  را در نظر می‌گیریم. نیروی وارد بر این جزء قبلاً تعیین شد. بنابراین اضافه طول جزء خیلی کوچک مزبور برابر است با

$$d(\Delta l) = \frac{Rdx}{EA} = \frac{Px dx}{1EA}$$

اضافه طول قسمتی از میله که در داخل بتن قرار دارد از انتگرال زیر بدست می‌آید:

$$\begin{aligned} \Delta l_l &= \int_0^l d(\Delta l) = \int_0^l \frac{Px dx}{1EA} = \frac{Pl}{2EA} \\ &= \frac{(2000)(40)}{(2)(2 \times 10^6)(2)} = 0.01 \text{ cm} \end{aligned}$$

اضافه طول کل میله مساوی است با

$$\Delta l = \Delta l_l + \Delta l_a = 0.01 + 0.0075 = 0.0175 \text{ cm} = 0.175 \text{ mm}$$

۷۸

حل: در طول  $a$  میله در هر مقطعی از آن تنش‌ها یکسان و برابرند با

$$\sigma = \frac{P}{A} = \frac{2000}{2} = 1000 \text{ Kg/cm}^2$$

در طول  $l$  میله برای اینکه تعادل برقرار باشد برآیند نیروهای اتصالی باید برابر  $P$  باشد. چون بر اساس فرض مسئله این نیروها در طول  $l$  به طور یکنواخت توزیع شده‌اند در واحد طول آن نیروی  $p$  وارد می‌شود که برابر است با

$$p = \frac{P}{l}$$

اگر مقطعی به فاصله  $x$  از انتهای چپ میله در نظر بگیریم نیروهای برآیند در طرف چپ مقطع مساوی است با

$$R = px = \frac{P}{l} x$$

بنابراین تنش در یک مقطع به فاصله  $x$  از انتهای چپ میله برابر است با

$$\sigma(x) = \frac{R}{A} = \frac{Px}{lA}$$

در انتهای چپ میله (در  $x=0$ ) تنش برابر صفر و در فاصله  $l$  از انتهای چپ تنش مساوی است با

$$\sigma_l = \frac{Pl}{lA} = \frac{P}{A} = 1000 \text{ Kg/cm}^2$$



راست تغییر مکان می دهد.

$$\delta_1 = \overline{AA'} = \frac{\overline{AA_1}}{\cos 60^\circ} = \frac{0.16}{\frac{1}{2}} = 0.32 \text{ cm}$$

به علت تقارن مفصل B نیز به اندازه  $\delta_1 = 0.32 \text{ cm}$  به سمت چپ تغییر مکان میدهد. از طرف دیگر میله AB در اثر نیروی کششی 5000Kg به اندازه  $\delta_{AB}$  اضافه طول پیدا می کند.

$$\delta_{AB} = \frac{(5000)(160)}{(2.5)(2 \times 10^6)} = 0.16 \text{ cm}$$

بنابراین برای اینکه در میله AB کشش محوری 5000Kg ایجاد شود دو انتهای میله در داخل بست قورباغه ای باید به اندازه

$$\delta = 2\delta_1 + \delta_{AB} = 2(0.32) + 0.16 = 0.8 \text{ cm}$$

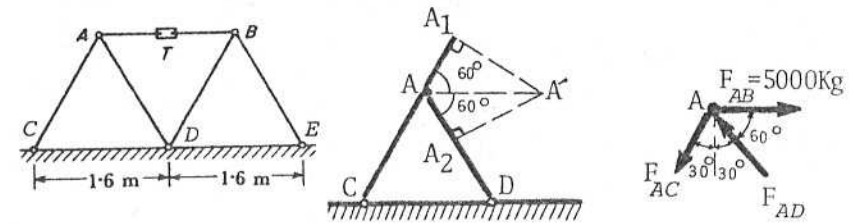
به یکدیگر نزدیک شوند. چون با هر دور چرخاندن بست قورباغه ای دو سر میله ها به اندازه  $\frac{2}{13} \text{ cm}$  به هم نزدیک می گردند تعداد دوران های لازم بست قورباغه ای برابر است با

$$n = \frac{0.8}{\frac{2}{13}} = 5.2$$

مسئله ۳۰-۱

خر پای صفحه ای شکل a ۵۸-۱ شامل  $n$  ( $n > 2$ ) میله مشابه می باشد که در فواصل مساوی از یکدیگر قرار گرفته و همگی آنها در مفصل مشترک O به یکدیگر متصل می-

هر یک از میله های خر پای شکل a ۵۷-۱ به طول 1.6 m و مساحت سطح مقطع  $A = 2.5 \text{ cm}^2$  می باشد. جنس میله ها از فولاد با ضریب ارتجاعی  $E = 2(10)^6 \text{ Kg/cm}^2$  است. در میله AB یک بست قورباغه ای (T) که به طور مضاعف عمل می کند و تعداد دنده های آن در هر سانتیمتر 13 می باشد بکار رفته است. برای اینکه در میله AB کشش محوری 5000Kg ایجاد شود چند دور باید بست مزبور را چرخاند؟ (توضیح: با هر دور چرخاندن یک بست قورباغه ای مضاعف دو سر میله به اندازه دو گام پیچ ها به یکدیگر نزدیک می شوند).



شکل ۵۷-۱ (a) (b)

نمودار جسم آزاد مفصل A

حل: با نوشتن معادلات تعادل مفصل A نیروهای  $F_{AC}$  و  $F_{AD}$  به دست

می آیند.

$$F_{AC} = F_{AD} = \frac{5000}{2 \cos 60^\circ} = 5000 \text{ Kg}$$

$$\overline{AA_1} = \delta_{AC} = \frac{(5000)(160)}{(2.5)(2 \times 10^6)} = 0.16 \text{ cm} \quad \text{AC میله اضافه طول}$$

$$\overline{AA_2} = \delta_{AD} = \delta_{AC} = 0.16 \text{ cm} \quad \text{AD میله کاهش طول}$$

به علت کاهش طول میله AD و افزایش طول میله AC مفصل A به اندازه  $\delta_1$  به سمت

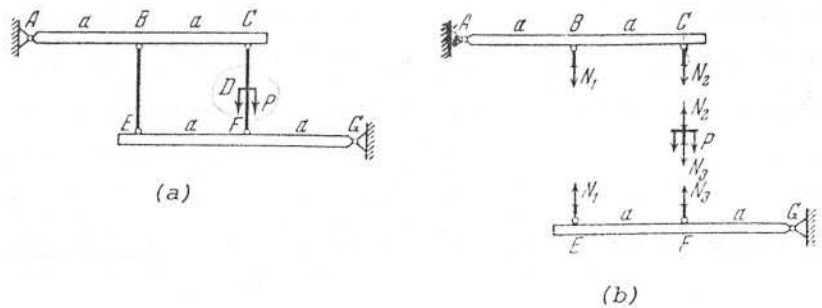
بنابراین تغییر مکان اتصال O مستقل از زاویه  $\alpha$  می باشد.

مسئله ۳۱-۱ ✓

سازه شکل ۱-۵۹ a شامل دو میله صلب افقی AC و EG می باشد که به دو میله قائم BE و CF متصل می باشند. در نقطه D نیروی P در امتداد میله CF بر سازه وارد می شود.

الف - آیا سازه مزبور ایزواستاتیک و یا هیپراستاتیک می باشد ؟

ب - نیروهای ایجاد شده در میله های قائم را حساب کنید.



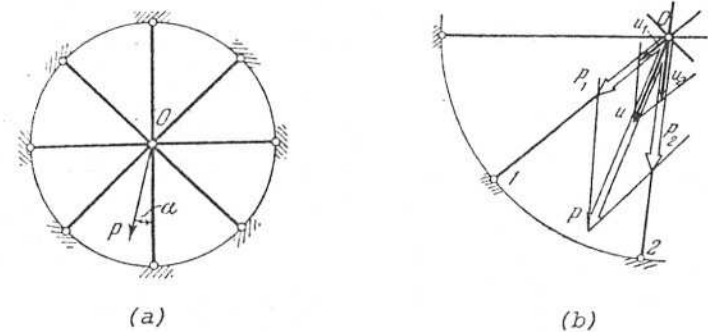
شکل ۵۹-۱

حل : سازه مزبور ایزواستاتیک می باشد و نیروها را می توان به کمک معادلات تعادل اجزاء سازه بدست آورد ( شکل ۱-۵۹ b ). برای میله های صلب AC و EG مجموع لنگرهای نیروها را به ترتیب حول نقاط A و G برابر صفر قرار می دهیم.

$$2N_2 + N_1 = 0$$

$$2N_1 + N_3 = 0$$

باشند. نیروی P در صفحه خرپا در مفصل O وارد می شود. ثابت کنید تغییر مکان اتصال O همواره در امتداد نیروی P و مقدار این تغییر مکان مستقل از زاویه  $\alpha$  می باشد.



شکل ۵۸-۱

حل : نیروی P را به دو مؤلفه  $P_1$  و  $P_2$  در امتداد دو میله مجاور هم 1 و 2 تجزیه می کنیم ( شکل ۱-۵۸ b ). اگر تغییر مکان اتصال O را در اثر بار  $P_1$  با  $u_1$  نشان دهیم چون خرپا نسبت به میله متقارن است این تغییر مکان در امتداد میله 1 خواهد بود. به دلیل مشابه تغییر مکان اتصال O در اثر بار  $P_2$  که با  $u_2$  نشان داده می شود در امتداد میله 2 خواهد بود.

به علت تقارن خرپا ضریب سختی  $k$  ( نیروی لازم برای ایجاد تغییر مکان واحد ) در امتداد های 1 و 2 یکسان می باشد. بنابراین می توانیم بنویسیم

$$u_1 = \frac{P_1}{k} \quad ; \quad u_2 = \frac{P_2}{k}$$

تغییر مکان کل اتصال O که با استفاده از فاعده متوازی الاضلاع به دست می آید با توجه به روابط فوق در امتداد خط اثر نیروی P می باشد و مقدار آن برابر است با

$$u = \frac{P}{k}$$

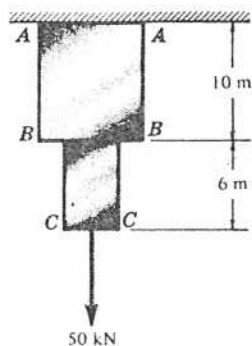
مخصوص  $2000\text{Kg}/\text{m}^3$  ساخته شود با یک ضریب اطمینان 4 حداکثر ارتفاع دیوارچقدر می تواند باشد ؟

**مسئله ۱-۳-۵** سیری که در مقابل آب غیر قابل نفوذ می باشد ( شکل ۵-۳-۱ ) بوسیله پایه های چوبی با مقطع دایره ای (AB) و قطر 15 cm نگه داشته شده است تا از واژگونی آن جلوگیری به عمل آید. تنش مجاز چوب  $20\text{Kg}/\text{cm}^2$  می باشد. حداکثر فاصله مجاز بین پایه ها را تعیین کنید.

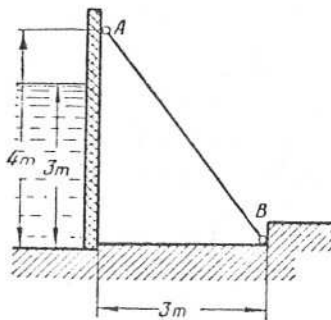
**مسئله ۱-۳-۶** اگر در شکل ۶-۳-۱ بار P برابر 10t و تنش مجاز مصالح عضو های AB و CD  $1000\text{Kg}/\text{cm}^2$  باشد قطر این اعضا را تعیین کنید.

**مسئله ۱-۳-۷** در سازه شکل ۷-۳-۱ تمام میله ها از فولاد با سطح مقطع یکسان  $30\text{cm}^2$  می باشند. بار P برابر 10t است. تنش های ایجاد شده در میله ها را حساب کنید.

**مسئله ۱-۳-۸** میله صلب AB مطابق شکل ۸-۳-۱ بوسیله یک سیستم طناب آویزان می باشد. اگر تنش مجاز برای ماده طناب  $100\text{Kg}/\text{cm}^2$  و سطح مقطع همه طناب های یکسان و قطر آنها برابر  $d = 2.5\text{cm}$  باشد حداکثر بار مجاز P را تعیین کنید. سطح مقطع مفید طناب 75% سطحی است که بوسیله محیط آن احاطه می شود.



شکل ۳-۳-۱



شکل ۵-۳-۱

برای میله CF شرط زیر برقرار است

$$N_2 = P + N_3$$

از حل سه معادله فوق نیروهای مجهول بدست می آیند.

$$N_1 = \frac{2}{3} P ; N_2 = -\frac{1}{3} P ; N_3 = -\frac{4}{3} P$$

۱-۱۲ مسائل حل نشده

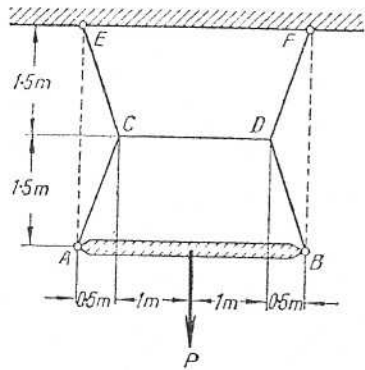
**مسئله ۱-۳-۱** میله ای به طول L با سرعت زاویه ای  $\omega$  در یک صفحه افقی حول یک محور قائم دوران می کند ( شکل ۱-۳۲-۱ ). وزنه ای به وزن W به انتهای میله متصل شده است. با صرف نظر کردن از وزن میله و با فرض اینکه تنش مجاز  $\sigma_w$  باشد رابطه ای برای سطح مقطع لازم (A) میله پیدا کنید.

**مسئله ۱-۳-۲** مسئله قبل را با به حساب آوردن وزن میله حل کنید. وزن واحد حجم مصالح میله را  $\gamma$  فرض کنید.

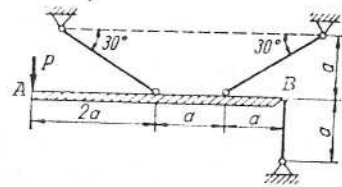
**مسئله ۱-۳-۳** دو میله منشوری که کاملاً به یکدیگر متصل شده اند بار قائم 50kN را تحمل می کنند ( شکل ۱-۳-۳-۱ ). میله فوقانی از فولاد با سطح مقطع  $60\text{cm}^2$  و وزن مخصوص  $7.7 \times 10^4\text{N}/\text{m}^3$  می باشد. میله تحتانی از برنج با سطح مقطع  $50\text{cm}^2$  و وزن مخصوص  $8.25 \times 10^4\text{N}/\text{m}^3$  می باشد. ضریب ارتجاعی فولاد را  $E = 2 \times 10^{11}\text{N}/\text{m}^2$  و ضریب ارتجاعی مس را  $E = 9 \times 10^{10}\text{N}/\text{m}^2$  فرض کنید. تنش حداکثر را در هر یک از مصالح پیدا کنید.

**مسئله ۱-۳-۴** اگر دیواری از بتن با مقاومت فشاری نهایی  $160\text{Kg}/\text{cm}^2$  و وزن

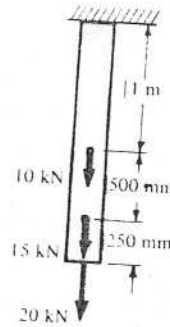
مسئله ۱-۷-۴ میله برنجی شکل ۱-۷-۴ سطح مقطع  $10\text{cm}^2$  دارد. اضافه یا کاهش طول آن را تحت بار گذاری نشان داده شده حساب کنید. برای برنج  $E = 9 \times 10^{10} \text{N/m}^2$  می باشد.



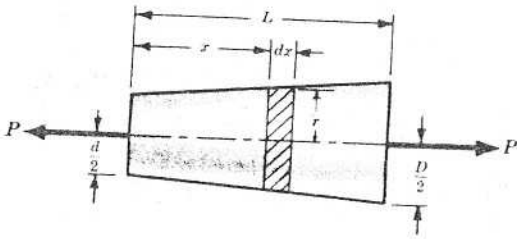
شکل ۱-۳-۸



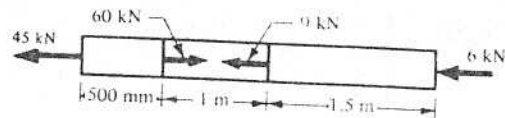
شکل ۱-۳-۹



شکل ۱-۷-۳



شکل ۱-۷-۲



شکل ۱-۷-۴

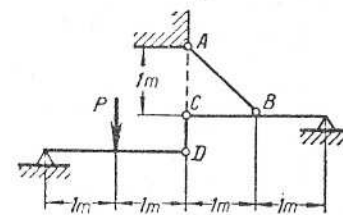
مسئله ۱-۳-۹ جسم صلب AB به وسیله سه کابل (شکل ۱-۳-۹) با سطح مقطع یکسان  $A = 2\text{cm}^2$  و تنش مجاز  $\sigma_w = 12 \times 10^7 \text{N/m}^2$  نگه داشته شده است و در نقطه A تحت اثر بار P می باشد. حداکثر مجاز بار P را تعیین کنید.

مسئله ۱-۶-۱ کاهش حجم  $\Delta V$  یک میله منشوری را که تحت اثر وزن خودش آویزان است بدست آورید. وزن کل میله را W، طول آن را L، ضریب پواسون را  $\nu$  و ضریب ارتجاعی را E فرض کنید.

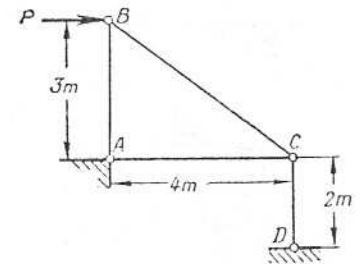
مسئله ۱-۷-۱ رابطه ای برای ازدیاد طول یک میله منشوری به طول L، سطح مقطع A و وزن W که تحت اثر وزن خودش آویزان می باشد بدست آورید.

مسئله ۱-۷-۲ میله ای به شکل مخروط ناقص (شکل ۱-۷-۲) تحت اثر دینامی محوری P در دو انتها قرار دارد. اضافه طول میله مزبور را حساب کنید.

مسئله ۱-۷-۳ میله فولادی شکل ۱-۷-۳ تحت اثر بارهای نشان داده شده می باشد. سطح مقطع میله  $5\text{cm}^2$  و ضریب ارتجاعی آن  $2 \times 10^{11} \text{N/m}^2$  است. اضافه طول میله را حساب کنید.

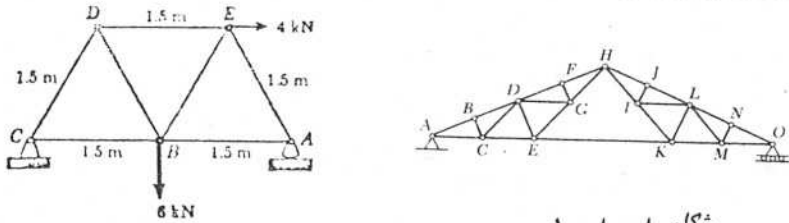


شکل ۱-۳-۶



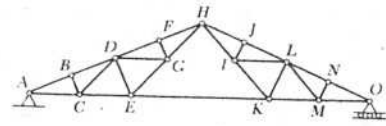
شکل ۱-۳-۷

مسئله ۱-۸-۸ عضوهای بدون نیروی خر پای شکل ۱-۸-۸ را تعیین کنید. ۸۹

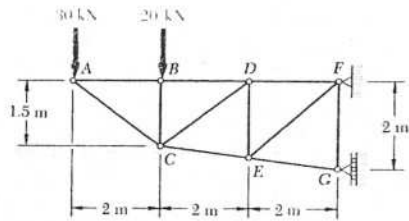


شکل ۱-۸-۸

مسئله ۱-۸-۹ هر گاه در خر پای شکل ۱-۸-۹  $\alpha$  برابر  $90^\circ$  باشد نیروی داخلی اعضای AB و EJ را تعیین کنید.

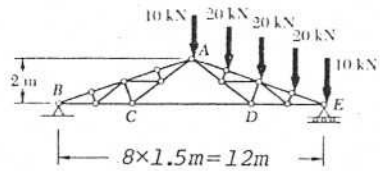


مسئله ۱-۸-۱۰ نیروهای داخلی اعضای DF و DE در خر پای شکل ۱-۸-۱۰ را بدست آورید.



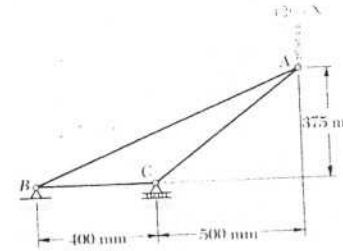
شکل ۱-۸-۱۰

مسئله ۱-۸-۱۱ نیروی عضو CD در خر پای سقف شکل ۱-۸-۱۱ را پیدا کنید.

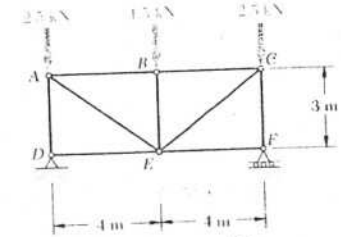


شکل ۱-۸-۱۱

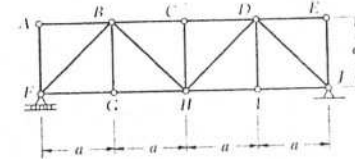
مسائل ۱-۸-۱ تا ۱-۸-۷ نیروهای داخلی خر پاهای شکل‌های زیر را با استفاده از روش مفاصل تعیین کنید.



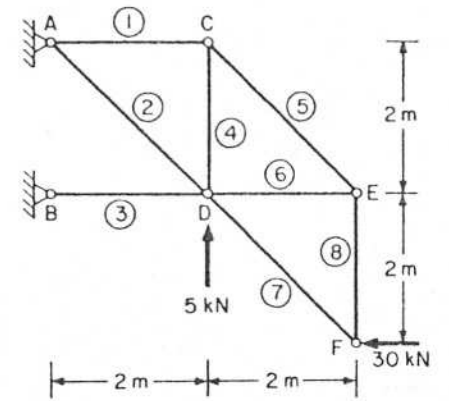
شکل ۱-۸-۱



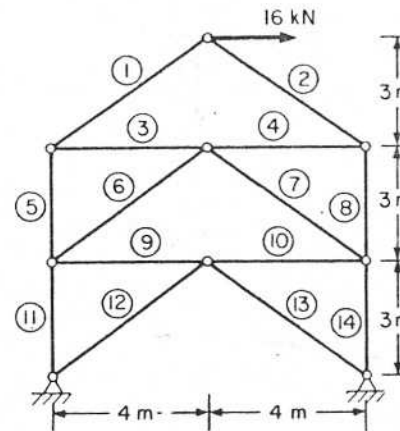
شکل ۱-۸-۲



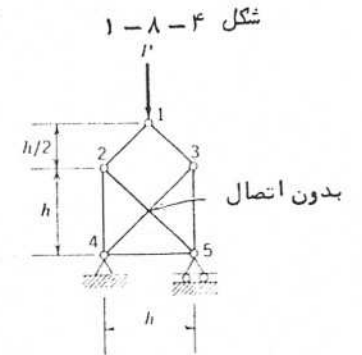
شکل ۱-۸-۳



شکل ۱-۸-۴

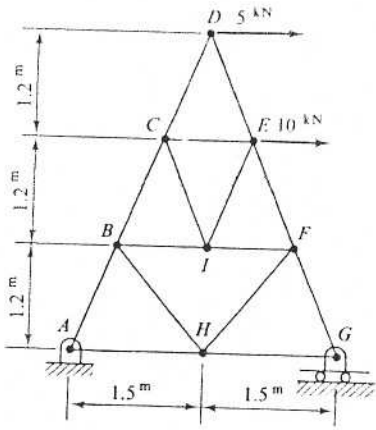


شکل ۱-۸-۵

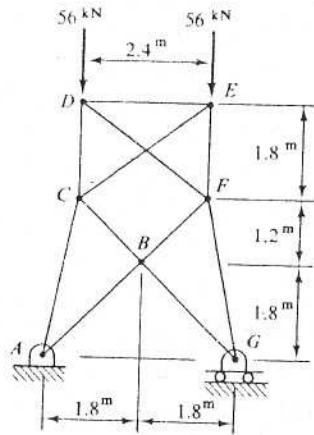


شکل ۱-۸-۶

مسئله ۱-۸-۱۵ نیروهای عضوهای BC و BI و خرابی شکل ۱-۸-۱۵ را پیدا کنید.



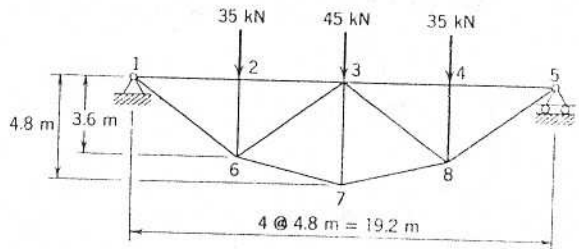
شکل ۱-۸-۱۵



شکل ۱-۸-۱۶

مسئله ۱-۸-۱۶ نیروهای اعضای AC، BC و DF خرابی شکل ۱-۸-۱۶ را به دست آورید.

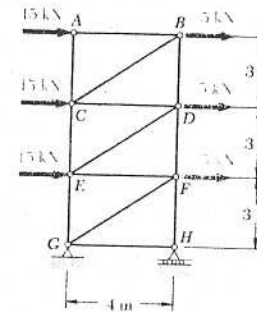
مسئله ۱-۸-۱۷ نیروهای اعضای ۲-۳، ۲-۶، ۳-۶، ۳-۷ و ۶-۷ خرابی شکل ۱-۸-۱۷ را حساب کنید.



شکل ۱-۸-۱۷

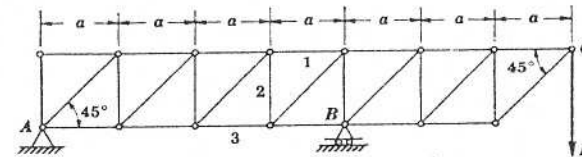
مسئله ۱-۸-۱۸ خرابی پاهای شکل ۱-۸-۱۸ را به ناپایدار، ایزواستاتیک (وپایدار)، و هیبر استاتیک طبقه بندی نمایید.

مسئله ۱-۸-۱۲ نیروهای داخلی عضوهای CE، CD و BD خرابی شکل ۱-۸-۱۲ را به دست آورید.



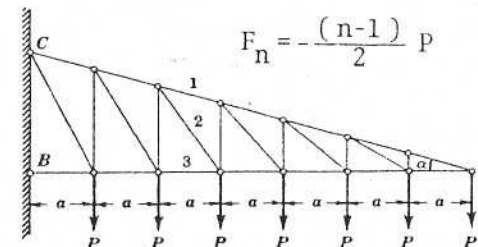
شکل ۱-۸-۱۲

مسئله ۱-۸-۱۳ نیروهای داخلی عضوهای ۱، ۲ و ۳ خرابی شکل ۱-۸-۱۳ را بدست آورید.



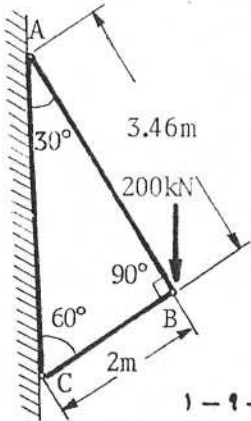
شکل ۱-۸-۱۳

مسئله ۱-۸-۱۴ در خرابی شکل ۱-۸-۱۴ ثابت کنید نیروی محوری در n امین عضو قائم از انتهای آزاد خرابی برابر است با

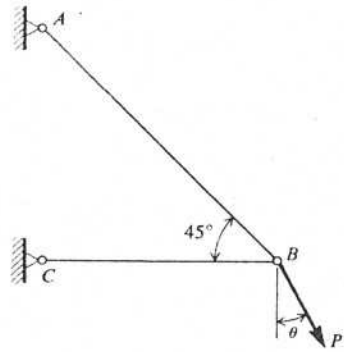


شکل ۱-۸-۱۴

**مسئله ۱-۹-۱** میله‌های AB و BC خرابای شکل ۱-۹-۱ از فولاد با تنش تسلیم 200 MPa ساخته شده‌اند. با فرض اینکه ضرائب اطمینان در کشش و فشار به ترتیب 2 و 2.5 باشد سطح مقطع هر یک از میله‌ها را تعیین کنید. مؤلفه‌های افقی و قائم تغییر مکان مفصل B را نیز محاسبه نمایید. ضریب ارتجاعی فولاد  $E = 2 \times 10^{11} \text{ N/m}^2$  می‌باشد.



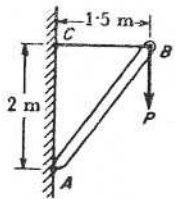
شکل ۱-۹-۱



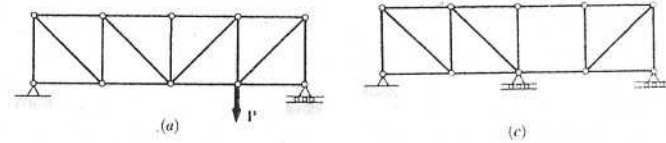
شکل ۱-۹-۲

**مسئله ۱-۹-۲** سطح مقطع عضوهای AB و BC خرابای شکل ۱-۹-۲ به ترتیب  $A_1$  و  $A_2$  می‌باشد. تحت چه زاویه  $\theta$  تغییر مکان مفصل B در امتداد نیروی P خواهد بود؟

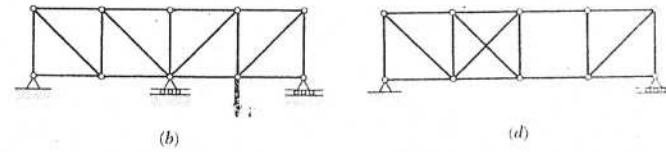
**مسئله ۱-۹-۳** در سازه شکل ۱-۹-۳ عضو BC سیم فولادی به قطر  $d = 0.3 \text{ cm}$  و عضو AB از چوب با مقطع مربع به اضلاع 2.5cm می‌باشد. مؤلفه‌های افقی و قائم تغییر مکان نقطه B را در اثر بار قائم  $P = 200 \text{ Kg}$  پیدا کنید. ضریب ارتجاعی فولاد  $E_s = 2 \times 10^6 \text{ Kg/cm}^2$  و ضریب ارتجاعی چوب  $E_w = 10^5 \text{ Kg/cm}^2$  می‌باشد.



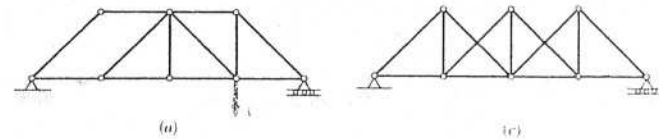
شکل ۱-۹-۳



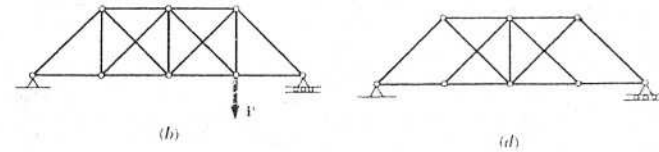
شکل ۱-۸-۱۸



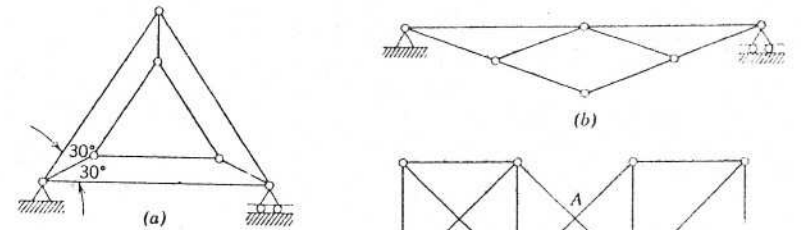
**مسئله ۱-۸-۱۹** خراباهای شکل ۱-۸-۱۹ را به پایدار و ناپایدار تقسیم بندی کنید و در صورتی که پایدار باشند آنها را به ایزواستاتیک و هیپر استاتیک طبقه بندی نمایید.



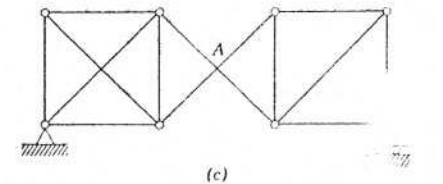
شکل ۱-۸-۱۹



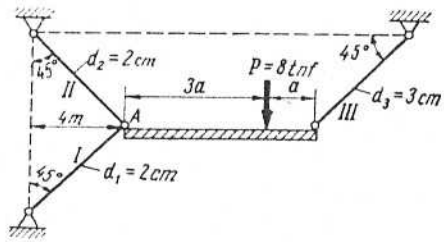
**مسئله ۱-۸-۲۰** کدامیک از خراباهای شکل ۱-۸-۲۰ پایدار و کدامیک ناپایدار می‌باشند؟



شکل ۱-۸-۲۰

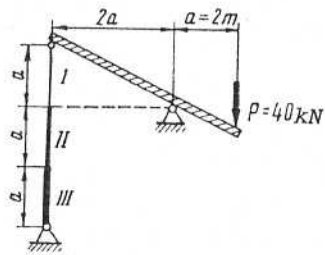
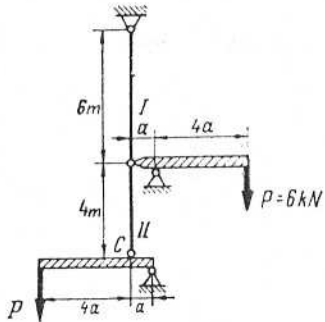


مسئله ۱-۹-۱۲ تغییر مکان نقطه A را در شکل ۱-۹-۱۲ پیدا کنید. تنش‌های ایجاد شده در میله‌ها را نیز محاسبه نمایید. ( $E = 2 \times 10^6 \text{ Kg/cm}^2$ )



شکل ۱-۹-۱۲

مسئله ۱-۹-۱۳ در سازه شکل ۱-۹-۱۳ تغییر مکان نقطه C و تنش‌های ایجاد شده در میله‌ها را محاسبه کنید. ( $A_1 = A_2 = 2 \text{ cm}^2$   $E = 2 \times 10^6 \text{ MN/m}^2$ )

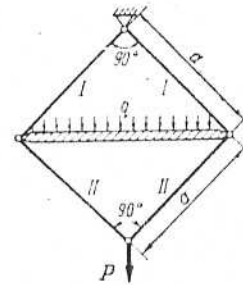


شکل ۱-۹-۱۴

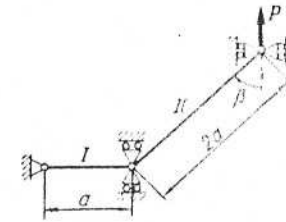
شکل ۱-۹-۱۳

مسئله ۱-۹-۱۴ در سازه شکل ۱-۹-۱۴ تغییر مکان‌های نقطه اثر بار خارجی P و تنش‌های ایجاد شده در میله‌ها را حساب کنید. ( $A_3 = 2A_2 = 4A_1 = 10 \text{ cm}^2$   $E = 2 \times 10^6 \text{ Kg/cm}^2$ )

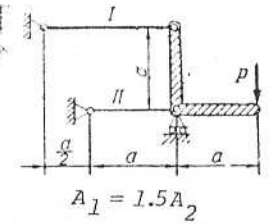
مسئله ۱-۹-۴ تا ۱-۹-۱۱ تغییر مکان‌های نقطه اثر بار خارجی P و همچنین تنش‌ها را در هر یک از میله‌ها حساب کنید. در جایی که مشخص نشده است سطح مقطع میله‌ها را A فرض کنید (ضریب ارتجاعی = E).



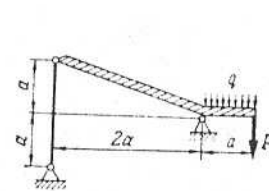
شکل ۱-۹-۴



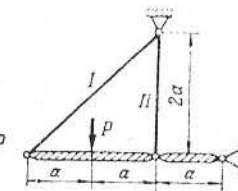
شکل ۱-۹-۵



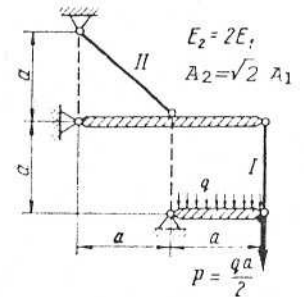
شکل ۱-۹-۶



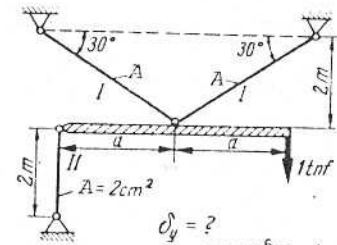
شکل ۱-۹-۷



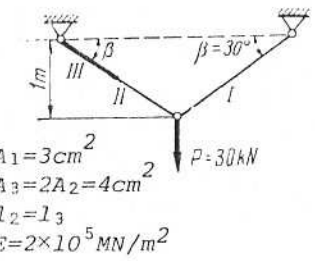
شکل ۱-۹-۸



شکل ۱-۹-۹



شکل ۱-۹-۱۰



شکل ۱-۹-۱۱



$$\Delta = \frac{9\gamma}{\pi D d E} \quad : 1-7-2$$

$$0.675 \text{ mm} : 1-7-3$$

$$\text{صفر} : 1-7-4$$

$$F_{AB} = 3900 ; F_{AC} = -4500 ; F_{BC} = -3600 \text{ N} \quad : 1-8-1$$

$$F_{DE} = F_{EF} = 0 ; F_{CF} = F_{DA} = -4 \text{ kN} \quad : 1-8-2$$

$$F_{BC} = F_{BA} = -2 \text{ kN} ; F_{CE} = F_{EA} = 2.5 \text{ kN}$$

$$F_{BE} = -1.5 \text{ kN}$$

$$F_{AB} = F_{DE} = F_{BG} = F_{DI} = 0 ; F_{AF} = F_{CH} = F_{EJ} = -400 \text{ N} \quad : 1-8-3$$

$$F_{BC} = F_{CD} = -800 \text{ N} ; F_{BF} = F_{DJ} = -849 \text{ N}$$

$$F_{BH} = F_{DH} = 283 \text{ N} ; F_{FG} = F_{GH} = F_{HI} = F_{IJ} = 600 \text{ N}$$

$$F_1 = 30 \text{ kN} ; F_2 = -5\sqrt{2} ; F_3 = -55 ; F_4 = -30 \quad : 1-8-4$$

$$F_5 = 30\sqrt{2} ; F_6 = -30 ; F_7 = -30\sqrt{2} ; F_8 = 30$$

$$F_1 = F_6 = F_{12} = 10 \text{ kN} ; F_2 = F_7 = F_{13} = -10 \text{ kN} \quad : 1-8-5$$

۹۶

۱-۱۳ جواب‌های مسائل حل نشده

$$A = \frac{WL\omega^2}{g\sigma_w} \quad : 1-3-1$$

$$A = \frac{2WL\omega^2}{2g\sigma_w - \gamma L^2\omega^2} \quad : 1-3-2$$

$$\sigma = 9.5 \text{ MPa} \quad : \text{در برنج} ; \sigma = 10.5 \text{ MPa} \quad : \text{در فولاد} \quad : 1-3-3$$

$$200 \text{ m} \quad : 1-3-4$$

$$1.88 \text{ m} \quad : 1-3-5$$

$$d_{AB} = 42.4 \text{ mm} ; d_{CD} = 25.2 \text{ mm} \quad : 1-3-6$$

$$\sigma_{AB} = 250 ; \sigma_{AC} = 333 ; \sigma_{BC} = -417 ; \sigma_{CD} = -250 \text{ Kg/cm}^2 \quad : 1-3-7$$

$$695 \text{ Kg} \quad : 1-3-8$$

$$9000 \text{ N} \quad : 1-3-9$$

$$\Delta V = \frac{WL}{2E} (1-2\nu) \quad : 1-6-1$$

$$\delta = \frac{WL}{2EA} \quad : 1-7-1$$

۹۹

$$F_1 = 2.25P \quad ; \quad F_2 = -0.75P \quad ; \quad F_3 = -2.25P \quad ; \quad 1-8-13$$

$$F_{BC} = 13 \text{ kN} \quad ; \quad F_{BI} = 2.5 \text{ kN} \quad ; \quad 1-8-15$$

$$F_{AC} = -71.4 \quad ; \quad F_{BC} = 25.2 \quad ; \quad F_{DF} = -43.75 \text{ kN} \quad ; \quad 1-8-16$$

$$F_{23} = -76.7 \text{ kN} \quad ; \quad F_{26} = -35 \text{ kN} \quad ; \quad 1-8-17$$

$$F_{63} = 4.77 \text{ kN} \quad ; \quad F_{6-7} = 82.8 \text{ kN} \quad ; \quad F_{3-7} = -39.9 \text{ kN}$$

(a) - پایدار و ایزواستاتیک ، (b) - هیپر استاتیک ،  $1-8-18$

(c) - پایدار و ایزواستاتیک ، (d) - نا پایدار ( تحت بارگذاری کلی

(a) - نا پایدار ، (b) - هیپر استاتیک ، (c) - ایزواستاتیک ،  $1-8-19$

(d) - ایزواستاتیک

$1-8-20$  : هر سه نا پایدار می باشند

$$AB \text{ مساحت سطح مقطع} = 17.32 \text{ cm}^2 \quad ; \quad 1-9-1$$

$$BC \text{ مساحت سطح مقطع} = 12.5 \text{ cm}^2$$

$$\delta_h = 0.2 \text{ mm} \quad (\text{به طرف راست}) \quad \text{و} \quad \delta_v = 1.9 \text{ mm} \quad (\text{به طرف پایین})$$

$$\cos 2\theta = -\frac{\sqrt{2} A_2}{A_1} \quad ; \quad 1-9-2$$

$$\delta_h = 1.59 \text{ mm} \quad ; \quad \delta_v = 2.44 \text{ mm} \quad ; \quad 1-9-3$$

۹۸

$$F_3 = F_9 = -8 \text{ kN} \quad ; \quad F_4 = F_{10} = 8 \text{ kN}$$

$$F_5 = -F_8 = 6 \text{ kN} \quad ; \quad F_{11} = -F_{14} = 12 \text{ kN}$$

$$F_{12} = F_{13} = F_{25} = F_{34} = -0.707P \quad ; \quad 1-8-6$$

$$F_{42} = F_{53} = -P \quad ; \quad F_{45} = -0.50P$$

$$F_{BE} = -F_{AE} = 5.46 \text{ kN} \quad ; \quad F_{AB} = 2.73 \text{ kN} \quad ; \quad 1-8-7$$

$$F_{BD} = -F_{CD} = -F_{DE} = 1.46 \text{ kN} \quad ; \quad F_{BC} = 4.73 \text{ kN}$$

$$KL, LM, MN, IL, IJ, CD, BC \quad ; \quad 1-8-8$$

$$F_{EJ} = -\frac{2}{3}P \quad ; \quad F_{AB} = 0 \quad ; \quad 1-8-9$$

$$F_{DE} = -38.6 \text{ kN} \quad ; \quad F_{DF} = 91.4 \text{ kN} \quad ; \quad 1-8-10$$

$$60 \text{ kN} \quad ; \quad 1-8-11$$

$$F_{CE} = 15 \quad ; \quad F_{BD} = -15 \quad ; \quad F_{CD} = -35 \text{ kN} \quad ; \quad 1-8-12$$

101

$$\delta = \frac{10Pa}{E_1 A_1} ; \sigma_1 = \frac{2P}{A_1} ; \sigma_2 = \frac{4P}{A_1} \quad : 1-9-9$$

$$\delta = 8.5 \text{ mm} ; \sigma_1 = 1000 ; \sigma_2 = 500 \text{ Kg/cm}^2 \quad : 1-9-10$$

$$\delta_x = 0.08 \text{ mm} ; \delta_y = 2.125 \text{ mm} \quad : 1-9-11$$

$$\sigma_1 = 100 ; \sigma_2 = 150 ; \sigma_3 = 75 \text{ MN/m}^2$$

$$\delta_x = 5.4 \text{ mm} ; \delta_y = 1.8 \text{ mm} \quad : 1-9-12$$

$$\sigma_1 = 900 ; \sigma_2 = 1800 ; \sigma_3 = 1200 \text{ Kg/cm}^2$$

$$\delta = 3.9 \text{ mm} ; \sigma_1 = 30 ; \sigma_2 = 150 \text{ MN/m}^2 \quad : 1-9-13$$

$$\delta_x = 0.35 \text{ mm} ; \delta_y = 0.7 \text{ mm} \quad : 1-9-14$$

$$\sigma_1 = 80 ; \sigma_2 = 40 ; \sigma_3 = 20 \text{ MN/m}^2$$

100

$$\delta = \frac{(2P + \sqrt{2} qa) a}{EA} ; \sigma_1 = \frac{P + \sqrt{2} qa}{\sqrt{2} A} ; \quad : 1-9-4$$

$$\sigma_2 = \frac{P}{\sqrt{2} A}$$

$$\delta = \frac{Pa}{E A \cos^2 \beta} (\sin^2 \beta + 2) \quad : 1-9-5$$

$$\sigma_1 = \frac{P}{A} \tan \beta ; \sigma_2 = \frac{P}{A \cos \beta}$$

$$\delta_x = \frac{3Pa}{2EA_1} ; \delta_y = \frac{2Pa}{EA_2} \quad : 1-9-6$$

$$\sigma_1 = \frac{P}{A_1} ; \sigma_2 = \frac{3P}{2A_1}$$

$$\delta = \frac{(2P + qa) a}{4EA} ; \sigma = \frac{2P + qa}{4A} \quad : 1-9-7$$

$$\delta = \frac{Pa}{E_2 A_2} ; \sigma = \frac{P}{2A_2} \quad : 1-9-8$$